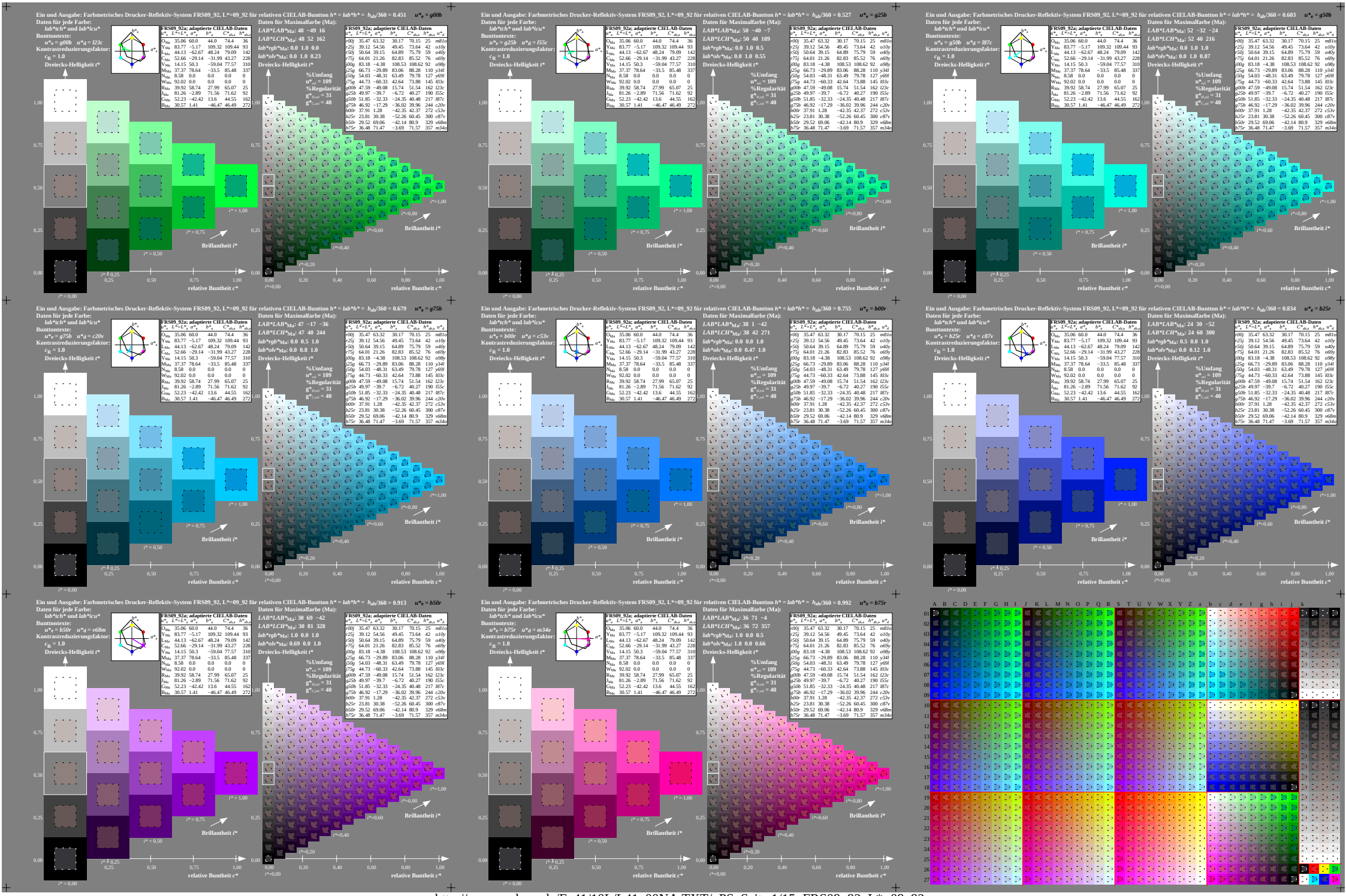

http://www.ps.bam.de/Fg41/10L/L41g00NA.TXT/ .PS, Seite 1/15; FRS09_92, L*=09_92

Ein und Ausgabe: Farbmetrisches Drucker-Reflektiv-System FRS09_92, L*=09_92 für relativen CIELAB-Buntton $h^* = lab^*h^* = h_{ab}/360 = 0.451$ $u^*_e = g00b$

Daten für jede Farbe: $lab^*c^*h^*$ und $lab^*i^*c^*u^*$
Buntontexte: $u^*_e = g00b$ $u^*_d = l23c$
Kontrastreduzierungsfaktor: $c_R = 1.0$
Dreiecks-Helligkeit t^*

Daten für Maximalfarbe (Ma):
$LAB^*LAB^*_{Ma}$: 48 −49 16
$LAB^*LCH^*_{Ma}$: 48 52 162
$lab^*rgb^*_{Ma}$: 0.0 1.0 0.0
$lab^*olv^*_{Ma}$: 0.0 1.0 0.23
Dreiecks-Helligkeit t^*

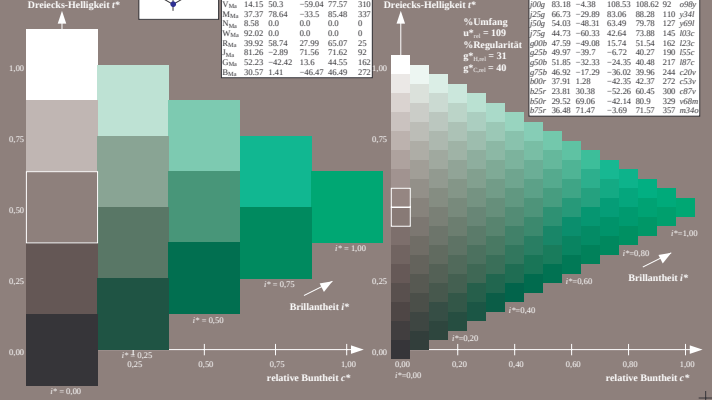

Ein und Ausgabe: Farbmetrisches Drucker-Reflektiv-System FRS09_92, L*=09_92 für relativen CIELAB-Buntton $h^* = lab^*h^* = h_{ab}/360 = 0.527$ $u^*_e = g25b$

Daten für jede Farbe: $lab^*c^*h^*$ und $lab^*i^*c^*u^*$
Buntontexte: $u^*_e = g25b$ $u^*_d = l55c$
Kontrastreduzierungsfaktor: $c_R = 1.0$
Dreiecks-Helligkeit t^*

Daten für Maximalfarbe (Ma):
$LAB^*LAB^*_{Ma}$: 50 −40 −7
$LAB^*LCH^*_{Ma}$: 50 40 189
$lab^*rgb^*_{Ma}$: 0.0 1.0 0.5
$lab^*olv^*_{Ma}$: 0.0 1.0 0.55
Dreiecks-Helligkeit t^*

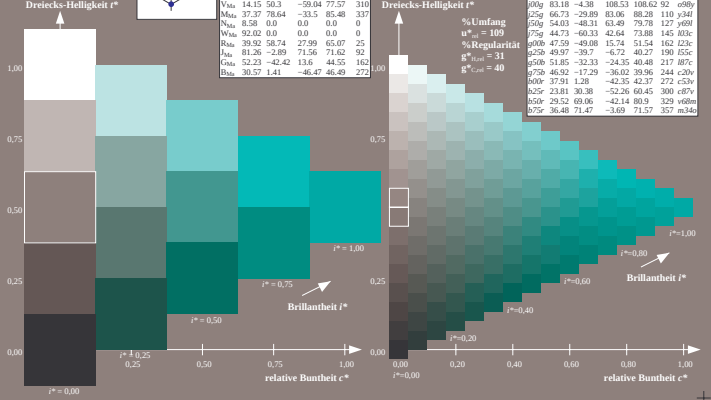

Ein und Ausgabe: Farbmetrisches Drucker-Reflektiv-System FRS09_92, L*=09_92 für relativen CIELAB-Buntton $h^* = lab^*h^* = h_{ab}/360 = 0.603$ $u^*_e = g50b$

Daten für jede Farbe: $lab^*c^*h^*$ und $lab^*i^*c^*u^*$
Buntontexte: $u^*_e = g50b$ $u^*_d = l87c$
Kontrastreduzierungsfaktor: $c_R = 1.0$
Dreiecks-Helligkeit t^*

Daten für Maximalfarbe (Ma):
$LAB^*LAB^*_{Ma}$: 52 −32 −24
$LAB^*LCH^*_{Ma}$: 52 40 216
$lab^*rgb^*_{Ma}$: 0.0 1.0 1.0
$lab^*olv^*_{Ma}$: 0.0 1.0 0.87
Dreiecks-Helligkeit t^*

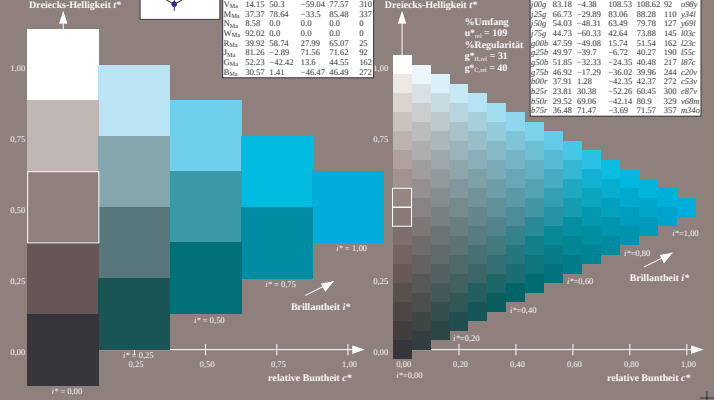

Ein und Ausgabe: Farbmetrisches Drucker-Reflektiv-System FRS09_92, L*=09_92 für relativen CIELAB-Buntton $h^* = lab^*h^* = h_{ab}/360 = 0.679$ $u^*_e = g75b$

Daten für jede Farbe: $lab^*c^*h^*$ und $lab^*i^*c^*u^*$
Buntontexte: $u^*_e = g75b$ $u^*_d = c20v$
Kontrastreduzierungsfaktor: $c_R = 1.0$
Dreiecks-Helligkeit t^*

Daten für Maximalfarbe (Ma):
$LAB^*LAB^*_{Ma}$: 47 −17 −36
$LAB^*LCH^*_{Ma}$: 47 40 244
$lab^*rgb^*_{Ma}$: 0.0 0.5 1.0
$lab^*olv^*_{Ma}$: 0.0 0.8 1.0
Dreiecks-Helligkeit t^*

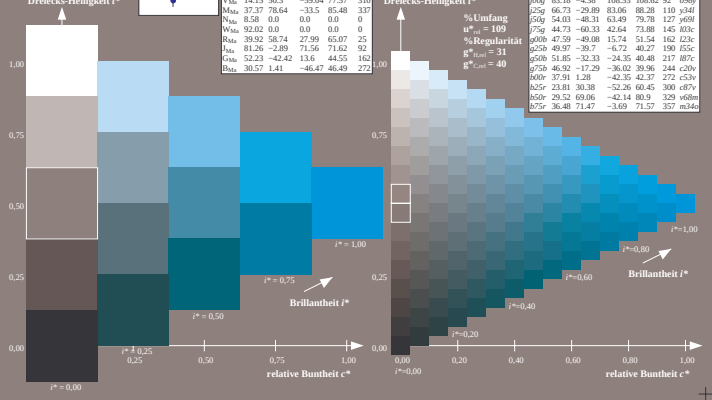

Ein und Ausgabe: Farbmetrisches Drucker-Reflektiv-System FRS09_92, L*=09_92 für relativen CIELAB-Buntton $h^* = lab^*h^* = h_{ab}/360 = 0.755$ $u^*_e = b00r$

Daten für jede Farbe: $lab^*c^*h^*$ und $lab^*i^*c^*u^*$
Buntontexte: $u^*_e = b00r$ $u^*_d = c53v$
Kontrastreduzierungsfaktor: $c_R = 1.0$
Dreiecks-Helligkeit t^*

Daten für Maximalfarbe (Ma):
$LAB^*LAB^*_{Ma}$: 38 1 −42
$LAB^*LCH^*_{Ma}$: 38 42 271
$lab^*rgb^*_{Ma}$: 0.0 0.0 1.0
$lab^*olv^*_{Ma}$: 0.0 0.47 1.0
Dreiecks-Helligkeit t^*

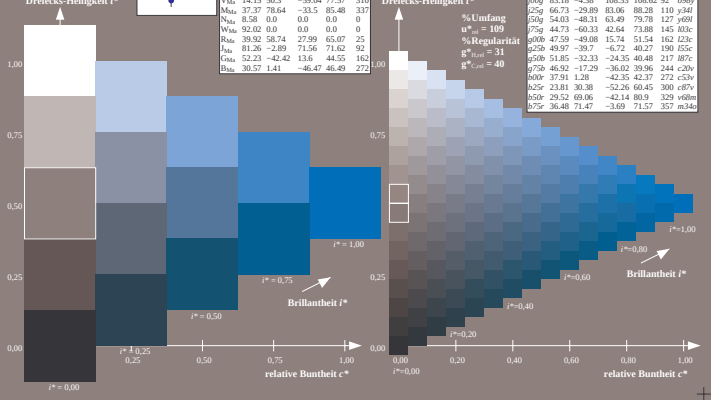

Ein und Ausgabe: Farbmetrisches Drucker-Reflektiv-System FRS09_92, L*=09_92 für relativen CIELAB-Buntton $h^* = lab^*h^* = h_{ab}/360 = 0.834$ $u^*_e = b25r$

Daten für jede Farbe: $lab^*c^*h^*$ und $lab^*i^*c^*u^*$
Buntontexte: $u^*_e = b25r$ $u^*_d = c87v$
Kontrastreduzierungsfaktor: $c_R = 1.0$
Dreiecks-Helligkeit t^*

Daten für Maximalfarbe (Ma):
$LAB^*LAB^*_{Ma}$: 24 30 −52
$LAB^*LCH^*_{Ma}$: 24 60 300
$lab^*rgb^*_{Ma}$: 0.5 0.0 1.0
$lab^*olv^*_{Ma}$: 0.0 0.12 1.0
Dreiecks-Helligkeit t^*

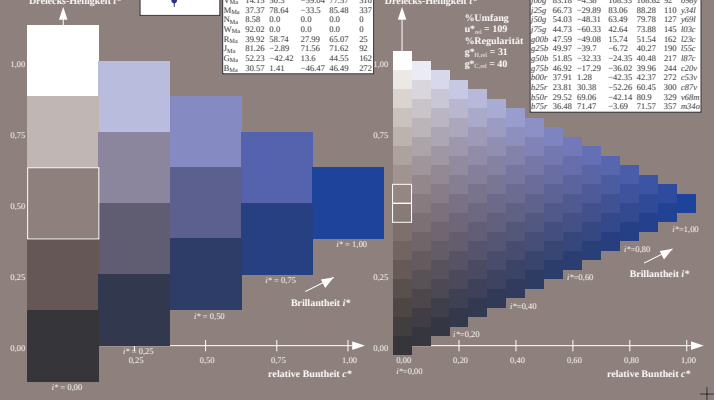

Ein und Ausgabe: Farbmetrisches Drucker-Reflektiv-System FRS09_92, L*=09_92 für relativen CIELAB-Buntton $h^* = lab^*h^* = h_{ab}/360 = 0.913$ $u^*_e = b50r$

Daten für jede Farbe: $lab^*c^*h^*$ und $lab^*i^*c^*u^*$
Buntontexte: $u^*_e = b50r$ $u^*_d = v68m$
Kontrastreduzierungsfaktor: $c_R = 1.0$
Dreiecks-Helligkeit t^*

Daten für Maximalfarbe (Ma):
$LAB^*LAB^*_{Ma}$: 30 69 −42
$LAB^*LCH^*_{Ma}$: 30 81 328
$lab^*rgb^*_{Ma}$: 1.0 0.0 1.0
$lab^*olv^*_{Ma}$: 0.69 0.0 1.0
Dreiecks-Helligkeit t^*

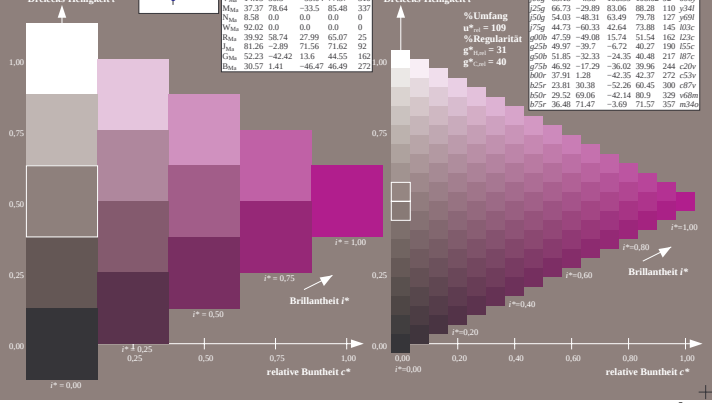

Ein und Ausgabe: Farbmetrisches Drucker-Reflektiv-System FRS09_92, L*=09_92 für relativen CIELAB-Buntton $h^* = lab^*h^* = h_{ab}/360 = 0.992$ $u^*_e = b75r$

Daten für jede Farbe: $lab^*c^*h^*$ und $lab^*i^*c^*u^*$
Buntontexte: $u^*_e = b75r$ $u^*_d = m34o$
Kontrastreduzierungsfaktor: $c_R = 1.0$
Dreiecks-Helligkeit t^*

Daten für Maximalfarbe (Ma):
$LAB^*LAB^*_{Ma}$: 36 71 −4
$LAB^*LCH^*_{Ma}$: 36 72 357
$lab^*rgb^*_{Ma}$: 1.0 0.0 0.5
$lab^*olv^*_{Ma}$: 1.0 0.0 0.66
Dreiecks-Helligkeit t^*

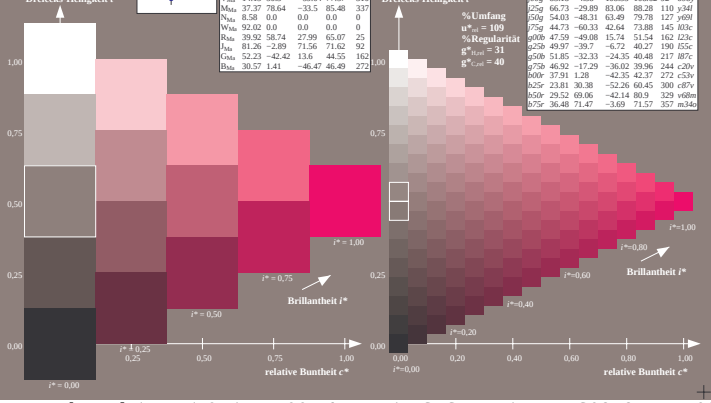

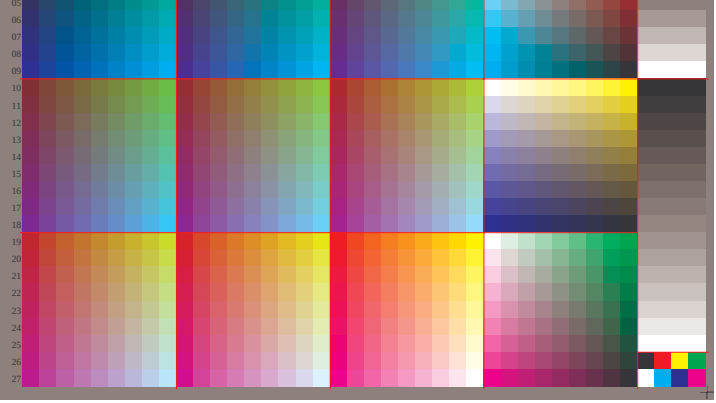

Ein und Ausgabe: Farbmetrisches Drucker-Reflektiv-System FRS09_92, L*=09_92 für relativen CIELAB-Buntton $h^* = lab^*h^* = h_{ab}/360 = 0.451$ $u^*_e = g00b$

Daten für jede Farbe: *lab*c*h** und *lab*i*cu**
Buntontexte: $u^*_e = g00b$ $u^*_d = l23c$
Kontrastreduzierungsfaktor: $c_R = 1.0$
Dreiecks-Helligkeit t^*

Daten für Maximalfarbe (Ma):
$LAB^*LAB^*_{Ma}$: 48 −49 16
$LAB^*LCH^*_{Ma}$: 48 52 162
$lab^*rgb^*_{Ma}$: 0.0 1.0 0.0
$lab^*olv^*_{Ma}$: 0.0 1.0 0.23

Dreiecks-Helligkeit t^*

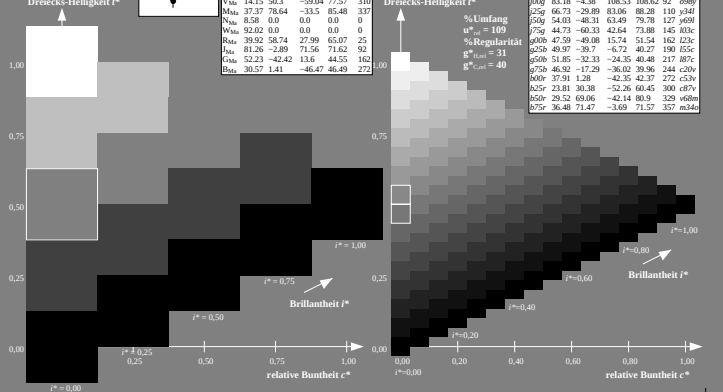

Ein und Ausgabe: Farbmetrisches Drucker-Reflektiv-System FRS09_92, L*=09_92 für relativen CIELAB-Buntton $h^* = lab^*h^* = h_{ab}/360 = 0.527$ $u^*_e = g25b$

Daten für jede Farbe: *lab*c*h** und *lab*i*cu**
Buntontexte: $u^*_e = g25b$ $u^*_d = l55c$
Kontrastreduzierungsfaktor: $c_R = 1.0$
Dreiecks-Helligkeit t^*

Daten für Maximalfarbe (Ma):
$LAB^*LAB^*_{Ma}$: 50 −40 −7
$LAB^*LCH^*_{Ma}$: 50 40 189
$lab^*rgb^*_{Ma}$: 0.0 1.0 0.5
$lab^*olv^*_{Ma}$: 0.0 1.0 0.55

Dreiecks-Helligkeit t^*

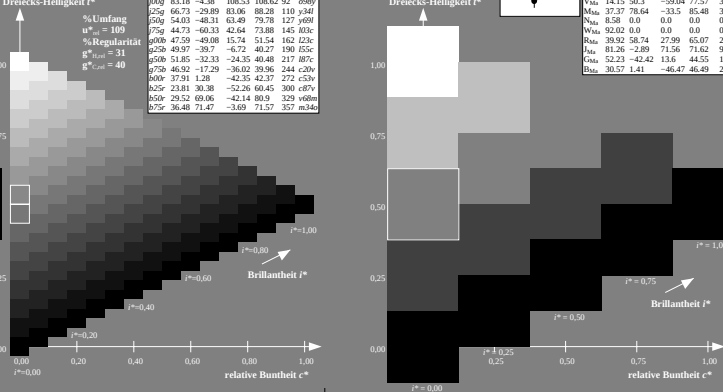

Ein und Ausgabe: Farbmetrisches Drucker-Reflektiv-System FRS09_92, L*=09_92 für relativen CIELAB-Buntton $h^* = lab^*h^* = h_{ab}/360 = 0.603$ $u^*_e = g50b$

Daten für jede Farbe: *lab*c*h** und *lab*i*cu**
Buntontexte: $u^*_e = g50b$ $u^*_d = l87c$
Kontrastreduzierungsfaktor: $c_R = 1.0$
Dreiecks-Helligkeit t^*

Daten für Maximalfarbe (Ma):
$LAB^*LAB^*_{Ma}$: 52 −32 −24
$LAB^*LCH^*_{Ma}$: 52 40 216
$lab^*rgb^*_{Ma}$: 0.0 1.0 1.0
$lab^*olv^*_{Ma}$: 0.0 1.0 0.87

Dreiecks-Helligkeit t^*

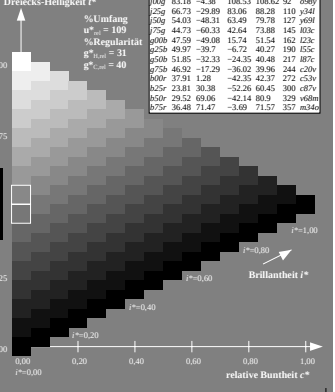

Ein und Ausgabe: Farbmetrisches Drucker-Reflektiv-System FRS09_92, L*=09_92 für relativen CIELAB-Buntton $h^* = lab^*h^* = h_{ab}/360 = 0.679$ $u^*_e = g75b$

Daten für jede Farbe: *lab*c*h** und *lab*i*cu**
Buntontexte: $u^*_e = g75b$ $u^*_d = c20v$
Kontrastreduzierungsfaktor: $c_R = 1.0$
Dreiecks-Helligkeit t^*

Daten für Maximalfarbe (Ma):
$LAB^*LAB^*_{Ma}$: 47 −17 −36
$LAB^*LCH^*_{Ma}$: 47 40 244
$lab^*rgb^*_{Ma}$: 0.0 0.5 1.0
$lab^*olv^*_{Ma}$: 0.0 0.8 1.0

Dreiecks-Helligkeit t^*

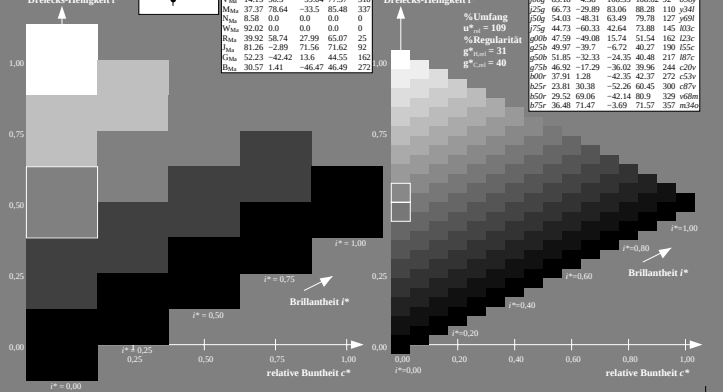

Ein und Ausgabe: Farbmetrisches Drucker-Reflektiv-System FRS09_92, L*=09_92 für relativen CIELAB-Buntton $h^* = lab^*h^* = h_{ab}/360 = 0.755$ $u^*_e = b00r$

Daten für jede Farbe: *lab*c*h** und *lab*i*cu**
Buntontexte: $u^*_e = b00r$ $u^*_d = c53v$
Kontrastreduzierungsfaktor: $c_R = 1.0$
Dreiecks-Helligkeit t^*

Daten für Maximalfarbe (Ma):
$LAB^*LAB^*_{Ma}$: 38 1 −42
$LAB^*LCH^*_{Ma}$: 38 42 271
$lab^*rgb^*_{Ma}$: 0.0 0.0 1.0
$lab^*olv^*_{Ma}$: 0.0 0.47 1.0

Dreiecks-Helligkeit t^*

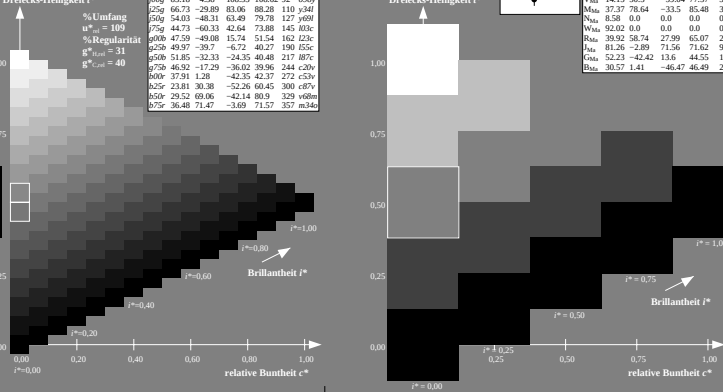

Ein und Ausgabe: Farbmetrisches Drucker-Reflektiv-System FRS09_92, L*=09_92 für relativen CIELAB-Buntton $h^* = lab^*h^* = h_{ab}/360 = 0.834$ $u^*_e = b25r$

Daten für jede Farbe: *lab*c*h** und *lab*i*cu**
Buntontexte: $u^*_e = b25r$ $u^*_d = c87v$
Kontrastreduzierungsfaktor: $c_R = 1.0$
Dreiecks-Helligkeit t^*

Daten für Maximalfarbe (Ma):
$LAB^*LAB^*_{Ma}$: 24 30 −52
$LAB^*LCH^*_{Ma}$: 24 60 300
$lab^*rgb^*_{Ma}$: 0.5 0.0 1.0
$lab^*olv^*_{Ma}$: 0.0 0.12 1.0

Dreiecks-Helligkeit t^*

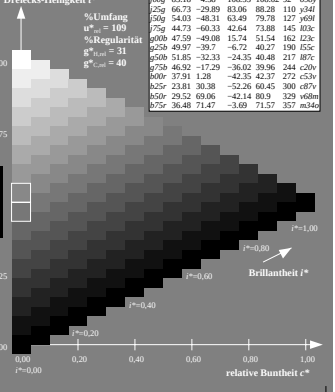

Ein und Ausgabe: Farbmetrisches Drucker-Reflektiv-System FRS09_92, L*=09_92 für relativen CIELAB-Buntton $h^* = lab^*h^* = h_{ab}/360 = 0.913$ $u^*_e = b50r$

Daten für jede Farbe: *lab*c*h** und *lab*i*cu**
Buntontexte: $u^*_e = b50r$ $u^*_d = v68m$
Kontrastreduzierungsfaktor: $c_R = 1.0$
Dreiecks-Helligkeit t^*

Daten für Maximalfarbe (Ma):
$LAB^*LAB^*_{Ma}$: 30 69 −42
$LAB^*LCH^*_{Ma}$: 30 81 328
$lab^*rgb^*_{Ma}$: 1.0 0.0 1.0
$lab^*olv^*_{Ma}$: 0.69 0.0 1.0

Dreiecks-Helligkeit t^*

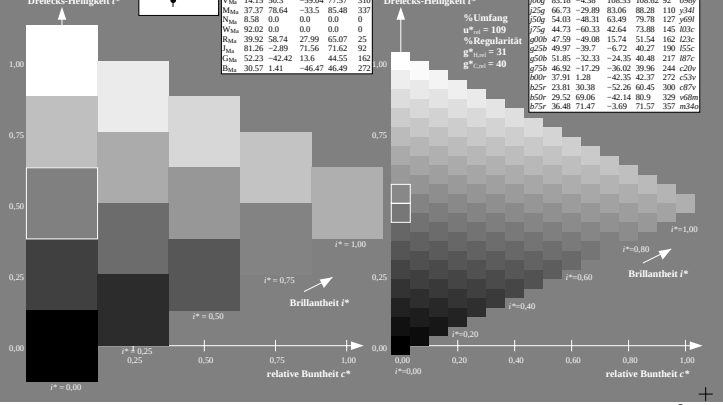

Ein und Ausgabe: Farbmetrisches Drucker-Reflektiv-System FRS09_92, L*=09_92 für relativen CIELAB-Buntton $h^* = lab^*h^* = h_{ab}/360 = 0.992$ $u^*_e = b75r$

Daten für jede Farbe: *lab*c*h** und *lab*i*cu**
Buntontexte: $u^*_e = b75r$ $u^*_d = m34o$
Kontrastreduzierungsfaktor: $c_R = 1.0$
Dreiecks-Helligkeit t^*

Daten für Maximalfarbe (Ma):
$LAB^*LAB^*_{Ma}$: 36 71 −4
$LAB^*LCH^*_{Ma}$: 36 72 357
$lab^*rgb^*_{Ma}$: 1.0 0.0 0.5
$lab^*olv^*_{Ma}$: 1.0 0.0 0.66

Dreiecks-Helligkeit t^*

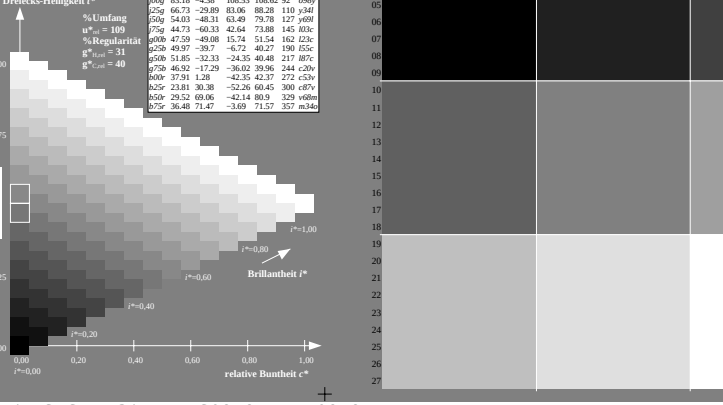

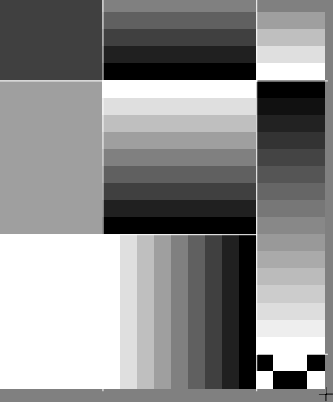

Ein und Ausgabe: Farbmetrisches Drucker-Reflektiv-System FRS09_92, L*=09_92 für relativen CIELAB-Buntton $h^* = lab^*h^* = h_{ab}/360 = 0.451$ $u^*_e = g00b$

Daten für jede Farbe:
*lab*tch** und *lab*icu**
Bunttontexte:
$u^*_e = g00b$ $u^*_d = l23c$
Kontrastreduzierungsfaktor:
$c_R = 1.0$
Dreiecks-Helligkeit t^*

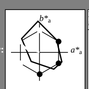

FRS09_92a; adaptierte CIELAB-Daten					
u^*_e	$L^*=L^*_a$	a^*_a	b^*_a	$C^*_{ab,a}$	$h^*_{ab,a}$
O_{Ma}	35.06	60.0	44.0	74.4	36
Y_{Ma}	83.77	−5.17	109.32	109.44	93
L_{Ma}	44.13	−62.67	48.24	79.09	142
C_{Ma}	52.66	−29.14	−31.99	43.27	228
V_{Ma}	14.15	50.3	−59.04	77.57	310
M_{Ma}	37.37	78.64	−33.5	85.48	337
N_{Ma}	8.58	0.0	0.0	0.0	0
W_{Ma}	92.02	0.0	0.0	0.0	0
R_{Ma}	39.92	58.74	27.99	65.07	25
J_{Ma}	81.26	−2.89	71.56	71.62	92
G_{Ma}	52.23	−42.42	13.6	44.55	162
B_{Ma}	30.57	1.41	−46.47	46.49	272

Daten für Maximalfarbe (Ma):
$LAB^*LAB^*_{Ma}$: 48 −49 16
$LAB^*LCH^*_{Ma}$: 48 52 162
$lab^*rgb^*_{Ma}$: 0.0 1.0 0.0
$lab^*olv^*_{Ma}$: 0.0 1.0 0.23
Dreiecks-Helligkeit t^*
%Umfang $u^*_{rel} = 109$
%Regularität $g^*_{H,rel} = 31$ $g^*_{C,rel} = 40$

FRS09_92a; adaptierte CIELAB-Daten						
u^*_e	$L^*=L^*_a$	a^*_a	b^*_a	$C^*_{ab,a}$	$h^*_{ab,a}$	u^*_d
r00j	35.47	63.32	30.17	70.15	25	m81o
r25j	39.12	54.56	49.45	73.64	42	o10y
r50j	50.64	39.15	64.89	75.79	59	o40y
r75j	64.01	21.26	82.83	85.52	76	o69y
j00g	83.18	−4.38	108.53	108.62	92	o98y
j25g	66.73	−29.89	83.06	88.28	110	y34l
j50g	54.03	−48.31	63.49	79.78	127	y69l
j75g	44.73	−60.33	42.64	73.88	145	l03c
g00b	47.59	−49.08	15.74	51.54	162	l23c
g25b	49.97	−39.7	−6.72	40.27	190	l55c
g50b	51.85	−32.33	−24.35	40.48	217	l87c
g75b	46.92	−17.29	−36.02	39.96	244	c20v
b00r	37.91	1.28	−42.35	42.37	272	c53v
b25r	23.81	30.38	−52.26	60.45	300	c87v
b50r	29.52	69.06	−42.14	80.9	329	v68m
b75r	36.48	71.47	−3.69	71.57	357	m34o

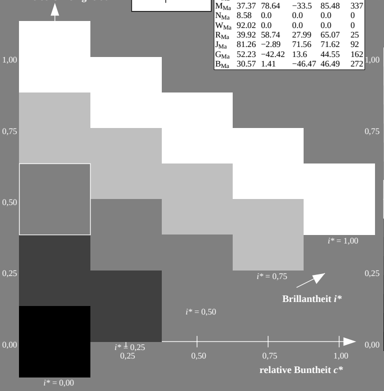

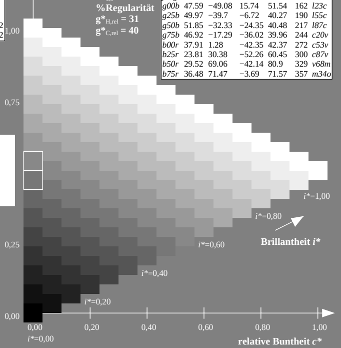

Ein und Ausgabe: Farbmetrisches Drucker-Reflektiv-System FRS09_92, L*=09_92 für relativen CIELAB-Buntton $h^* = lab^*h^* = h_{ab}/360 = 0.527$ $u^*_e = g25b$

Daten für jede Farbe:
*lab*tch** und *lab*icu**
Bunttontexte:
$u^*_e = g25b$ $u^*_d = l55c$
Kontrastreduzierungsfaktor:
$c_R = 1.0$
Dreiecks-Helligkeit t^*

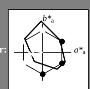

FRS09_92a; adaptierte CIELAB-Daten					
u^*_e	$L^*=L^*_a$	a^*_a	b^*_a	$C^*_{ab,a}$	$h^*_{ab,a}$
O_{Ma}	35.06	60.0	44.0	74.4	36
Y_{Ma}	83.77	−5.17	109.32	109.44	93
L_{Ma}	44.13	−62.67	48.24	79.09	142
C_{Ma}	52.66	−29.14	−31.99	43.27	228
V_{Ma}	14.15	50.3	−59.04	77.57	310
M_{Ma}	37.37	78.64	−33.5	85.48	337
N_{Ma}	8.58	0.0	0.0	0.0	0
W_{Ma}	92.02	0.0	0.0	0.0	0
R_{Ma}	39.92	58.74	27.99	65.07	25
J_{Ma}	81.26	−2.89	71.56	71.62	92
G_{Ma}	52.23	−42.42	13.6	44.55	162
B_{Ma}	30.57	1.41	−46.47	46.49	272

Daten für Maximalfarbe (Ma):
$LAB^*LAB^*_{Ma}$: 50 −40 −7
$LAB^*LCH^*_{Ma}$: 50 40 189
$lab^*rgb^*_{Ma}$: 0.0 1.0 0.5
$lab^*olv^*_{Ma}$: 0.0 1.0 0.55
Dreiecks-Helligkeit t^*
%Umfang $u^*_{rel} = 109$
%Regularität $g^*_{H,rel} = 31$ $g^*_{C,rel} = 40$

FRS09_92a; adaptierte CIELAB-Daten						
u^*_e	$L^*=L^*_a$	a^*_a	b^*_a	$C^*_{ab,a}$	$h^*_{ab,a}$	u^*_d
r00j	35.47	63.32	30.17	70.15	25	m81o
r25j	39.12	54.56	49.45	73.64	42	o10y
r50j	50.64	39.15	64.89	75.79	59	o40y
r75j	64.01	21.26	82.83	85.52	76	o69y
j00g	83.18	−4.38	108.53	108.62	92	o98y
j25g	66.73	−29.89	83.06	88.28	110	y34l
j50g	54.03	−48.31	63.49	79.78	127	y69l
j75g	44.73	−60.33	42.64	73.88	145	l03c
g00b	47.59	−49.08	15.74	51.54	162	l23c
g25b	49.97	−39.7	−6.72	40.27	190	l55c
g50b	51.85	−32.33	−24.35	40.48	217	l87c
g75b	46.92	−17.29	−36.02	39.96	244	c20v
b00r	37.91	1.28	−42.35	42.37	272	c53v
b25r	23.81	30.38	−52.26	60.45	300	c87v
b50r	29.52	69.06	−42.14	80.9	329	v68m
b75r	36.48	71.47	−3.69	71.57	357	m34o

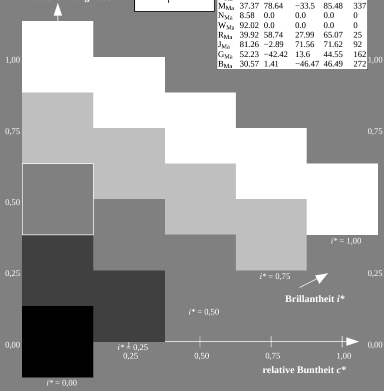

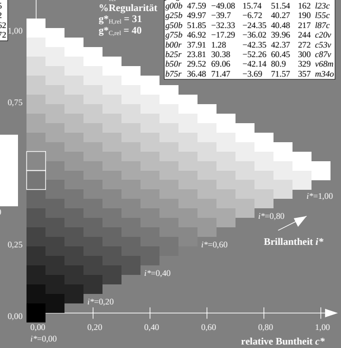

Ein und Ausgabe: Farbmetrisches Drucker-Reflektiv-System FRS09_92, L*=09_92 für relativen CIELAB-Buntton $h^* = lab^*h^* = h_{ab}/360 = 0.603$ $u^*_e = g50b$

Daten für jede Farbe:
*lab*tch** und *lab*icu**
Bunttontexte:
$u^*_e = g50b$ $u^*_d = l87c$
Kontrastreduzierungsfaktor:
$c_R = 1.0$
Dreiecks-Helligkeit t^*

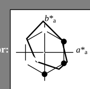

FRS09_92a; adaptierte CIELAB-Daten					
u^*_e	$L^*=L^*_a$	a^*_a	b^*_a	$C^*_{ab,a}$	$h^*_{ab,a}$
O_{Ma}	35.06	60.0	44.0	74.4	36
Y_{Ma}	83.77	−5.17	109.32	109.44	93
L_{Ma}	44.13	−62.67	48.24	79.09	142
C_{Ma}	52.66	−29.14	−31.99	43.27	228
V_{Ma}	14.15	50.3	−59.04	77.57	310
M_{Ma}	37.37	78.64	−33.5	85.48	337
N_{Ma}	8.58	0.0	0.0	0.0	0
W_{Ma}	92.02	0.0	0.0	0.0	0
R_{Ma}	39.92	58.74	27.99	65.07	25
J_{Ma}	81.26	−2.89	71.56	71.62	92
G_{Ma}	52.23	−42.42	13.6	44.55	162
B_{Ma}	30.57	1.41	−46.47	46.49	272

Daten für Maximalfarbe (Ma):
$LAB^*LAB^*_{Ma}$: 52 −32 −24
$LAB^*LCH^*_{Ma}$: 52 40 216
$lab^*rgb^*_{Ma}$: 0.0 1.0 1.0
$lab^*olv^*_{Ma}$: 0.0 1.0 0.87
Dreiecks-Helligkeit t^*
%Umfang $u^*_{rel} = 109$
%Regularität $g^*_{H,rel} = 31$ $g^*_{C,rel} = 40$

FRS09_92a; adaptierte CIELAB-Daten						
u^*_e	$L^*=L^*_a$	a^*_a	b^*_a	$C^*_{ab,a}$	$h^*_{ab,a}$	u^*_d
r00j	35.47	63.32	30.17	70.15	25	m81o
r25j	39.12	54.56	49.45	73.64	42	o10y
r50j	50.64	39.15	64.89	75.79	59	o40y
r75j	64.01	21.26	82.83	85.52	76	o69y
j00g	83.18	−4.38	108.53	108.62	92	o98y
j25g	66.73	−29.89	83.06	88.28	110	y34l
j50g	54.03	−48.31	63.49	79.78	127	y69l
j75g	44.73	−60.33	42.64	73.88	145	l03c
g00b	47.59	−49.08	15.74	51.54	162	l23c
g25b	49.97	−39.7	−6.72	40.27	190	l55c
g50b	51.85	−32.33	−24.35	40.48	217	l87c
g75b	46.92	−17.29	−36.02	39.96	244	c20v
b00r	37.91	1.28	−42.35	42.37	272	c53v
b25r	23.81	30.38	−52.26	60.45	300	c87v
b50r	29.52	69.06	−42.14	80.9	329	v68m
b75r	36.48	71.47	−3.69	71.57	357	m34o

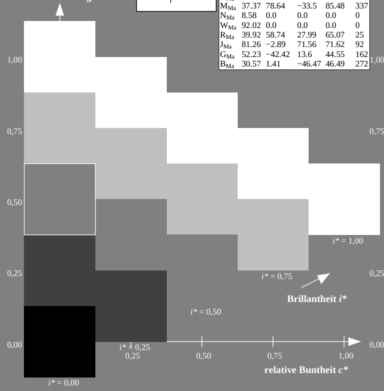

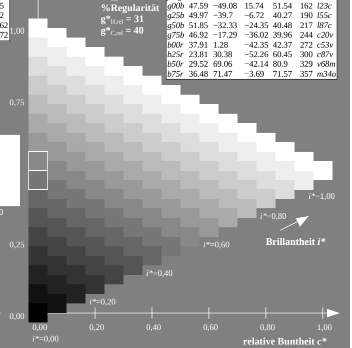

Ein und Ausgabe: Farbmetrisches Drucker-Reflektiv-System FRS09_92, L*=09_92 für relativen CIELAB-Buntton $h^* = lab^*h^* = h_{ab}/360 = 0.679$ $u^*_e = g75b$

Daten für jede Farbe:
*lab*tch** und *lab*icu**
Bunttontexte:
$u^*_e = g75b$ $u^*_d = c20v$
Kontrastreduzierungsfaktor:
$c_R = 1.0$
Dreiecks-Helligkeit t^*

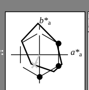

FRS09_92a; adaptierte CIELAB-Daten					
u^*_e	$L^*=L^*_a$	a^*_a	b^*_a	$C^*_{ab,a}$	$h^*_{ab,a}$
O_{Ma}	35.06	60.0	44.0	74.4	36
Y_{Ma}	83.77	−5.17	109.32	109.44	93
L_{Ma}	44.13	−62.67	48.24	79.09	142
C_{Ma}	52.66	−29.14	−31.99	43.27	228
V_{Ma}	14.15	50.3	−59.04	77.57	310
M_{Ma}	37.37	78.64	−33.5	85.48	337
N_{Ma}	8.58	0.0	0.0	0.0	0
W_{Ma}	92.02	0.0	0.0	0.0	0
R_{Ma}	39.92	58.74	27.99	65.07	25
J_{Ma}	81.26	−2.89	71.56	71.62	92
G_{Ma}	52.23	−42.42	13.6	44.55	162
B_{Ma}	30.57	1.41	−46.47	46.49	272

Daten für Maximalfarbe (Ma):
$LAB^*LAB^*_{Ma}$: 47 −17 −36
$LAB^*LCH^*_{Ma}$: 47 40 244
$lab^*rgb^*_{Ma}$: 0.0 0.5 1.0
$lab^*olv^*_{Ma}$: 0.0 0.8 1.0
Dreiecks-Helligkeit t^*
%Umfang $u^*_{rel} = 109$
%Regularität $g^*_{H,rel} = 31$ $g^*_{C,rel} = 40$

FRS09_92a; adaptierte CIELAB-Daten						
u^*_e	$L^*=L^*_a$	a^*_a	b^*_a	$C^*_{ab,a}$	$h^*_{ab,a}$	u^*_d
r00j	35.47	63.32	30.17	70.15	25	m81o
r25j	39.12	54.56	49.45	73.64	42	o10y
r50j	50.64	39.15	64.89	75.79	59	o40y
r75j	64.01	21.26	82.83	85.52	76	o69y
j00g	83.18	−4.38	108.53	108.62	92	o98y
j25g	66.73	−29.89	83.06	88.28	110	y34l
j50g	54.03	−48.31	63.49	79.78	127	y69l
j75g	44.73	−60.33	42.64	73.88	145	l03c
g00b	47.59	−49.08	15.74	51.54	162	l23c
g25b	49.97	−39.7	−6.72	40.27	190	l55c
g50b	51.85	−32.33	−24.35	40.48	217	l87c
g75b	46.92	−17.29	−36.02	39.96	244	c20v
b00r	37.91	1.28	−42.35	42.37	272	c53v
b25r	23.81	30.38	−52.26	60.45	300	c87v
b50r	29.52	69.06	−42.14	80.9	329	v68m
b75r	36.48	71.47	−3.69	71.57	357	m34o

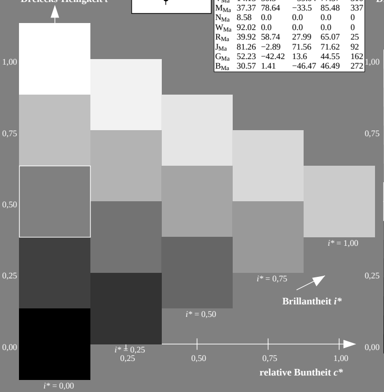

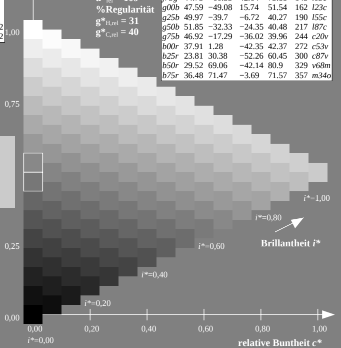

Ein und Ausgabe: Farbmetrisches Drucker-Reflektiv-System FRS09_92, L*=09_92 für relativen CIELAB-Buntton $h^* = lab^*h^* = h_{ab}/360 = 0.755$ $u^*_e = b00r$

Daten für jede Farbe:
*lab*tch** und *lab*icu**
Bunttontexte:
$u^*_e = b00r$ $u^*_d = c53v$
Kontrastreduzierungsfaktor:
$c_R = 1.0$
Dreiecks-Helligkeit t^*

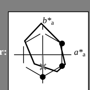

FRS09_92a; adaptierte CIELAB-Daten					
u^*_e	$L^*=L^*_a$	a^*_a	b^*_a	$C^*_{ab,a}$	$h^*_{ab,a}$
O_{Ma}	35.06	60.0	44.0	74.4	36
Y_{Ma}	83.77	−5.17	109.32	109.44	93
L_{Ma}	44.13	−62.67	48.24	79.09	142
C_{Ma}	52.66	−29.14	−31.99	43.27	228
V_{Ma}	14.15	50.3	−59.04	77.57	310
M_{Ma}	37.37	78.64	−33.5	85.48	337
N_{Ma}	8.58	0.0	0.0	0.0	0
W_{Ma}	92.02	0.0	0.0	0.0	0
R_{Ma}	39.92	58.74	27.99	65.07	25
J_{Ma}	81.26	−2.89	71.56	71.62	92
G_{Ma}	52.23	−42.42	13.6	44.55	162
B_{Ma}	30.57	1.41	−46.47	46.49	272

Daten für Maximalfarbe (Ma):
$LAB^*LAB^*_{Ma}$: 38 1 −42
$LAB^*LCH^*_{Ma}$: 38 42 271
$lab^*rgb^*_{Ma}$: 0.0 0.0 1.0
$lab^*olv^*_{Ma}$: 0.0 0.47 1.0
Dreiecks-Helligkeit t^*
%Umfang $u^*_{rel} = 109$
%Regularität $g^*_{H,rel} = 31$ $g^*_{C,rel} = 40$

FRS09_92a; adaptierte CIELAB-Daten						
u^*_e	$L^*=L^*_a$	a^*_a	b^*_a	$C^*_{ab,a}$	$h^*_{ab,a}$	u^*_d
r00j	35.47	63.32	30.17	70.15	25	m81o
r25j	39.12	54.56	49.45	73.64	42	o10y
r50j	50.64	39.15	64.89	75.79	59	o40y
r75j	64.01	21.26	82.83	85.52	76	o69y
j00g	83.18	−4.38	108.53	108.62	92	o98y
j25g	66.73	−29.89	83.06	88.28	110	y34l
j50g	54.03	−48.31	63.49	79.78	127	y69l
j75g	44.73	−60.33	42.64	73.88	145	l03c
g00b	47.59	−49.08	15.74	51.54	162	l23c
g25b	49.97	−39.7	−6.72	40.27	190	l55c
g50b	51.85	−32.33	−24.35	40.48	217	l87c
g75b	46.92	−17.29	−36.02	39.96	244	c20v
b00r	37.91	1.28	−42.35	42.37	272	c53v
b25r	23.81	30.38	−52.26	60.45	300	c87v
b50r	29.52	69.06	−42.14	80.9	329	v68m
b75r	36.48	71.47	−3.69	71.57	357	m34o

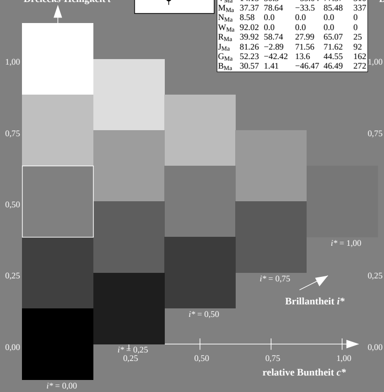

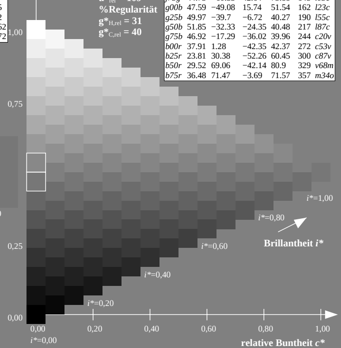

Ein und Ausgabe: Farbmetrisches Drucker-Reflektiv-System FRS09_92, L*=09_92 für relativen CIELAB-Buntton $h^* = lab^*h^* = h_{ab}/360 = 0.834$ $u^*_e = b25r$

Daten für jede Farbe:
*lab*tch** und *lab*icu**
Bunttontexte:
$u^*_e = b25r$ $u^*_d = c87v$
Kontrastreduzierungsfaktor:
$c_R = 1.0$
Dreiecks-Helligkeit t^*

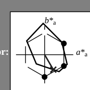

FRS09_92a; adaptierte CIELAB-Daten					
u^*_e	$L^*=L^*_a$	a^*_a	b^*_a	$C^*_{ab,a}$	$h^*_{ab,a}$
O_{Ma}	35.06	60.0	44.0	74.4	36
Y_{Ma}	83.77	−5.17	109.32	109.44	93
L_{Ma}	44.13	−62.67	48.24	79.09	142
C_{Ma}	52.66	−29.14	−31.99	43.27	228
V_{Ma}	14.15	50.3	−59.04	77.57	310
M_{Ma}	37.37	78.64	−33.5	85.48	337
N_{Ma}	8.58	0.0	0.0	0.0	0
W_{Ma}	92.02	0.0	0.0	0.0	0
R_{Ma}	39.92	58.74	27.99	65.07	25
J_{Ma}	81.26	−2.89	71.56	71.62	92
G_{Ma}	52.23	−42.42	13.6	44.55	162
B_{Ma}	30.57	1.41	−46.47	46.49	272

Daten für Maximalfarbe (Ma):
$LAB^*LAB^*_{Ma}$: 24 30 −52
$LAB^*LCH^*_{Ma}$: 24 60 300
$lab^*rgb^*_{Ma}$: 0.5 0.0 1.0
$lab^*olv^*_{Ma}$: 0.0 0.12 1.0
Dreiecks-Helligkeit t^*
%Umfang $u^*_{rel} = 109$
%Regularität $g^*_{H,rel} = 31$ $g^*_{C,rel} = 40$

FRS09_92a; adaptierte CIELAB-Daten						
u^*_e	$L^*=L^*_a$	a^*_a	b^*_a	$C^*_{ab,a}$	$h^*_{ab,a}$	u^*_d
r00j	35.47	63.32	30.17	70.15	25	m81o
r25j	39.12	54.56	49.45	73.64	42	o10y
r50j	50.64	39.15	64.89	75.79	59	o40y
r75j	64.01	21.26	82.83	85.52	76	o69y
j00g	83.18	−4.38	108.53	108.62	92	o98y
j25g	66.73	−29.89	83.06	88.28	110	y34l
j50g	54.03	−48.31	63.49	79.78	127	y69l
j75g	44.73	−60.33	42.64	73.88	145	l03c
g00b	47.59	−49.08	15.74	51.54	162	l23c
g25b	49.97	−39.7	−6.72	40.27	190	l55c
g50b	51.85	−32.33	−24.35	40.48	217	l87c
g75b	46.92	−17.29	−36.02	39.96	244	c20v
b00r	37.91	1.28	−42.35	42.37	272	c53v
b25r	23.81	30.38	−52.26	60.45	300	c87v
b50r	29.52	69.06	−42.14	80.9	329	v68m
b75r	36.48	71.47	−3.69	71.57	357	m34o

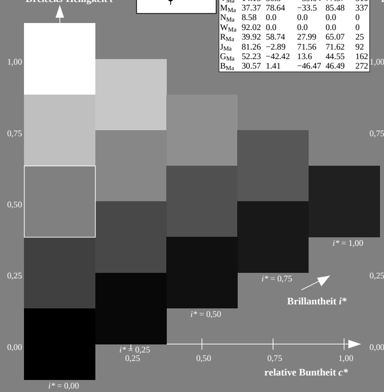

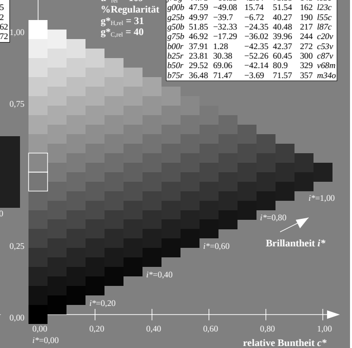

Ein und Ausgabe: Farbmetrisches Drucker-Reflektiv-System FRS09_92, L*=09_92 für relativen CIELAB-Buntton $h^* = lab^*h^* = h_{ab}/360 = 0.913$ $u^*_e = b50r$

Daten für jede Farbe:
*lab*tch** und *lab*icu**
Bunttontexte:
$u^*_e = b50r$ $u^*_d = v68m$
Kontrastreduzierungsfaktor:
$c_R = 1.0$
Dreiecks-Helligkeit t^*

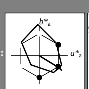

FRS09_92a; adaptierte CIELAB-Daten					
u^*_e	$L^*=L^*_a$	a^*_a	b^*_a	$C^*_{ab,a}$	$h^*_{ab,a}$
O_{Ma}	35.06	60.0	44.0	74.4	36
Y_{Ma}	83.77	−5.17	109.32	109.44	93
L_{Ma}	44.13	−62.67	48.24	79.09	142
C_{Ma}	52.66	−29.14	−31.99	43.27	228
V_{Ma}	14.15	50.3	−59.04	77.57	310
M_{Ma}	37.37	78.64	−33.5	85.48	337
N_{Ma}	8.58	0.0	0.0	0.0	0
W_{Ma}	92.02	0.0	0.0	0.0	0
R_{Ma}	39.92	58.74	27.99	65.07	25
J_{Ma}	81.26	−2.89	71.56	71.62	92
G_{Ma}	52.23	−42.42	13.6	44.55	162
B_{Ma}	30.57	1.41	−46.47	46.49	272

Daten für Maximalfarbe (Ma):
$LAB^*LAB^*_{Ma}$: 30 69 −42
$LAB^*LCH^*_{Ma}$: 30 81 328
$lab^*rgb^*_{Ma}$: 1.0 0.0 1.0
$lab^*olv^*_{Ma}$: 0.69 0.0 1.0
Dreiecks-Helligkeit t^*
%Umfang $u^*_{rel} = 109$
%Regularität $g^*_{H,rel} = 31$ $g^*_{C,rel} = 40$

FRS09_92a; adaptierte CIELAB-Daten						
u^*_e	$L^*=L^*_a$	a^*_a	b^*_a	$C^*_{ab,a}$	$h^*_{ab,a}$	u^*_d
r00j	35.47	63.32	30.17	70.15	25	m81o
r25j	39.12	54.56	49.45	73.64	42	o10y
r50j	50.64	39.15	64.89	75.79	59	o40y
r75j	64.01	21.26	82.83	85.52	76	o69y
j00g	83.18	−4.38	108.53	108.62	92	o98y
j25g	66.73	−29.89	83.06	88.28	110	y34l
j50g	54.03	−48.31	63.49	79.78	127	y69l
j75g	44.73	−60.33	42.64	73.88	145	l03c
g00b	47.59	−49.08	15.74	51.54	162	l23c
g25b	49.97	−39.7	−6.72	40.27	190	l55c
g50b	51.85	−32.33	−24.35	40.48	217	l87c
g75b	46.92	−17.29	−36.02	39.96	244	c20v
b00r	37.91	1.28	−42.35	42.37	272	c53v
b25r	23.81	30.38	−52.26	60.45	300	c87v
b50r	29.52	69.06	−42.14	80.9	329	v68m
b75r	36.48	71.47	−3.69	71.57	357	m34o

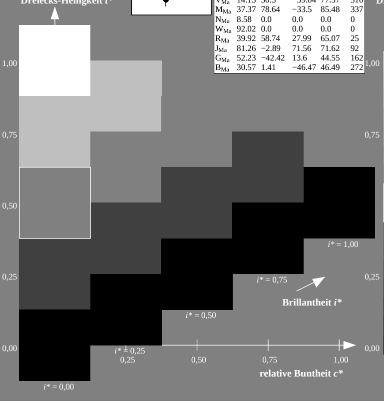

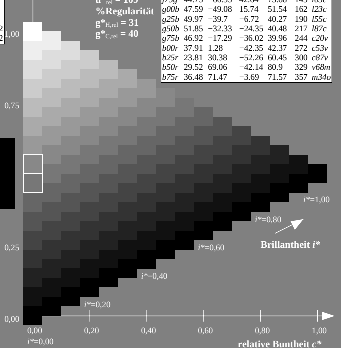

Ein und Ausgabe: Farbmetrisches Drucker-Reflektiv-System FRS09_92, L*=09_92 für relativen CIELAB-Buntton $h^* = lab^*h^* = h_{ab}/360 = 0.992$ $u^*_e = b75r$

Daten für jede Farbe:
*lab*tch** und *lab*icu**
Bunttontexte:
$u^*_e = b75r$ $u^*_d = m34o$
Kontrastreduzierungsfaktor:
$c_R = 1.0$
Dreiecks-Helligkeit t^*

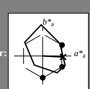

FRS09_92a; adaptierte CIELAB-Daten					
u^*_e	$L^*=L^*_a$	a^*_a	b^*_a	$C^*_{ab,a}$	$h^*_{ab,a}$
O_{Ma}	35.06	60.0	44.0	74.4	36
Y_{Ma}	83.77	−5.17	109.32	109.44	93
L_{Ma}	44.13	−62.67	48.24	79.09	142
C_{Ma}	52.66	−29.14	−31.99	43.27	228
V_{Ma}	14.15	50.3	−59.04	77.57	310
M_{Ma}	37.37	78.64	−33.5	85.48	337
N_{Ma}	8.58	0.0	0.0	0.0	0
W_{Ma}	92.02	0.0	0.0	0.0	0
R_{Ma}	39.92	58.74	27.99	65.07	25
J_{Ma}	81.26	−2.89	71.56	71.62	92
G_{Ma}	52.23	−42.42	13.6	44.55	162
B_{Ma}	30.57	1.41	−46.47	46.49	272

Daten für Maximalfarbe (Ma):
$LAB^*LAB^*_{Ma}$: 36 71 −4
$LAB^*LCH^*_{Ma}$: 36 72 357
$lab^*rgb^*_{Ma}$: 1.0 0.0 0.5
$lab^*olv^*_{Ma}$: 1.0 0.0 0.66
Dreiecks-Helligkeit t^*
%Umfang $u^*_{rel} = 109$
%Regularität $g^*_{H,rel} = 31$ $g^*_{C,rel} = 40$

FRS09_92a; adaptierte CIELAB-Daten						
u^*_e	$L^*=L^*_a$	a^*_a	b^*_a	$C^*_{ab,a}$	$h^*_{ab,a}$	u^*_d
r00j	35.47	63.32	30.17	70.15	25	m81o
r25j	39.12	54.56	49.45	73.64	42	o10y
r50j	50.64	39.15	64.89	75.79	59	o40y
r75j	64.01	21.26	82.83	85.52	76	o69y
j00g	83.18	−4.38	108.53	108.62	92	o98y
j25g	66.73	−29.89	83.06	88.28	110	y34l
j50g	54.03	−48.31	63.49	79.78	127	y69l
j75g	44.73	−60.33	42.64	73.88	145	l03c
g00b	47.59	−49.08	15.74	51.54	162	l23c
g25b	49.97	−39.7	−6.72	40.27	190	l55c
g50b	51.85	−32.33	−24.35	40.48	217	l87c
g75b	46.92	−17.29	−36.02	39.96	244	c20v
b00r	37.91	1.28	−42.35	42.37	272	c53v
b25r	23.81	30.38	−52.26	60.45	300	c87v
b50r	29.52	69.06	−42.14	80.9	329	v68m
b75r	36.48	71.47	−3.69	71.57	357	m34o

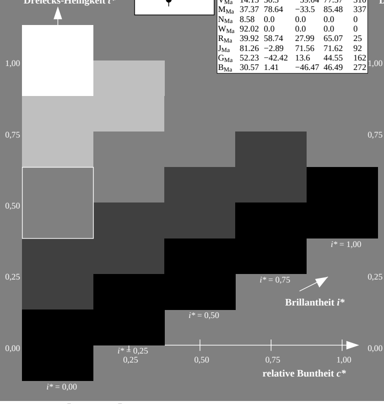

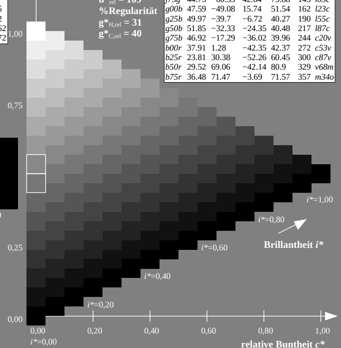

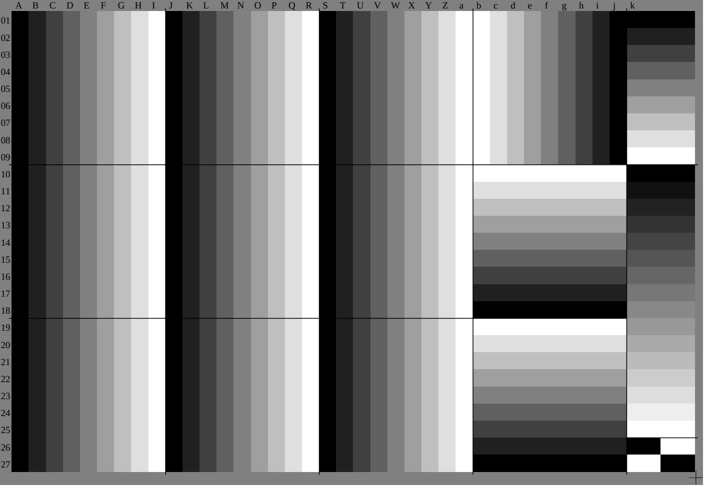

Ein und Ausgabe: Farbmetrisches Drucker-Reflektiv-System FRS09_92, L*=09_92 für relativen CIELAB-Buntton $h^* = lab^*h^* = h_{ab}/360 = 0.451$ $u^*_e = g00b$

Daten für jede Farbe: *lab*tch** und *lab*icu**
Bunttontexte: $u^*_e = g00b$ $u^*_d = l23c$
Kontrastreduzierungsfaktor: $c_R = 1.0$
Dreiecks-Helligkeit t^*

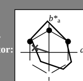

FRS09_92a; adaptierte CIELAB-Daten

u^*_e	$L^*=L^*_a$	a^*_a	b^*_a	$C^*_{ab,a}$	$h^*_{ab,a}$
O_{Ma}	35.06	60.0	44.0	74.4	36
Y_{Ma}	83.77	−5.17	109.32	109.44	93
L_{Ma}	44.13	−62.67	48.24	79.09	142
C_{Ma}	52.66	−29.14	−31.99	43.27	228
V_{Ma}	14.15	50.3	−59.04	77.57	310
M_{Ma}	37.37	78.64	−33.5	85.48	337
N_{Ma}	8.58	0.0	0.0	0.0	0
W_{Ma}	92.02	0.0	0.0	0.0	0
R_{Ma}	39.92	58.74	27.99	65.07	25
J_{Ma}	81.26	−2.89	71.56	71.62	92
G_{Ma}	52.23	−42.42	13.6	44.55	162
B_{Ma}	30.57	1.41	−46.47	46.49	272

Daten für Maximalfarbe (Ma):
*LAB*LAB**$_{Ma}$: 48 −49 16
*LAB*LCH**$_{Ma}$: 48 52 162
*lab*rgb**$_{Ma}$: 0.0 1.0 0.0
*lab*olv**$_{Ma}$: 0.0 1.0 0.23
Dreiecks-Helligkeit t^*

%Umfang $u^*_{rel} = 109$
%Regularität $g^*_{H,rel} = 31$ $g^*_{C,rel} = 40$

FRS09_92a; adaptierte CIELAB-Daten

u^*_e	$L^*=L^*_a$	a^*_a	b^*_a	$C^*_{ab,a}$	$h^*_{ab,a}$	u^*_d
r00j	35.47	63.32	30.17	70.15	25	m81o
r25j	39.12	54.56	49.45	73.64	42	o10y
r50j	50.64	39.15	64.89	75.79	59	o40y
r75j	64.01	21.26	82.83	85.52	76	o69y
j00g	83.18	−4.38	108.53	108.62	92	o98y
j25g	66.73	−29.89	83.06	88.28	110	y34l
j50g	54.03	−48.31	63.49	79.78	127	y69l
j75g	44.73	−60.33	42.64	73.88	145	l03c
g00b	47.59	−49.08	15.74	51.54	162	l23c
g25b	49.97	−39.7	−6.72	40.27	190	l55c
g50b	51.85	−32.33	−24.35	40.48	217	l87c
g75b	46.92	−17.29	−36.02	39.96	244	c20v
b00r	37.91	1.28	−42.35	42.37	272	c53v
b25r	23.81	30.38	−52.26	60.45	300	c87v
b50r	29.52	69.06	−42.14	80.9	329	v68m
b75r	36.48	71.47	−3.69	71.57	357	m34o

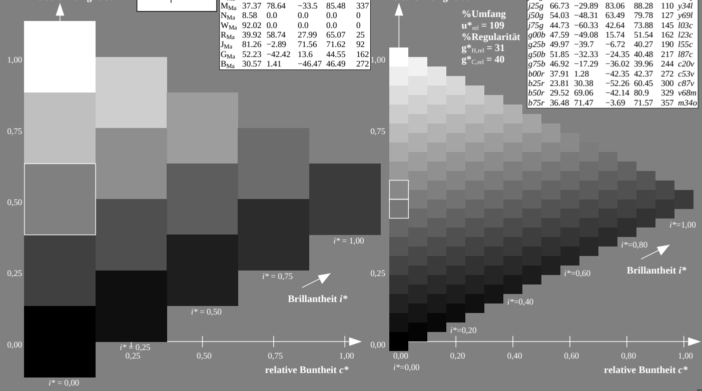

Ein und Ausgabe: Farbmetrisches Drucker-Reflektiv-System FRS09_92, L*=09_92 für relativen CIELAB-Buntton $h^* = lab^*h^* = h_{ab}/360 = 0.527$ $u^*_e = g25b$

Daten für jede Farbe: *lab*tch** und *lab*icu**
Bunttontexte: $u^*_e = g25b$ $u^*_d = l55c$
Kontrastreduzierungsfaktor: $c_R = 1.0$
Dreiecks-Helligkeit t^*

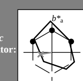

FRS09_92a; adaptierte CIELAB-Daten

u^*_e	$L^*=L^*_a$	a^*_a	b^*_a	$C^*_{ab,a}$	$h^*_{ab,a}$
O_{Ma}	35.06	60.0	44.0	74.4	36
Y_{Ma}	83.77	−5.17	109.32	109.44	93
L_{Ma}	44.13	−62.67	48.24	79.09	142
C_{Ma}	52.66	−29.14	−31.99	43.27	228
V_{Ma}	14.15	50.3	−59.04	77.57	310
M_{Ma}	37.37	78.64	−33.5	85.48	337
N_{Ma}	8.58	0.0	0.0	0.0	0
W_{Ma}	92.02	0.0	0.0	0.0	0
R_{Ma}	39.92	58.74	27.99	65.07	25
J_{Ma}	81.26	−2.89	71.56	71.62	92
G_{Ma}	52.23	−42.42	13.6	44.55	162
B_{Ma}	30.57	1.41	−46.47	46.49	272

Daten für Maximalfarbe (Ma):
*LAB*LAB**$_{Ma}$: 50 −40 −7
*LAB*LCH**$_{Ma}$: 50 40 189
*lab*rgb**$_{Ma}$: 0.0 1.0 0.5
*lab*olv**$_{Ma}$: 0.0 1.0 0.55
Dreiecks-Helligkeit t^*

%Umfang $u^*_{rel} = 109$
%Regularität $g^*_{H,rel} = 31$ $g^*_{C,rel} = 40$

FRS09_92a; adaptierte CIELAB-Daten

u^*_e	$L^*=L^*_a$	a^*_a	b^*_a	$C^*_{ab,a}$	$h^*_{ab,a}$	u^*_d
r00j	35.47	63.32	30.17	70.15	25	m81o
r25j	39.12	54.56	49.45	73.64	42	o10y
r50j	50.64	39.15	64.89	75.79	59	o40y
r75j	64.01	21.26	82.83	85.52	76	o69y
j00g	83.18	−4.38	108.53	108.62	92	o98y
j25g	66.73	−29.89	83.06	88.28	110	y34l
j50g	54.03	−48.31	63.49	79.78	127	y69l
j75g	44.73	−60.33	42.64	73.88	145	l03c
g00b	47.59	−49.08	15.74	51.54	162	l23c
g25b	49.97	−39.7	−6.72	40.27	190	l55c
g50b	51.85	−32.33	−24.35	40.48	217	l87c
g75b	46.92	−17.29	−36.02	39.96	244	c20v
b00r	37.91	1.28	−42.35	42.37	272	c53v
b25r	23.81	30.38	−52.26	60.45	300	c87v
b50r	29.52	69.06	−42.14	80.9	329	v68m
b75r	36.48	71.47	−3.69	71.57	357	m34o

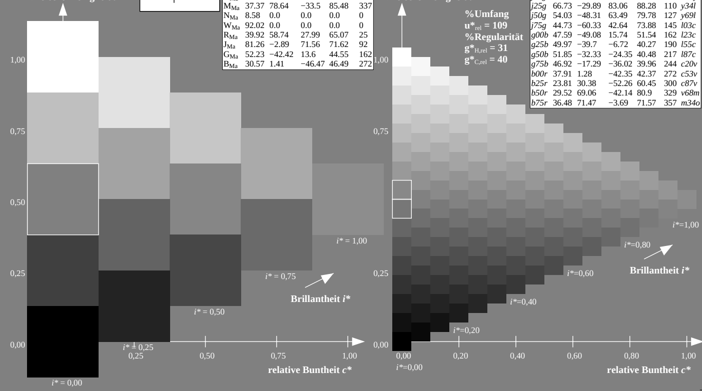

Ein und Ausgabe: Farbmetrisches Drucker-Reflektiv-System FRS09_92, L*=09_92 für relativen CIELAB-Buntton $h^* = lab^*h^* = h_{ab}/360 = 0.603$ $u^*_e = g50b$

Daten für jede Farbe: *lab*tch** und *lab*icu**
Bunttontexte: $u^*_e = g50b$ $u^*_d = l87c$
Kontrastreduzierungsfaktor: $c_R = 1.0$
Dreiecks-Helligkeit t^*

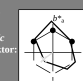

FRS09_92a; adaptierte CIELAB-Daten

u^*_e	$L^*=L^*_a$	a^*_a	b^*_a	$C^*_{ab,a}$	$h^*_{ab,a}$
O_{Ma}	35.06	60.0	44.0	74.4	36
Y_{Ma}	83.77	−5.17	109.32	109.44	93
L_{Ma}	44.13	−62.67	48.24	79.09	142
C_{Ma}	52.66	−29.14	−31.99	43.27	228
V_{Ma}	14.15	50.3	−59.04	77.57	310
M_{Ma}	37.37	78.64	−33.5	85.48	337
N_{Ma}	8.58	0.0	0.0	0.0	0
W_{Ma}	92.02	0.0	0.0	0.0	0
R_{Ma}	39.92	58.74	27.99	65.07	25
J_{Ma}	81.26	−2.89	71.56	71.62	92
G_{Ma}	52.23	−42.42	13.6	44.55	162
B_{Ma}	30.57	1.41	−46.47	46.49	272

Daten für Maximalfarbe (Ma):
*LAB*LAB**$_{Ma}$: 52 −32 −24
*LAB*LCH**$_{Ma}$: 52 40 216
*lab*rgb**$_{Ma}$: 0.0 1.0 1.0
*lab*olv**$_{Ma}$: 0.0 1.0 0.87
Dreiecks-Helligkeit t^*

%Umfang $u^*_{rel} = 109$
%Regularität $g^*_{H,rel} = 31$ $g^*_{C,rel} = 40$

FRS09_92a; adaptierte CIELAB-Daten

u^*_e	$L^*=L^*_a$	a^*_a	b^*_a	$C^*_{ab,a}$	$h^*_{ab,a}$	u^*_d
r00j	35.47	63.32	30.17	70.15	25	m81o
r25j	39.12	54.56	49.45	73.64	42	o10y
r50j	50.64	39.15	64.89	75.79	59	o40y
r75j	64.01	21.26	82.83	85.52	76	o69y
j00g	83.18	−4.38	108.53	108.62	92	o98y
j25g	66.73	−29.89	83.06	88.28	110	y34l
j50g	54.03	−48.31	63.49	79.78	127	y69l
j75g	44.73	−60.33	42.64	73.88	145	l03c
g00b	47.59	−49.08	15.74	51.54	162	l23c
g25b	49.97	−39.7	−6.72	40.27	190	l55c
g50b	51.85	−32.33	−24.35	40.48	217	l87c
g75b	46.92	−17.29	−36.02	39.96	244	c20v
b00r	37.91	1.28	−42.35	42.37	272	c53v
b25r	23.81	30.38	−52.26	60.45	300	c87v
b50r	29.52	69.06	−42.14	80.9	329	v68m
b75r	36.48	71.47	−3.69	71.57	357	m34o

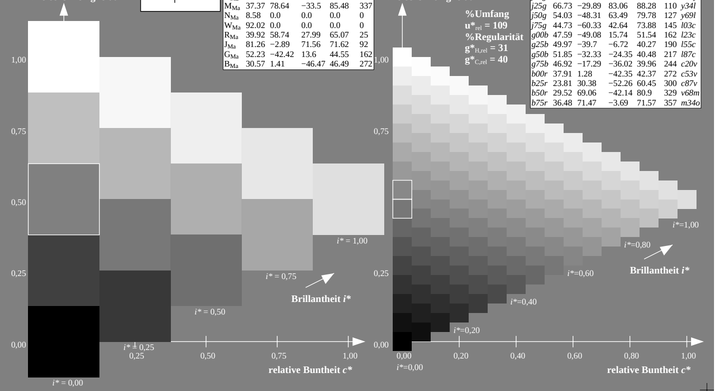

Ein und Ausgabe: Farbmetrisches Drucker-Reflektiv-System FRS09_92, L*=09_92 für relativen CIELAB-Buntton $h^* = lab^*h^* = h_{ab}/360 = 0.679$ $u^*_e = g75b$

Daten für jede Farbe: *lab*tch** und *lab*icu**
Bunttontexte: $u^*_e = g75b$ $u^*_d = c20v$
Kontrastreduzierungsfaktor: $c_R = 1.0$
Dreiecks-Helligkeit t^*

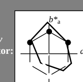

FRS09_92a; adaptierte CIELAB-Daten

u^*_e	$L^*=L^*_a$	a^*_a	b^*_a	$C^*_{ab,a}$	$h^*_{ab,a}$
O_{Ma}	35.06	60.0	44.0	74.4	36
Y_{Ma}	83.77	−5.17	109.32	109.44	93
L_{Ma}	44.13	−62.67	48.24	79.09	142
C_{Ma}	52.66	−29.14	−31.99	43.27	228
V_{Ma}	14.15	50.3	−59.04	77.57	310
M_{Ma}	37.37	78.64	−33.5	85.48	337
N_{Ma}	8.58	0.0	0.0	0.0	0
W_{Ma}	92.02	0.0	0.0	0.0	0
R_{Ma}	39.92	58.74	27.99	65.07	25
J_{Ma}	81.26	−2.89	71.56	71.62	92
G_{Ma}	52.23	−42.42	13.6	44.55	162
B_{Ma}	30.57	1.41	−46.47	46.49	272

Daten für Maximalfarbe (Ma):
*LAB*LAB**$_{Ma}$: 47 −17 −36
*LAB*LCH**$_{Ma}$: 47 40 244
*lab*rgb**$_{Ma}$: 0.0 0.5 1.0
*lab*olv**$_{Ma}$: 0.0 0.8 1.0
Dreiecks-Helligkeit t^*

%Umfang $u^*_{rel} = 109$
%Regularität $g^*_{H,rel} = 31$ $g^*_{C,rel} = 40$

FRS09_92a; adaptierte CIELAB-Daten

u^*_e	$L^*=L^*_a$	a^*_a	b^*_a	$C^*_{ab,a}$	$h^*_{ab,a}$	u^*_d
r00j	35.47	63.32	30.17	70.15	25	m81o
r25j	39.12	54.56	49.45	73.64	42	o10y
r50j	50.64	39.15	64.89	75.79	59	o40y
r75j	64.01	21.26	82.83	85.52	76	o69y
j00g	83.18	−4.38	108.53	108.62	92	o98y
j25g	66.73	−29.89	83.06	88.28	110	y34l
j50g	54.03	−48.31	63.49	79.78	127	y69l
j75g	44.73	−60.33	42.64	73.88	145	l03c
g00b	47.59	−49.08	15.74	51.54	162	l23c
g25b	49.97	−39.7	−6.72	40.27	190	l55c
g50b	51.85	−32.33	−24.35	40.48	217	l87c
g75b	46.92	−17.29	−36.02	39.96	244	c20v
b00r	37.91	1.28	−42.35	42.37	272	c53v
b25r	23.81	30.38	−52.26	60.45	300	c87v
b50r	29.52	69.06	−42.14	80.9	329	v68m
b75r	36.48	71.47	−3.69	71.57	357	m34o

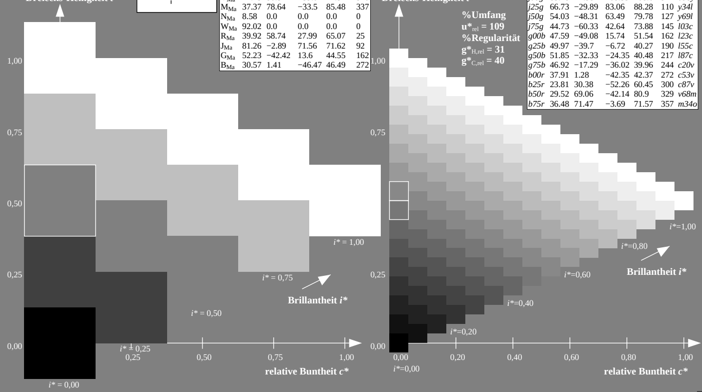

Ein und Ausgabe: Farbmetrisches Drucker-Reflektiv-System FRS09_92, L*=09_92 für relativen CIELAB-Buntton $h^* = lab^*h^* = h_{ab}/360 = 0.755$ $u^*_e = b00r$

Daten für jede Farbe: *lab*tch** und *lab*icu**
Bunttontexte: $u^*_e = b00r$ $u^*_d = c53v$
Kontrastreduzierungsfaktor: $c_R = 1.0$
Dreiecks-Helligkeit t^*

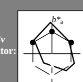

FRS09_92a; adaptierte CIELAB-Daten

u^*_e	$L^*=L^*_a$	a^*_a	b^*_a	$C^*_{ab,a}$	$h^*_{ab,a}$
O_{Ma}	35.06	60.0	44.0	74.4	36
Y_{Ma}	83.77	−5.17	109.32	109.44	93
L_{Ma}	44.13	−62.67	48.24	79.09	142
C_{Ma}	52.66	−29.14	−31.99	43.27	228
V_{Ma}	14.15	50.3	−59.04	77.57	310
M_{Ma}	37.37	78.64	−33.5	85.48	337
N_{Ma}	8.58	0.0	0.0	0.0	0
W_{Ma}	92.02	0.0	0.0	0.0	0
R_{Ma}	39.92	58.74	27.99	65.07	25
J_{Ma}	81.26	−2.89	71.56	71.62	92
G_{Ma}	52.23	−42.42	13.6	44.55	162
B_{Ma}	30.57	1.41	−46.47	46.49	272

Daten für Maximalfarbe (Ma):
*LAB*LAB**$_{Ma}$: 38 1 −42
*LAB*LCH**$_{Ma}$: 38 42 271
*lab*rgb**$_{Ma}$: 0.0 0.0 1.0
*lab*olv**$_{Ma}$: 0.0 0.47 1.0
Dreiecks-Helligkeit t^*

%Umfang $u^*_{rel} = 109$
%Regularität $g^*_{H,rel} = 31$ $g^*_{C,rel} = 40$

FRS09_92a; adaptierte CIELAB-Daten

u^*_e	$L^*=L^*_a$	a^*_a	b^*_a	$C^*_{ab,a}$	$h^*_{ab,a}$	u^*_d
r00j	35.47	63.32	30.17	70.15	25	m81o
r25j	39.12	54.56	49.45	73.64	42	o10y
r50j	50.64	39.15	64.89	75.79	59	o40y
r75j	64.01	21.26	82.83	85.52	76	o69y
j00g	83.18	−4.38	108.53	108.62	92	o98y
j25g	66.73	−29.89	83.06	88.28	110	y34l
j50g	54.03	−48.31	63.49	79.78	127	y69l
j75g	44.73	−60.33	42.64	73.88	145	l03c
g00b	47.59	−49.08	15.74	51.54	162	l23c
g25b	49.97	−39.7	−6.72	40.27	190	l55c
g50b	51.85	−32.33	−24.35	40.48	217	l87c
g75b	46.92	−17.29	−36.02	39.96	244	c20v
b00r	37.91	1.28	−42.35	42.37	272	c53v
b25r	23.81	30.38	−52.26	60.45	300	c87v
b50r	29.52	69.06	−42.14	80.9	329	v68m
b75r	36.48	71.47	−3.69	71.57	357	m34o

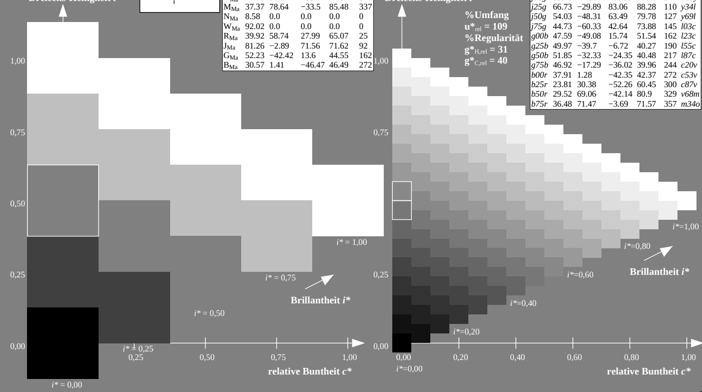

Ein und Ausgabe: Farbmetrisches Drucker-Reflektiv-System FRS09_92, L*=09_92 für relativen CIELAB-Buntton $h^* = lab^*h^* = h_{ab}/360 = 0.834$ $u^*_e = b25r$

Daten für jede Farbe: *lab*tch** und *lab*icu**
Bunttontexte: $u^*_e = b25r$ $u^*_d = c87v$
Kontrastreduzierungsfaktor: $c_R = 1.0$
Dreiecks-Helligkeit t^*

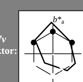

FRS09_92a; adaptierte CIELAB-Daten

u^*_e	$L^*=L^*_a$	a^*_a	b^*_a	$C^*_{ab,a}$	$h^*_{ab,a}$
O_{Ma}	35.06	60.0	44.0	74.4	36
Y_{Ma}	83.77	−5.17	109.32	109.44	93
L_{Ma}	44.13	−62.67	48.24	79.09	142
C_{Ma}	52.66	−29.14	−31.99	43.27	228
V_{Ma}	14.15	50.3	−59.04	77.57	310
M_{Ma}	37.37	78.64	−33.5	85.48	337
N_{Ma}	8.58	0.0	0.0	0.0	0
W_{Ma}	92.02	0.0	0.0	0.0	0
R_{Ma}	39.92	58.74	27.99	65.07	25
J_{Ma}	81.26	−2.89	71.56	71.62	92
G_{Ma}	52.23	−42.42	13.6	44.55	162
B_{Ma}	30.57	1.41	−46.47	46.49	272

Daten für Maximalfarbe (Ma):
*LAB*LAB**$_{Ma}$: 24 30 −52
*LAB*LCH**$_{Ma}$: 24 60 300
*lab*rgb**$_{Ma}$: 0.5 0.0 1.0
*lab*olv**$_{Ma}$: 0.0 0.12 1.0
Dreiecks-Helligkeit t^*

%Umfang $u^*_{rel} = 109$
%Regularität $g^*_{H,rel} = 31$ $g^*_{C,rel} = 40$

FRS09_92a; adaptierte CIELAB-Daten

u^*_e	$L^*=L^*_a$	a^*_a	b^*_a	$C^*_{ab,a}$	$h^*_{ab,a}$	u^*_d
r00j	35.47	63.32	30.17	70.15	25	m81o
r25j	39.12	54.56	49.45	73.64	42	o10y
r50j	50.64	39.15	64.89	75.79	59	o40y
r75j	64.01	21.26	82.83	85.52	76	o69y
j00g	83.18	−4.38	108.53	108.62	92	o98y
j25g	66.73	−29.89	83.06	88.28	110	y34l
j50g	54.03	−48.31	63.49	79.78	127	y69l
j75g	44.73	−60.33	42.64	73.88	145	l03c
g00b	47.59	−49.08	15.74	51.54	162	l23c
g25b	49.97	−39.7	−6.72	40.27	190	l55c
g50b	51.85	−32.33	−24.35	40.48	217	l87c
g75b	46.92	−17.29	−36.02	39.96	244	c20v
b00r	37.91	1.28	−42.35	42.37	272	c53v
b25r	23.81	30.38	−52.26	60.45	300	c87v
b50r	29.52	69.06	−42.14	80.9	329	v68m
b75r	36.48	71.47	−3.69	71.57	357	m34o

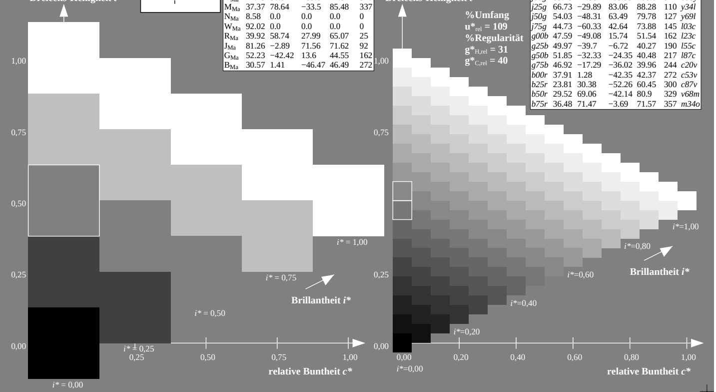

Ein und Ausgabe: Farbmetrisches Drucker-Reflektiv-System FRS09_92, L*=09_92 für relativen CIELAB-Buntton $h^* = lab^*h^* = h_{ab}/360 = 0.913$ $u^*_e = b50r$

Daten für jede Farbe: *lab*tch** und *lab*icu**
Bunttontexte: $u^*_e = b50r$ $u^*_d = v68m$
Kontrastreduzierungsfaktor: $c_R = 1.0$
Dreiecks-Helligkeit t^*

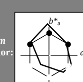

FRS09_92a; adaptierte CIELAB-Daten

u^*_e	$L^*=L^*_a$	a^*_a	b^*_a	$C^*_{ab,a}$	$h^*_{ab,a}$
O_{Ma}	35.06	60.0	44.0	74.4	36
Y_{Ma}	83.77	−5.17	109.32	109.44	93
L_{Ma}	44.13	−62.67	48.24	79.09	142
C_{Ma}	52.66	−29.14	−31.99	43.27	228
V_{Ma}	14.15	50.3	−59.04	77.57	310
M_{Ma}	37.37	78.64	−33.5	85.48	337
N_{Ma}	8.58	0.0	0.0	0.0	0
W_{Ma}	92.02	0.0	0.0	0.0	0
R_{Ma}	39.92	58.74	27.99	65.07	25
J_{Ma}	81.26	−2.89	71.56	71.62	92
G_{Ma}	52.23	−42.42	13.6	44.55	162
B_{Ma}	30.57	1.41	−46.47	46.49	272

Daten für Maximalfarbe (Ma):
*LAB*LAB**$_{Ma}$: 30 69 −42
*LAB*LCH**$_{Ma}$: 30 81 328
*lab*rgb**$_{Ma}$: 1.0 0.0 1.0
*lab*olv**$_{Ma}$: 0.69 0.0 1.0
Dreiecks-Helligkeit t^*

%Umfang $u^*_{rel} = 109$
%Regularität $g^*_{H,rel} = 31$ $g^*_{C,rel} = 40$

FRS09_92a; adaptierte CIELAB-Daten

u^*_e	$L^*=L^*_a$	a^*_a	b^*_a	$C^*_{ab,a}$	$h^*_{ab,a}$	u^*_d
r00j	35.47	63.32	30.17	70.15	25	m81o
r25j	39.12	54.56	49.45	73.64	42	o10y
r50j	50.64	39.15	64.89	75.79	59	o40y
r75j	64.01	21.26	82.83	85.52	76	o69y
j00g	83.18	−4.38	108.53	108.62	92	o98y
j25g	66.73	−29.89	83.06	88.28	110	y34l
j50g	54.03	−48.31	63.49	79.78	127	y69l
j75g	44.73	−60.33	42.64	73.88	145	l03c
g00b	47.59	−49.08	15.74	51.54	162	l23c
g25b	49.97	−39.7	−6.72	40.27	190	l55c
g50b	51.85	−32.33	−24.35	40.48	217	l87c
g75b	46.92	−17.29	−36.02	39.96	244	c20v
b00r	37.91	1.28	−42.35	42.37	272	c53v
b25r	23.81	30.38	−52.26	60.45	300	c87v
b50r	29.52	69.06	−42.14	80.9	329	v68m
b75r	36.48	71.47	−3.69	71.57	357	m34o

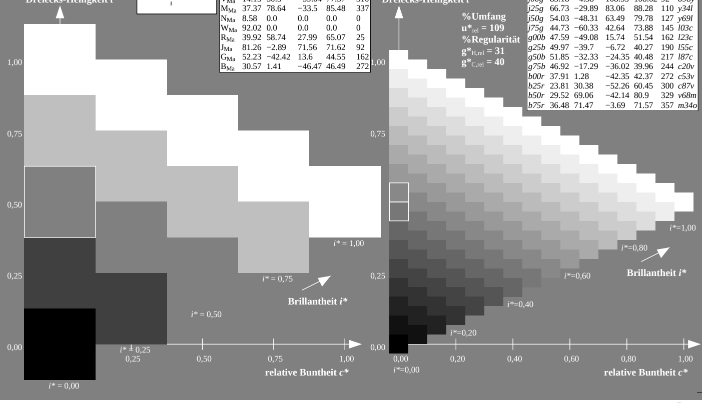

Ein und Ausgabe: Farbmetrisches Drucker-Reflektiv-System FRS09_92, L*=09_92 für relativen CIELAB-Buntton $h^* = lab^*h^* = h_{ab}/360 = 0.992$ $u^*_e = b75r$

Daten für jede Farbe: *lab*tch** und *lab*icu**
Bunttontexte: $u^*_e = b75r$ $u^*_d = m34o$
Kontrastreduzierungsfaktor: $c_R = 1.0$
Dreiecks-Helligkeit t^*

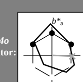

FRS09_92a; adaptierte CIELAB-Daten

u^*_e	$L^*=L^*_a$	a^*_a	b^*_a	$C^*_{ab,a}$	$h^*_{ab,a}$
O_{Ma}	35.06	60.0	44.0	74.4	36
Y_{Ma}	83.77	−5.17	109.32	109.44	93
L_{Ma}	44.13	−62.67	48.24	79.09	142
C_{Ma}	52.66	−29.14	−31.99	43.27	228
V_{Ma}	14.15	50.3	−59.04	77.57	310
M_{Ma}	37.37	78.64	−33.5	85.48	337
N_{Ma}	8.58	0.0	0.0	0.0	0
W_{Ma}	92.02	0.0	0.0	0.0	0
R_{Ma}	39.92	58.74	27.99	65.07	25
J_{Ma}	81.26	−2.89	71.56	71.62	92
G_{Ma}	52.23	−42.42	13.6	44.55	162
B_{Ma}	30.57	1.41	−46.47	46.49	272

Daten für Maximalfarbe (Ma):
*LAB*LAB**$_{Ma}$: 36 71 −4
*LAB*LCH**$_{Ma}$: 36 72 357
*lab*rgb**$_{Ma}$: 1.0 0.0 0.5
*lab*olv**$_{Ma}$: 1.0 0.0 0.66
Dreiecks-Helligkeit t^*

%Umfang $u^*_{rel} = 109$
%Regularität $g^*_{H,rel} = 31$ $g^*_{C,rel} = 40$

FRS09_92a; adaptierte CIELAB-Daten

u^*_e	$L^*=L^*_a$	a^*_a	b^*_a	$C^*_{ab,a}$	$h^*_{ab,a}$	u^*_d
r00j	35.47	63.32	30.17	70.15	25	m81o
r25j	39.12	54.56	49.45	73.64	42	o10y
r50j	50.64	39.15	64.89	75.79	59	o40y
r75j	64.01	21.26	82.83	85.52	76	o69y
j00g	83.18	−4.38	108.53	108.62	92	o98y
j25g	66.73	−29.89	83.06	88.28	110	y34l
j50g	54.03	−48.31	63.49	79.78	127	y69l
j75g	44.73	−60.33	42.64	73.88	145	l03c
g00b	47.59	−49.08	15.74	51.54	162	l23c
g25b	49.97	−39.7	−6.72	40.27	190	l55c
g50b	51.85	−32.33	−24.35	40.48	217	l87c
g75b	46.92	−17.29	−36.02	39.96	244	c20v
b00r	37.91	1.28	−42.35	42.37	272	c53v
b25r	23.81	30.38	−52.26	60.45	300	c87v
b50r	29.52	69.06	−42.14	80.9	329	v68m
b75r	36.48	71.47	−3.69	71.57	357	m34o

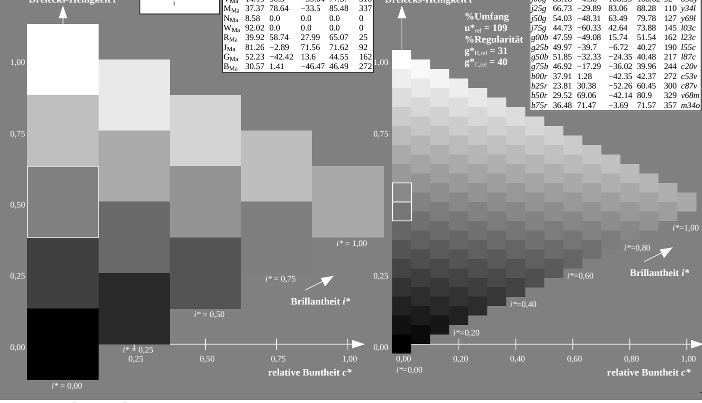

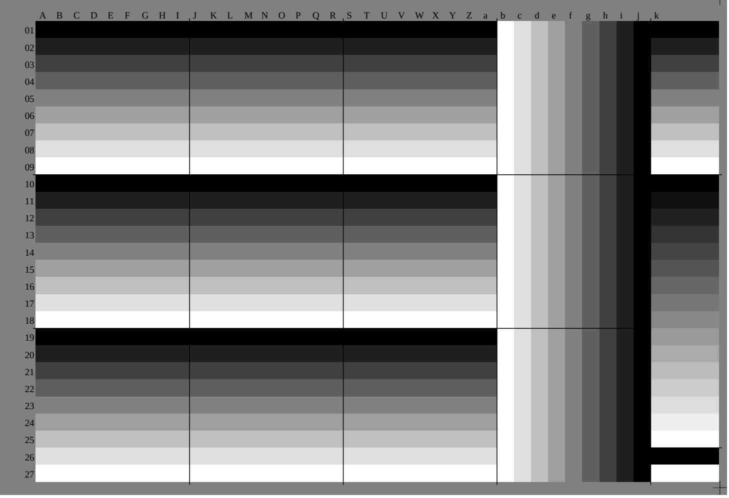

Ein und Ausgabe: Farbmetrisches Drucker-Reflektiv-System FRS09_92, L*=09_92 für relativen CIELAB-Buntton $h^* = lab^*h^* = R_{ab}/360 = 0.451$ $u^*_E = g00b$ $lab^*v^*h^*$

Daten für jede Farbe: $lab^*v^*h^*$ und $lab^*v^*u^*$

Buntton: $u^*_E = g00b$ $u^*_d = l23c$

Kontrastreduzierungsfaktor: $c_R = 1.0$

Daten für Maximalfarbe (Ma): $LAB^*LAB^*_{Ma}$: 48 −49 16 $LAB^*LCH^*_{Ma}$: 48 52 162 $lab^*rgb^*_{Ma}$: 0.0 1.0 0.0 $lab^*olv^*_{Ma}$: 0.0 1.0 0.23

Ein und Ausgabe: Farbmetrisches Drucker-Reflektiv-System FRS09_92, L*=09_92 für relativen CIELAB-Buntton $h^* = lab^*h^* = R_{ab}/360 = 0.527$ $u^*_E = g25b$ $lab^*v^*h^*$

Daten für jede Farbe: $lab^*v^*h^*$ und $lab^*v^*u^*$

Buntton: $u^*_E = g25b$ $u^*_d = l55c$

Kontrastreduzierungsfaktor: $c_R = 1.0$

Daten für Maximalfarbe (Ma): $LAB^*LAB^*_{Ma}$: 50 −40 −7 $LAB^*LCH^*_{Ma}$: 50 40 189 $lab^*rgb^*_{Ma}$: 0.0 1.0 0.5 $lab^*olv^*_{Ma}$: 0.0 1.0 0.55

Ein und Ausgabe: Farbmetrisches Drucker-Reflektiv-System FRS09_92, L*=09_92 für relativen CIELAB-Buntton $h^* = lab^*h^* = R_{ab}/360 = 0.603$ $u^*_E = g50b$ $lab^*v^*h^*$

Daten für jede Farbe: $lab^*v^*h^*$ und $lab^*v^*u^*$

Buntton: $u^*_E = g50b$ $u^*_d = l87c$

Kontrastreduzierungsfaktor: $c_R = 1.0$

Daten für Maximalfarbe (Ma): $LAB^*LAB^*_{Ma}$: 52 −32 −24 $LAB^*LCH^*_{Ma}$: 52 40 216 $lab^*rgb^*_{Ma}$: 0.0 1.0 1.0 $lab^*olv^*_{Ma}$: 0.0 1.0 0.87

Ein und Ausgabe: Farbmetrisches Drucker-Reflektiv-System FRS09_92, L*=09_92 für relativen CIELAB-Buntton $h^* = lab^*h^* = R_{ab}/360 = 0.679$ $u^*_E = g75b$ $lab^*v^*h^*$

Daten für jede Farbe: $lab^*v^*h^*$ und $lab^*v^*u^*$

Buntton: $u^*_E = g75b$ $u^*_d = c20v$

Kontrastreduzierungsfaktor: $c_R = 1.0$

Daten für Maximalfarbe (Ma): $LAB^*LAB^*_{Ma}$: 47 −17 −36 $LAB^*LCH^*_{Ma}$: 47 40 244 $lab^*rgb^*_{Ma}$: 0.0 0.5 1.0 $lab^*olv^*_{Ma}$: 0.0 0.8 1.0

Ein und Ausgabe: Farbmetrisches Drucker-Reflektiv-System FRS09_92, L*=09_92 für relativen CIELAB-Buntton $h^* = lab^*h^* = R_{ab}/360 = 0.755$ $u^*_E = b00r$ $lab^*v^*h^*$

Daten für jede Farbe: $lab^*v^*h^*$ und $lab^*v^*u^*$

Buntton: $u^*_E = b00r$ $u^*_d = c53v$

Kontrastreduzierungsfaktor: $c_R = 1.0$

Daten für Maximalfarbe (Ma): $LAB^*LAB^*_{Ma}$: 38 1 −42 $LAB^*LCH^*_{Ma}$: 38 42 271 $lab^*rgb^*_{Ma}$: 0.0 0.0 1.0 $lab^*olv^*_{Ma}$: 0.0 0.47 1.0

Ein und Ausgabe: Farbmetrisches Drucker-Reflektiv-System FRS09_92, L*=09_92 für relativen CIELAB-Buntton $h^* = lab^*h^* = R_{ab}/360 = 0.834$ $u^*_E = b25r$ $lab^*v^*h^*$

Daten für jede Farbe: $lab^*v^*h^*$ und $lab^*v^*u^*$

Buntton: $u^*_E = b25r$ $u^*_d = c87v$

Kontrastreduzierungsfaktor: $c_R = 1.0$

Daten für Maximalfarbe (Ma): $LAB^*LAB^*_{Ma}$: 24 30 −52 $LAB^*LCH^*_{Ma}$: 24 60 300 $lab^*rgb^*_{Ma}$: 0.5 0.0 1.0 $lab^*olv^*_{Ma}$: 0.0 0.12 1.0

Ein und Ausgabe: Farbmetrisches Drucker-Reflektiv-System FRS09_92, L*=09_92 für relativen CIELAB-Buntton $h^* = lab^*h^* = R_{ab}/360 = 0.913$ $u^*_E = b50r$ $lab^*v^*h^*$

Daten für jede Farbe: $lab^*v^*h^*$ und $lab^*v^*u^*$

Buntton: $u^*_E = b50r$ $u^*_d = v68m$

Kontrastreduzierungsfaktor: $c_R = 1.0$

Daten für Maximalfarbe (Ma): $LAB^*LAB^*_{Ma}$: 30 69 −42 $LAB^*LCH^*_{Ma}$: 30 81 328 $lab^*rgb^*_{Ma}$: 1.0 0.0 1.0 $lab^*olv^*_{Ma}$: 0.69 0.0 1.0

Ein und Ausgabe: Farbmetrisches Drucker-Reflektiv-System FRS09_92, L*=09_92 für relativen CIELAB-Buntton $h^* = lab^*h^* = R_{ab}/360 = 0.992$ $u^*_E = b75r$ $lab^*v^*h^*$

Daten für jede Farbe: $lab^*v^*h^*$ und $lab^*v^*u^*$

Buntton: $u^*_E = b75r$ $u^*_d = m34o$

Kontrastreduzierungsfaktor: $c_R = 1.0$

Daten für Maximalfarbe (Ma): $LAB^*LAB^*_{Ma}$: 36 71 −4 $LAB^*LCH^*_{Ma}$: 36 72 357 $lab^*rgb^*_{Ma}$: 1.0 0.0 0.5 $lab^*olv^*_{Ma}$: 1.0 0.0 0.66

Ein und Ausgabe: Farbmetrisches Drucker-Reflektiv-System FRS09_92, L*=09_92 für relativen CIELAB-Buntton $h^* = lab^*h^* = R_{ab}/360 = 0.451$ $u^*_e = g00b$ lab^*rgb^*

Daten für jede Farbe: $lab^*c^*h^*$ und lab^*icu^*

Buntton texte: $u^*_e = g00b$ $u^*_d = l23c$

Kontrastreduzierungsfaktor: $c_R = 1.0$

Daten für Maximalfarbe (Ma): $LAB^*LAB^*_{Ma}$: 48 −49 16; $LAB^*LCH^*_{Ma}$: 48 52 162; $lab^*rgb^*_{Ma}$: 0.0 1.0 0.0; $lab^*olv^*_{Ma}$: 0.0 1.0 0.23

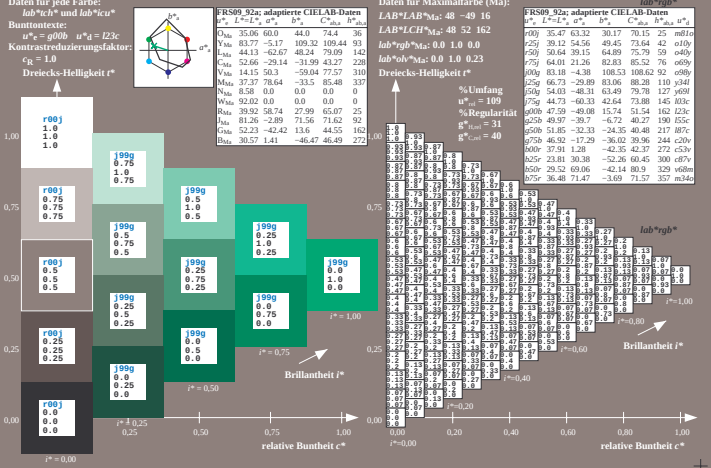

Ein und Ausgabe: Farbmetrisches Drucker-Reflektiv-System FRS09_92, L*=09_92 für relativen CIELAB-Buntton $h^* = lab^*h^* = R_{ab}/360 = 0.527$ $u^*_e = g25b$ lab^*rgb^*

Daten für jede Farbe: $lab^*c^*h^*$ und lab^*icu^*

Buntton texte: $u^*_e = g25b$ $u^*_d = l55c$

Kontrastreduzierungsfaktor: $c_R = 1.0$

Daten für Maximalfarbe (Ma): $LAB^*LAB^*_{Ma}$: 50 −40 −7; $LAB^*LCH^*_{Ma}$: 50 40 189; $lab^*rgb^*_{Ma}$: 0.0 1.0 0.5; $lab^*olv^*_{Ma}$: 0.0 1.0 0.55

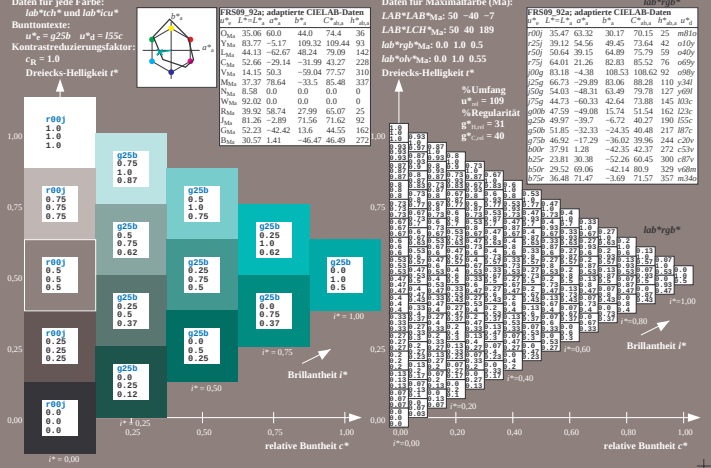

Ein und Ausgabe: Farbmetrisches Drucker-Reflektiv-System FRS09_92, L*=09_92 für relativen CIELAB-Buntton $h^* = lab^*h^* = R_{ab}/360 = 0.603$ $u^*_e = g50b$ lab^*rgb^*

Daten für jede Farbe: $lab^*c^*h^*$ und lab^*icu^*

Buntton texte: $u^*_e = g50b$ $u^*_d = l87c$

Kontrastreduzierungsfaktor: $c_R = 1.0$

Daten für Maximalfarbe (Ma): $LAB^*LAB^*_{Ma}$: 52 −32 −24; $LAB^*LCH^*_{Ma}$: 52 40 216; $lab^*rgb^*_{Ma}$: 0.0 1.0 1.0; $lab^*olv^*_{Ma}$: 0.0 1.0 0.87

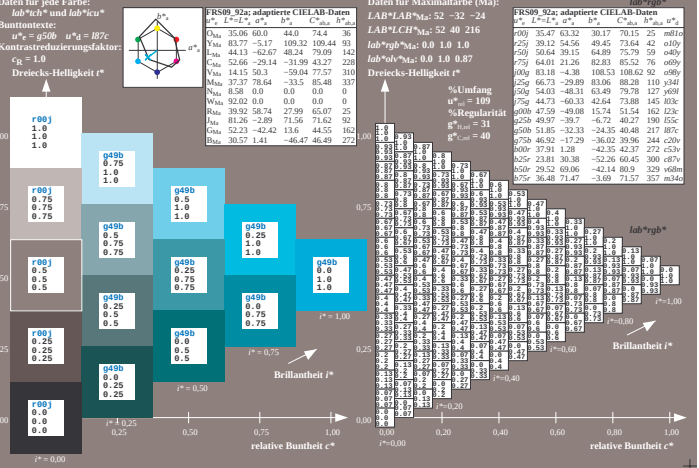

Ein und Ausgabe: Farbmetrisches Drucker-Reflektiv-System FRS09_92, L*=09_92 für relativen CIELAB-Buntton $h^* = lab^*h^* = R_{ab}/360 = 0.679$ $u^*_e = g75b$ lab^*rgb^*

Daten für jede Farbe: $lab^*c^*h^*$ und lab^*icu^*

Buntton texte: $u^*_e = g75b$ $u^*_d = c20v$

Kontrastreduzierungsfaktor: $c_R = 1.0$

Daten für Maximalfarbe (Ma): $LAB^*LAB^*_{Ma}$: 47 −17 −36; $LAB^*LCH^*_{Ma}$: 47 40 244; $lab^*rgb^*_{Ma}$: 0.0 0.5 1.0; $lab^*olv^*_{Ma}$: 0.0 0.8 1.0

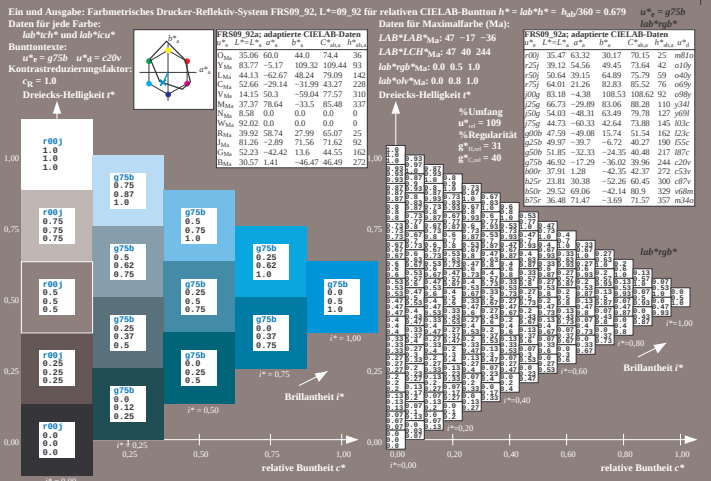

Ein und Ausgabe: Farbmetrisches Drucker-Reflektiv-System FRS09_92, L*=09_92 für relativen CIELAB-Buntton $h^* = lab^*h^* = R_{ab}/360 = 0.755$ $u^*_e = b00r$ lab^*rgb^*

Daten für jede Farbe: $lab^*c^*h^*$ und lab^*icu^*

Buntton texte: $u^*_e = b00r$ $u^*_d = c53v$

Kontrastreduzierungsfaktor: $c_R = 1.0$

Daten für Maximalfarbe (Ma): $LAB^*LAB^*_{Ma}$: 38 1 −42; $LAB^*LCH^*_{Ma}$: 38 42 271; $lab^*rgb^*_{Ma}$: 0.0 0.0 1.0; $lab^*olv^*_{Ma}$: 0.0 0.47 1.0

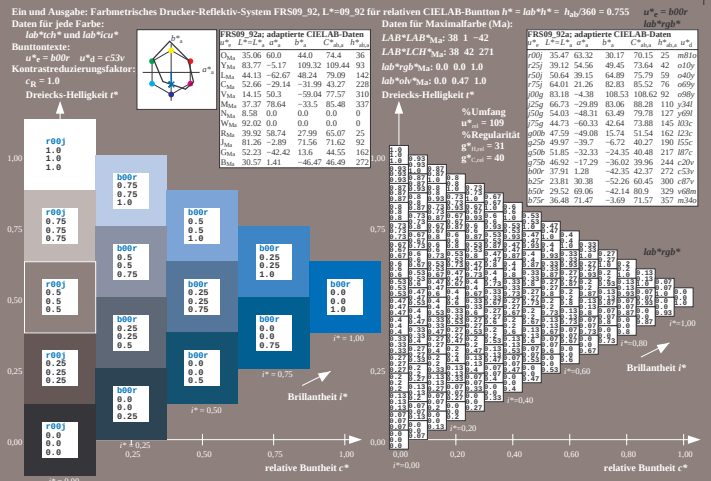

Ein und Ausgabe: Farbmetrisches Drucker-Reflektiv-System FRS09_92, L*=09_92 für relativen CIELAB-Buntton $h^* = lab^*h^* = R_{ab}/360 = 0.834$ $u^*_e = b25r$ lab^*rgb^*

Daten für jede Farbe: $lab^*c^*h^*$ und lab^*icu^*

Buntton texte: $u^*_e = b25r$ $u^*_d = c87v$

Kontrastreduzierungsfaktor: $c_R = 1.0$

Daten für Maximalfarbe (Ma): $LAB^*LAB^*_{Ma}$: 24 30 −52; $LAB^*LCH^*_{Ma}$: 24 60 300; $lab^*rgb^*_{Ma}$: 0.5 0.0 1.0; $lab^*olv^*_{Ma}$: 0.0 0.12 1.0

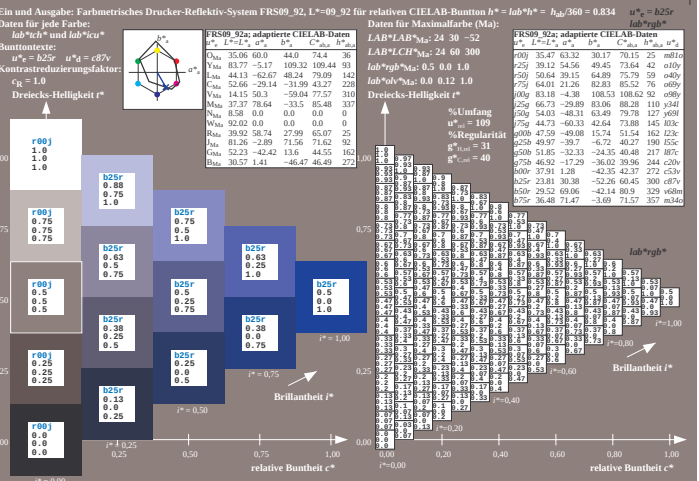

Ein und Ausgabe: Farbmetrisches Drucker-Reflektiv-System FRS09_92, L*=09_92 für relativen CIELAB-Buntton $h^* = lab^*h^* = R_{ab}/360 = 0.913$ $u^*_e = b50r$ lab^*rgb^*

Daten für jede Farbe: $lab^*c^*h^*$ und lab^*icu^*

Buntton texte: $u^*_e = b50r$ $u^*_d = v68m$

Kontrastreduzierungsfaktor: $c_R = 1.0$

Daten für Maximalfarbe (Ma): $LAB^*LAB^*_{Ma}$: 30 69 −42; $LAB^*LCH^*_{Ma}$: 30 81 328; $lab^*rgb^*_{Ma}$: 1.0 0.0 1.0; $lab^*olv^*_{Ma}$: 0.69 0.0 1.0

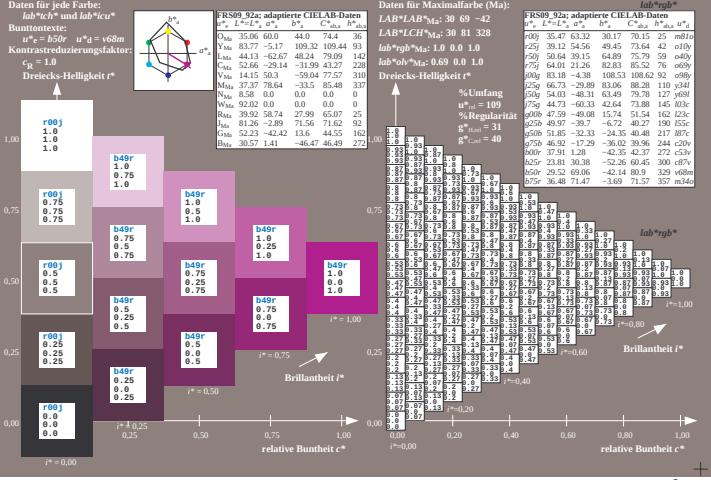

Ein und Ausgabe: Farbmetrisches Drucker-Reflektiv-System FRS09_92, L*=09_92 für relativen CIELAB-Buntton $h^* = lab^*h^* = R_{ab}/360 = 0.992$ $u^*_e = b75r$ lab^*rgb^*

Daten für jede Farbe: $lab^*c^*h^*$ und lab^*icu^*

Buntton texte: $u^*_e = b75r$ $u^*_d = m34o$

Kontrastreduzierungsfaktor: $c_R = 1.0$

Daten für Maximalfarbe (Ma): $LAB^*LAB^*_{Ma}$: 36 71 −4; $LAB^*LCH^*_{Ma}$: 36 72 357; $lab^*rgb^*_{Ma}$: 1.0 0.0 0.5; $lab^*olv^*_{Ma}$: 1.0 0.0 0.66

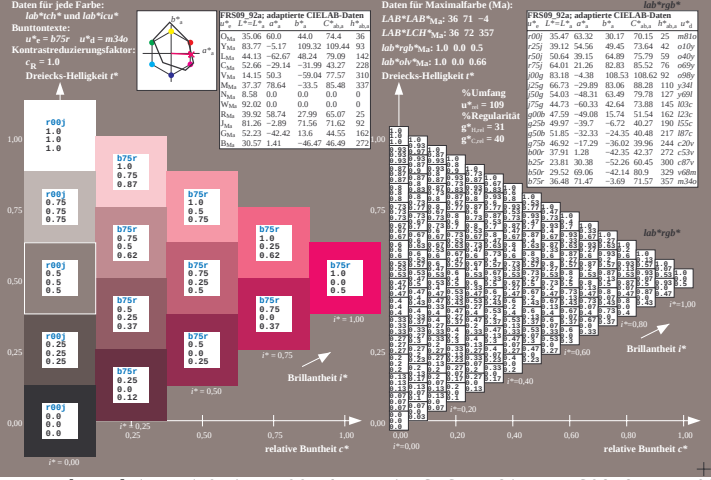

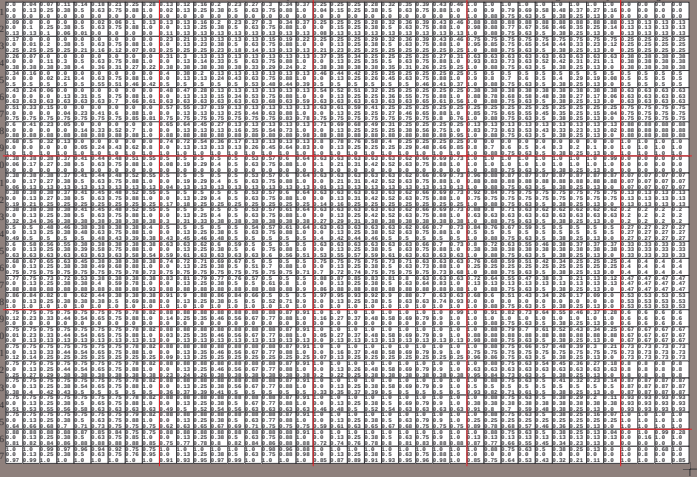

Ein und Ausgabe: Farbmetrisches Drucker-Reflektiv-System FRS09_92, L*=09_92 für relativen CIELAB-Buntton $h^* = lab^*h^* = h_{ab}/360 = 0.451$ $u^*_e = g00b$

*LAB*LAB*a*

Daten für jede Farbe: *lab*tch** und *lab*icu**
Bunttontexte: $u^*_e = g00b$ $u^*_d = l23c$
Kontrastreduzierungsfaktor: $c_R = 1.0$
Dreiecks-Helligkeit t^*

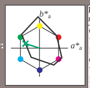

FRS09_92a; adaptierte CIELAB-Daten					
u^*_e	$L^*=L^*_a$	a^*_a	b^*_a	$C^*_{ab,a}$	$h^*_{ab,a}$
O_{Ma}	35.06 60.0	44.0	74.4	36	
Y_{Ma}	83.77 −5.17	109.32	109.44	93	
L_{Ma}	44.13 −62.67	48.24	79.09	142	
C_{Ma}	52.66 −29.14	−31.99	43.27	228	
V_{Ma}	14.15 50.3	−59.04	77.57	310	
M_{Ma}	37.37 78.64	−33.5	85.48	337	
N_{Ma}	8.58 0.0	0.0	0.0	0	
W_{Ma}	92.02 0.0	0.0	0.0	0	
R_{Ma}	39.92 58.74	27.99	65.07	25	
J_{Ma}	81.26 −2.89	71.56	71.62	92	
G_{Ma}	52.23 −42.42	13.6	44.55	162	
B_{Ma}	30.57 1.41	−46.47	46.49	272	

Daten für Maximalfarbe (Ma):
$LAB^*LAB^*_{Ma}$: 48 −49 16
$LAB^*LCH^*_{Ma}$: 48 52 162
$lab^*rgb^*_{Ma}$: 0.0 1.0 0.0
$lab^*olv^*_{Ma}$: 0.0 1.0 0.23
Dreiecks-Helligkeit t^*

%Umfang $u^*_{rel} = 109$
%Regularität $g^*_{H,rel} = 31$ $g^*_{C,rel} = 40$

FRS09_92a; adaptierte CIELAB-Daten						
u^*_e	$L^*=L^*_a$	a^*_a	b^*_a	$C^*_{ab,a}$	$h^*_{ab,a}$	u^*_d
r00j	35.47	63.32	30.17	70.15	25	m81o
r25j	39.12	54.56	49.45	73.64	42	o10y
r50j	50.64	39.15	64.89	75.79	59	o40y
r75j	64.01	21.26	82.83	85.52	76	o69y
j00g	83.18	−4.38	108.53	108.62	92	o98y
j25g	66.73	−29.89	83.06	88.28	110	y34l
j50g	54.03	−48.31	63.49	79.78	127	y69l
j75g	44.73	−60.33	42.64	73.88	145	l03c
g00b	47.59	−49.08	15.74	51.54	162	l23c
g25b	49.97	−39.7	−6.72	40.27	190	l55c
g50b	51.85	−32.33	−24.35	40.48	217	l87c
g75b	46.92	−17.29	−36.02	39.96	244	c20v
b00r	37.91	1.28	−42.35	42.37	272	c53v
b25r	23.81	30.38	−52.26	60.45	300	c87v
b50r	29.52	69.06	−42.14	80.9	329	v68m
b75r	36.48	71.47	−3.69	71.57	357	m34o

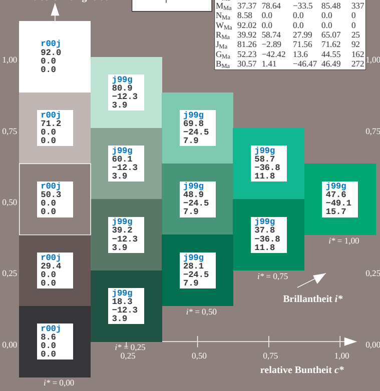

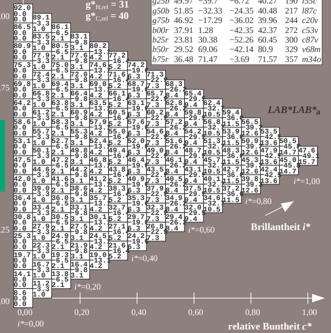

Ein und Ausgabe: Farbmetrisches Drucker-Reflektiv-System FRS09_92, L*=09_92 für relativen CIELAB-Buntton $h^* = lab^*h^* = h_{ab}/360 = 0.527$ $u^*_e = g25b$

*LAB*LAB*a*

Daten für jede Farbe: *lab*tch** und *lab*icu**
Bunttontexte: $u^*_e = g25b$ $u^*_d = l55c$
Kontrastreduzierungsfaktor: $c_R = 1.0$
Dreiecks-Helligkeit t^*

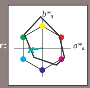

FRS09_92a; adaptierte CIELAB-Daten					
u^*_e	$L^*=L^*_a$	a^*_a	b^*_a	$C^*_{ab,a}$	$h^*_{ab,a}$
O_{Ma}	35.06 60.0	44.0	74.4	36	
Y_{Ma}	83.77 −5.17	109.32	109.44	93	
L_{Ma}	44.13 −62.67	48.24	79.09	142	
C_{Ma}	52.66 −29.14	−31.99	43.27	228	
V_{Ma}	14.15 50.3	−59.04	77.57	310	
M_{Ma}	37.37 78.64	−33.5	85.48	337	
N_{Ma}	8.58 0.0	0.0	0.0	0	
W_{Ma}	92.02 0.0	0.0	0.0	0	
R_{Ma}	39.92 58.74	27.99	65.07	25	
J_{Ma}	81.26 −2.89	71.56	71.62	92	
G_{Ma}	52.23 −42.42	13.6	44.55	162	
B_{Ma}	30.57 1.41	−46.47	46.49	272	

Daten für Maximalfarbe (Ma):
$LAB^*LAB^*_{Ma}$: 50 −40 −7
$LAB^*LCH^*_{Ma}$: 50 40 189
$lab^*rgb^*_{Ma}$: 0.0 1.0 0.5
$lab^*olv^*_{Ma}$: 0.0 1.0 0.55
Dreiecks-Helligkeit t^*

%Umfang $u^*_{rel} = 109$
%Regularität $g^*_{H,rel} = 31$ $g^*_{C,rel} = 40$

FRS09_92a; adaptierte CIELAB-Daten						
u^*_e	$L^*=L^*_a$	a^*_a	b^*_a	$C^*_{ab,a}$	$h^*_{ab,a}$	u^*_d
r00j	35.47	63.32	30.17	70.15	25	m81o
r25j	39.12	54.56	49.45	73.64	42	o10y
r50j	50.64	39.15	64.89	75.79	59	o40y
r75j	64.01	21.26	82.83	85.52	76	o69y
j00g	83.18	−4.38	108.53	108.62	92	o98y
j25g	66.73	−29.89	83.06	88.28	110	y34l
j50g	54.03	−48.31	63.49	79.78	127	y69l
j75g	44.73	−60.33	42.64	73.88	145	l03c
g00b	47.59	−49.08	15.74	51.54	162	l23c
g25b	49.97	−39.7	−6.72	40.27	190	l55c
g50b	51.85	−32.33	−24.35	40.48	217	l87c
g75b	46.92	−17.29	−36.02	39.96	244	c20v
b00r	37.91	1.28	−42.35	42.37	272	c53v
b25r	23.81	30.38	−52.26	60.45	300	c87v
b50r	29.52	69.06	−42.14	80.9	329	v68m
b75r	36.48	71.47	−3.69	71.57	357	m34o

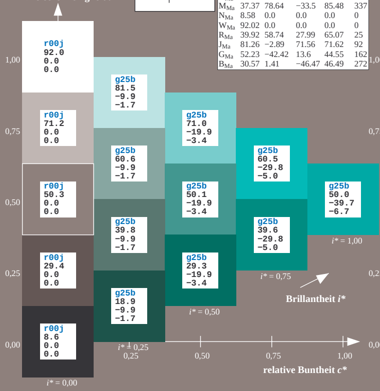

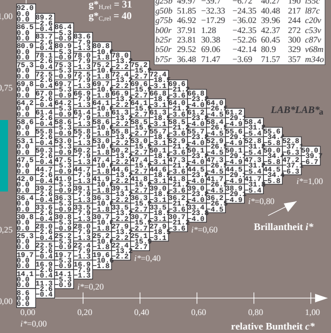

Ein und Ausgabe: Farbmetrisches Drucker-Reflektiv-System FRS09_92, L*=09_92 für relativen CIELAB-Buntton $h^* = lab^*h^* = h_{ab}/360 = 0.603$ $u^*_e = g50b$

*LAB*LAB*a*

Daten für jede Farbe: *lab*tch** und *lab*icu**
Bunttontexte: $u^*_e = g50b$ $u^*_d = l87c$
Kontrastreduzierungsfaktor: $c_R = 1.0$
Dreiecks-Helligkeit t^*

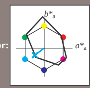

FRS09_92a; adaptierte CIELAB-Daten					
u^*_e	$L^*=L^*_a$	a^*_a	b^*_a	$C^*_{ab,a}$	$h^*_{ab,a}$
O_{Ma}	35.06 60.0	44.0	74.4	36	
Y_{Ma}	83.77 −5.17	109.32	109.44	93	
L_{Ma}	44.13 −62.67	48.24	79.09	142	
C_{Ma}	52.66 −29.14	−31.99	43.27	228	
V_{Ma}	14.15 50.3	−59.04	77.57	310	
M_{Ma}	37.37 78.64	−33.5	85.48	337	
N_{Ma}	8.58 0.0	0.0	0.0	0	
W_{Ma}	92.02 0.0	0.0	0.0	0	
R_{Ma}	39.92 58.74	27.99	65.07	25	
J_{Ma}	81.26 −2.89	71.56	71.62	92	
G_{Ma}	52.23 −42.42	13.6	44.55	162	
B_{Ma}	30.57 1.41	−46.47	46.49	272	

Daten für Maximalfarbe (Ma):
$LAB^*LAB^*_{Ma}$: 52 −32 −24
$LAB^*LCH^*_{Ma}$: 52 40 216
$lab^*rgb^*_{Ma}$: 0.0 1.0 1.0
$lab^*olv^*_{Ma}$: 0.0 1.0 0.87
Dreiecks-Helligkeit t^*

%Umfang $u^*_{rel} = 109$
%Regularität $g^*_{H,rel} = 31$ $g^*_{C,rel} = 40$

FRS09_92a; adaptierte CIELAB-Daten						
u^*_e	$L^*=L^*_a$	a^*_a	b^*_a	$C^*_{ab,a}$	$h^*_{ab,a}$	u^*_d
r00j	35.47	63.32	30.17	70.15	25	m81o
r25j	39.12	54.56	49.45	73.64	42	o10y
r50j	50.64	39.15	64.89	75.79	59	o40y
r75j	64.01	21.26	82.83	85.52	76	o69y
j00g	83.18	−4.38	108.53	108.62	92	o98y
j25g	66.73	−29.89	83.06	88.28	110	y34l
j50g	54.03	−48.31	63.49	79.78	127	y69l
j75g	44.73	−60.33	42.64	73.88	145	l03c
g00b	47.59	−49.08	15.74	51.54	162	l23c
g25b	49.97	−39.7	−6.72	40.27	190	l55c
g50b	51.85	−32.33	−24.35	40.48	217	l87c
g75b	46.92	−17.29	−36.02	39.96	244	c20v
b00r	37.91	1.28	−42.35	42.37	272	c53v
b25r	23.81	30.38	−52.26	60.45	300	c87v
b50r	29.52	69.06	−42.14	80.9	329	v68m
b75r	36.48	71.47	−3.69	71.57	357	m34o

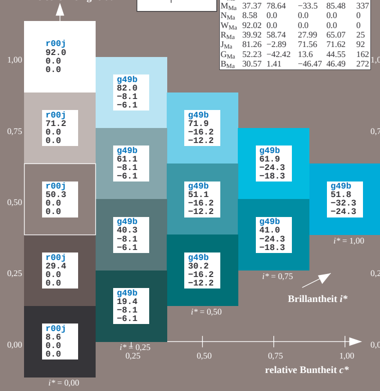

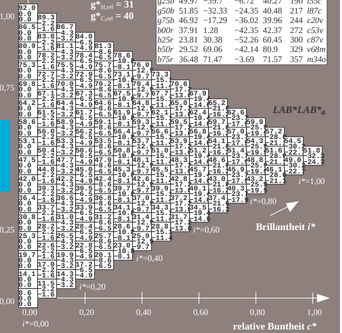

Ein und Ausgabe: Farbmetrisches Drucker-Reflektiv-System FRS09_92, L*=09_92 für relativen CIELAB-Buntton $h^* = lab^*h^* = h_{ab}/360 = 0.679$ $u^*_e = g75b$

*LAB*LAB*a*

Daten für jede Farbe: *lab*tch** und *lab*icu**
Bunttontexte: $u^*_e = g75b$ $u^*_d = c20v$
Kontrastreduzierungsfaktor: $c_R = 1.0$
Dreiecks-Helligkeit t^*

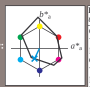

FRS09_92a; adaptierte CIELAB-Daten					
u^*_e	$L^*=L^*_a$	a^*_a	b^*_a	$C^*_{ab,a}$	$h^*_{ab,a}$
O_{Ma}	35.06 60.0	44.0	74.4	36	
Y_{Ma}	83.77 −5.17	109.32	109.44	93	
L_{Ma}	44.13 −62.67	48.24	79.09	142	
C_{Ma}	52.66 −29.14	−31.99	43.27	228	
V_{Ma}	14.15 50.3	−59.04	77.57	310	
M_{Ma}	37.37 78.64	−33.5	85.48	337	
N_{Ma}	8.58 0.0	0.0	0.0	0	
W_{Ma}	92.02 0.0	0.0	0.0	0	
R_{Ma}	39.92 58.74	27.99	65.07	25	
J_{Ma}	81.26 −2.89	71.56	71.62	92	
G_{Ma}	52.23 −42.42	13.6	44.55	162	
B_{Ma}	30.57 1.41	−46.47	46.49	272	

Daten für Maximalfarbe (Ma):
$LAB^*LAB^*_{Ma}$: 47 −17 −36
$LAB^*LCH^*_{Ma}$: 47 40 244
$lab^*rgb^*_{Ma}$: 0.0 0.5 1.0
$lab^*olv^*_{Ma}$: 0.0 0.8 1.0
Dreiecks-Helligkeit t^*

%Umfang $u^*_{rel} = 109$
%Regularität $g^*_{H,rel} = 31$ $g^*_{C,rel} = 40$

FRS09_92a; adaptierte CIELAB-Daten						
u^*_e	$L^*=L^*_a$	a^*_a	b^*_a	$C^*_{ab,a}$	$h^*_{ab,a}$	u^*_d
r00j	35.47	63.32	30.17	70.15	25	m81o
r25j	39.12	54.56	49.45	73.64	42	o10y
r50j	50.64	39.15	64.89	75.79	59	o40y
r75j	64.01	21.26	82.83	85.52	76	o69y
j00g	83.18	−4.38	108.53	108.62	92	o98y
j25g	66.73	−29.89	83.06	88.28	110	y34l
j50g	54.03	−48.31	63.49	79.78	127	y69l
j75g	44.73	−60.33	42.64	73.88	145	l03c
g00b	47.59	−49.08	15.74	51.54	162	l23c
g25b	49.97	−39.7	−6.72	40.27	190	l55c
g50b	51.85	−32.33	−24.35	40.48	217	l87c
g75b	46.92	−17.29	−36.02	39.96	244	c20v
b00r	37.91	1.28	−42.35	42.37	272	c53v
b25r	23.81	30.38	−52.26	60.45	300	c87v
b50r	29.52	69.06	−42.14	80.9	329	v68m
b75r	36.48	71.47	−3.69	71.57	357	m34o

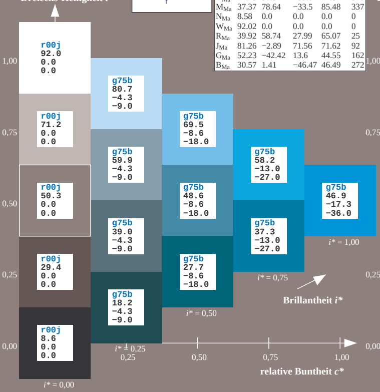

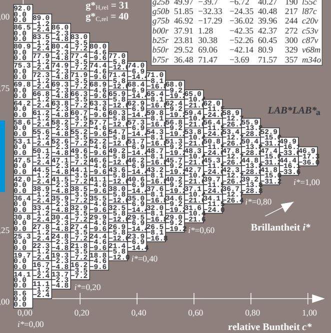

Ein und Ausgabe: Farbmetrisches Drucker-Reflektiv-System FRS09_92, L*=09_92 für relativen CIELAB-Buntton $h^* = lab^*h^* = h_{ab}/360 = 0.755$ $u^*_e = b00r$

*LAB*LAB*a*

Daten für jede Farbe: *lab*tch** und *lab*icu**
Bunttontexte: $u^*_e = b00r$ $u^*_d = c53v$
Kontrastreduzierungsfaktor: $c_R = 1.0$
Dreiecks-Helligkeit t^*

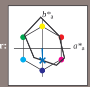

FRS09_92a; adaptierte CIELAB-Daten					
u^*_e	$L^*=L^*_a$	a^*_a	b^*_a	$C^*_{ab,a}$	$h^*_{ab,a}$
O_{Ma}	35.06 60.0	44.0	74.4	36	
Y_{Ma}	83.77 −5.17	109.32	109.44	93	
L_{Ma}	44.13 −62.67	48.24	79.09	142	
C_{Ma}	52.66 −29.14	−31.99	43.27	228	
V_{Ma}	14.15 50.3	−59.04	77.57	310	
M_{Ma}	37.37 78.64	−33.5	85.48	337	
N_{Ma}	8.58 0.0	0.0	0.0	0	
W_{Ma}	92.02 0.0	0.0	0.0	0	
R_{Ma}	39.92 58.74	27.99	65.07	25	
J_{Ma}	81.26 −2.89	71.56	71.62	92	
G_{Ma}	52.23 −42.42	13.6	44.55	162	
B_{Ma}	30.57 1.41	−46.47	46.49	272	

Daten für Maximalfarbe (Ma):
$LAB^*LAB^*_{Ma}$: 38 1 −42
$LAB^*LCH^*_{Ma}$: 38 42 271
$lab^*rgb^*_{Ma}$: 0.0 0.0 1.0
$lab^*olv^*_{Ma}$: 0.0 0.47 1.0
Dreiecks-Helligkeit t^*

%Umfang $u^*_{rel} = 109$
%Regularität $g^*_{H,rel} = 31$ $g^*_{C,rel} = 40$

FRS09_92a; adaptierte CIELAB-Daten						
u^*_e	$L^*=L^*_a$	a^*_a	b^*_a	$C^*_{ab,a}$	$h^*_{ab,a}$	u^*_d
r00j	35.47	63.32	30.17	70.15	25	m81o
r25j	39.12	54.56	49.45	73.64	42	o10y
r50j	50.64	39.15	64.89	75.79	59	o40y
r75j	64.01	21.26	82.83	85.52	76	o69y
j00g	83.18	−4.38	108.53	108.62	92	o98y
j25g	66.73	−29.89	83.06	88.28	110	y34l
j50g	54.03	−48.31	63.49	79.78	127	y69l
j75g	44.73	−60.33	42.64	73.88	145	l03c
g00b	47.59	−49.08	15.74	51.54	162	l23c
g25b	49.97	−39.7	−6.72	40.27	190	l55c
g50b	51.85	−32.33	−24.35	40.48	217	l87c
g75b	46.92	−17.29	−36.02	39.96	244	c20v
b00r	37.91	1.28	−42.35	42.37	272	c53v
b25r	23.81	30.38	−52.26	60.45	300	c87v
b50r	29.52	69.06	−42.14	80.9	329	v68m
b75r	36.48	71.47	−3.69	71.57	357	m34o

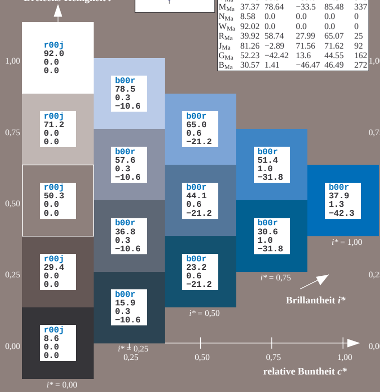

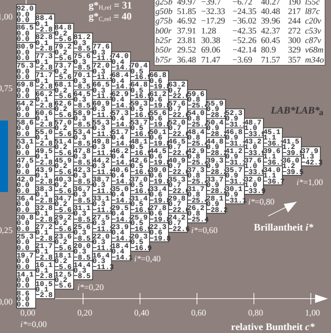

Ein und Ausgabe: Farbmetrisches Drucker-Reflektiv-System FRS09_92, L*=09_92 für relativen CIELAB-Buntton $h^* = lab^*h^* = h_{ab}/360 = 0.834$ $u^*_e = b25r$

*LAB*LAB*a*

Daten für jede Farbe: *lab*tch** und *lab*icu**
Bunttontexte: $u^*_e = b25r$ $u^*_d = c87v$
Kontrastreduzierungsfaktor: $c_R = 1.0$
Dreiecks-Helligkeit t^*

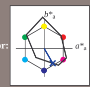

FRS09_92a; adaptierte CIELAB-Daten					
u^*_e	$L^*=L^*_a$	a^*_a	b^*_a	$C^*_{ab,a}$	$h^*_{ab,a}$
O_{Ma}	35.06 60.0	44.0	74.4	36	
Y_{Ma}	83.77 −5.17	109.32	109.44	93	
L_{Ma}	44.13 −62.67	48.24	79.09	142	
C_{Ma}	52.66 −29.14	−31.99	43.27	228	
V_{Ma}	14.15 50.3	−59.04	77.57	310	
M_{Ma}	37.37 78.64	−33.5	85.48	337	
N_{Ma}	8.58 0.0	0.0	0.0	0	
W_{Ma}	92.02 0.0	0.0	0.0	0	
R_{Ma}	39.92 58.74	27.99	65.07	25	
J_{Ma}	81.26 −2.89	71.56	71.62	92	
G_{Ma}	52.23 −42.42	13.6	44.55	162	
B_{Ma}	30.57 1.41	−46.47	46.49	272	

Daten für Maximalfarbe (Ma):
$LAB^*LAB^*_{Ma}$: 24 30 −52
$LAB^*LCH^*_{Ma}$: 24 60 300
$lab^*rgb^*_{Ma}$: 0.5 0.0 1.0
$lab^*olv^*_{Ma}$: 0.0 0.12 1.0
Dreiecks-Helligkeit t^*

%Umfang $u^*_{rel} = 109$
%Regularität $g^*_{H,rel} = 31$ $g^*_{C,rel} = 40$

FRS09_92a; adaptierte CIELAB-Daten						
u^*_e	$L^*=L^*_a$	a^*_a	b^*_a	$C^*_{ab,a}$	$h^*_{ab,a}$	u^*_d
r00j	35.47	63.32	30.17	70.15	25	m81o
r25j	39.12	54.56	49.45	73.64	42	o10y
r50j	50.64	39.15	64.89	75.79	59	o40y
r75j	64.01	21.26	82.83	85.52	76	o69y
j00g	83.18	−4.38	108.53	108.62	92	o98y
j25g	66.73	−29.89	83.06	88.28	110	y34l
j50g	54.03	−48.31	63.49	79.78	127	y69l
j75g	44.73	−60.33	42.64	73.88	145	l03c
g00b	47.59	−49.08	15.74	51.54	162	l23c
g25b	49.97	−39.7	−6.72	40.27	190	l55c
g50b	51.85	−32.33	−24.35	40.48	217	l87c
g75b	46.92	−17.29	−36.02	39.96	244	c20v
b00r	37.91	1.28	−42.35	42.37	272	c53v
b25r	23.81	30.38	−52.26	60.45	300	c87v
b50r	29.52	69.06	−42.14	80.9	329	v68m
b75r	36.48	71.47	−3.69	71.57	357	m34o

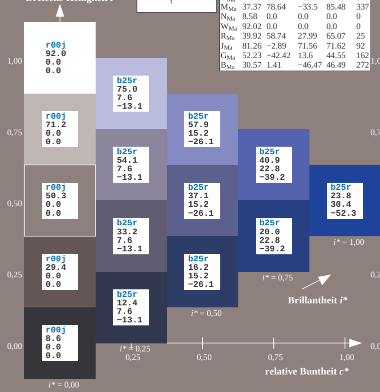

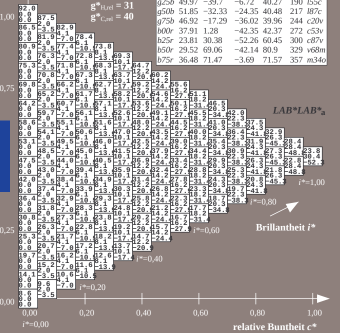

Ein und Ausgabe: Farbmetrisches Drucker-Reflektiv-System FRS09_92, L*=09_92 für relativen CIELAB-Buntton $h^* = lab^*h^* = h_{ab}/360 = 0.913$ $u^*_e = b50r$

*LAB*LAB*a*

Daten für jede Farbe: *lab*tch** und *lab*icu**
Bunttontexte: $u^*_e = b50r$ $u^*_d = v68m$
Kontrastreduzierungsfaktor: $c_R = 1.0$
Dreiecks-Helligkeit t^*

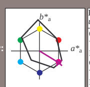

FRS09_92a; adaptierte CIELAB-Daten					
u^*_e	$L^*=L^*_a$	a^*_a	b^*_a	$C^*_{ab,a}$	$h^*_{ab,a}$
O_{Ma}	35.06 60.0	44.0	74.4	36	
Y_{Ma}	83.77 −5.17	109.32	109.44	93	
L_{Ma}	44.13 −62.67	48.24	79.09	142	
C_{Ma}	52.66 −29.14	−31.99	43.27	228	
V_{Ma}	14.15 50.3	−59.04	77.57	310	
M_{Ma}	37.37 78.64	−33.5	85.48	337	
N_{Ma}	8.58 0.0	0.0	0.0	0	
W_{Ma}	92.02 0.0	0.0	0.0	0	
R_{Ma}	39.92 58.74	27.99	65.07	25	
J_{Ma}	81.26 −2.89	71.56	71.62	92	
G_{Ma}	52.23 −42.42	13.6	44.55	162	
B_{Ma}	30.57 1.41	−46.47	46.49	272	

Daten für Maximalfarbe (Ma):
$LAB^*LAB^*_{Ma}$: 30 69 −42
$LAB^*LCH^*_{Ma}$: 30 81 328
$lab^*rgb^*_{Ma}$: 1.0 0.0 1.0
$lab^*olv^*_{Ma}$: 0.69 0.0 1.0
Dreiecks-Helligkeit t^*

%Umfang $u^*_{rel} = 109$
%Regularität $g^*_{H,rel} = 31$ $g^*_{C,rel} = 40$

FRS09_92a; adaptierte CIELAB-Daten						
u^*_e	$L^*=L^*_a$	a^*_a	b^*_a	$C^*_{ab,a}$	$h^*_{ab,a}$	u^*_d
r00j	35.47	63.32	30.17	70.15	25	m81o
r25j	39.12	54.56	49.45	73.64	42	o10y
r50j	50.64	39.15	64.89	75.79	59	o40y
r75j	64.01	21.26	82.83	85.52	76	o69y
j00g	83.18	−4.38	108.53	108.62	92	o98y
j25g	66.73	−29.89	83.06	88.28	110	y34l
j50g	54.03	−48.31	63.49	79.78	127	y69l
j75g	44.73	−60.33	42.64	73.88	145	l03c
g00b	47.59	−49.08	15.74	51.54	162	l23c
g25b	49.97	−39.7	−6.72	40.27	190	l55c
g50b	51.85	−32.33	−24.35	40.48	217	l87c
g75b	46.92	−17.29	−36.02	39.96	244	c20v
b00r	37.91	1.28	−42.35	42.37	272	c53v
b25r	23.81	30.38	−52.26	60.45	300	c87v
b50r	29.52	69.06	−42.14	80.9	329	v68m
b75r	36.48	71.47	−3.69	71.57	357	m34o

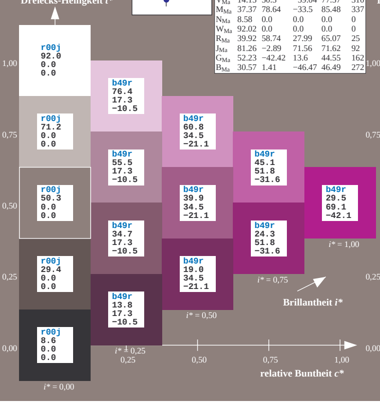

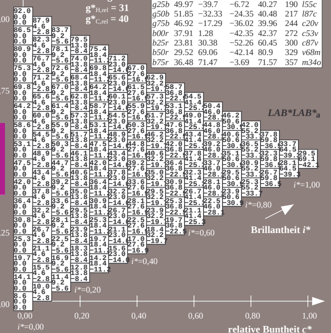

Ein und Ausgabe: Farbmetrisches Drucker-Reflektiv-System FRS09_92, L*=09_92 für relativen CIELAB-Buntton $h^* = lab^*h^* = h_{ab}/360 = 0.992$ $u^*_e = b75r$

*LAB*LAB*a*

Daten für jede Farbe: *lab*tch** und *lab*icu**
Bunttontexte: $u^*_e = b75r$ $u^*_d = m34o$
Kontrastreduzierungsfaktor: $c_R = 1.0$
Dreiecks-Helligkeit t^*

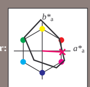

FRS09_92a; adaptierte CIELAB-Daten					
u^*_e	$L^*=L^*_a$	a^*_a	b^*_a	$C^*_{ab,a}$	$h^*_{ab,a}$
O_{Ma}	35.06 60.0	44.0	74.4	36	
Y_{Ma}	83.77 −5.17	109.32	109.44	93	
L_{Ma}	44.13 −62.67	48.24	79.09	142	
C_{Ma}	52.66 −29.14	−31.99	43.27	228	
V_{Ma}	14.15 50.3	−59.04	77.57	310	
M_{Ma}	37.37 78.64	−33.5	85.48	337	
N_{Ma}	8.58 0.0	0.0	0.0	0	
W_{Ma}	92.02 0.0	0.0	0.0	0	
R_{Ma}	39.92 58.74	27.99	65.07	25	
J_{Ma}	81.26 −2.89	71.56	71.62	92	
G_{Ma}	52.23 −42.42	13.6	44.55	162	
B_{Ma}	30.57 1.41	−46.47	46.49	272	

Daten für Maximalfarbe (Ma):
$LAB^*LAB^*_{Ma}$: 36 71 −4
$LAB^*LCH^*_{Ma}$: 36 72 357
$lab^*rgb^*_{Ma}$: 1.0 0.0 0.5
$lab^*olv^*_{Ma}$: 1.0 0.0 0.66
Dreiecks-Helligkeit t^*

%Umfang $u^*_{rel} = 109$
%Regularität $g^*_{H,rel} = 31$ $g^*_{C,rel} = 40$

FRS09_92a; adaptierte CIELAB-Daten						
u^*_e	$L^*=L^*_a$	a^*_a	b^*_a	$C^*_{ab,a}$	$h^*_{ab,a}$	u^*_d
r00j	35.47	63.32	30.17	70.15	25	m81o
r25j	39.12	54.56	49.45	73.64	42	o10y
r50j	50.64	39.15	64.89	75.79	59	o40y
r75j	64.01	21.26	82.83	85.52	76	o69y
j00g	83.18	−4.38	108.53	108.62	92	o98y
j25g	66.73	−29.89	83.06	88.28	110	y34l
j50g	54.03	−48.31	63.49	79.78	127	y69l
j75g	44.73	−60.33	42.64	73.88	145	l03c
g00b	47.59	−49.08	15.74	51.54	162	l23c
g25b	49.97	−39.7	−6.72	40.27	190	l55c
g50b	51.85	−32.33	−24.35	40.48	217	l87c
g75b	46.92	−17.29	−36.02	39.96	244	c20v
b00r	37.91	1.28	−42.35	42.37	272	c53v
b25r	23.81	30.38	−52.26	60.45	300	c87v
b50r	29.52	69.06	−42.14	80.9	329	v68m
b75r	36.48	71.47	−3.69	71.57	357	m34o

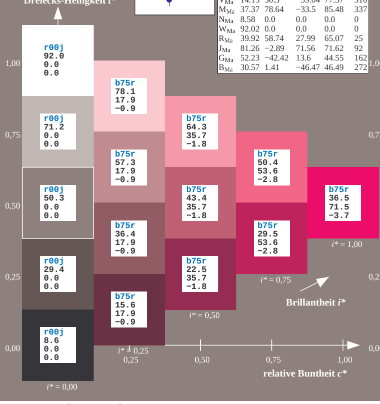

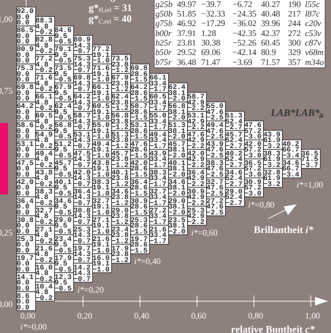

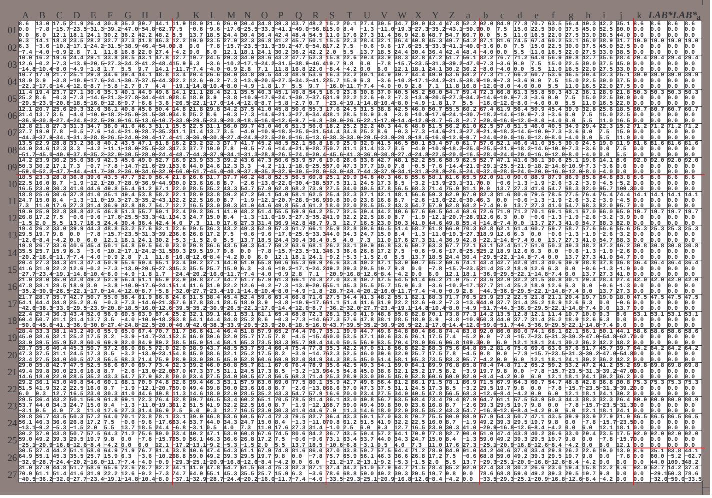

Ein und Ausgabe: Farbmetrisches Drucker-Reflektiv-System FRS09_92, L*=09_92 für relativen CIELAB-Buntton $h^* = lab^*h^* = R_{ab}/360 = 0.451$ $u^*_e = g00b$

Daten für jede Farbe: *lab*c*h* und lab*icu**
Buntton: $u^*_e = g00b$ $u^*_d = l23c$
Kontrastreduzierungsfaktor: $c_R = 1.0$
Dreieck-Helligkeit t^*

Daten für Maximalfarbe (Ma): $LAB^*LAB^*_{Ma}$: 48 −49 16 $LAB^*LCH^*_{Ma}$: 48 52 162 $lab^*rgb^*_{Ma}$: 0.0 1.0 0.0 $lab^*olv^*_{Ma}$: 0.0 1.0 0.23

Dreieck-Helligkeit t^*: %Umfang $u^*_{rel} = 109$; %Regularität $R^*_{Kon} = 31$; $R^*_{C,rel} = 40$

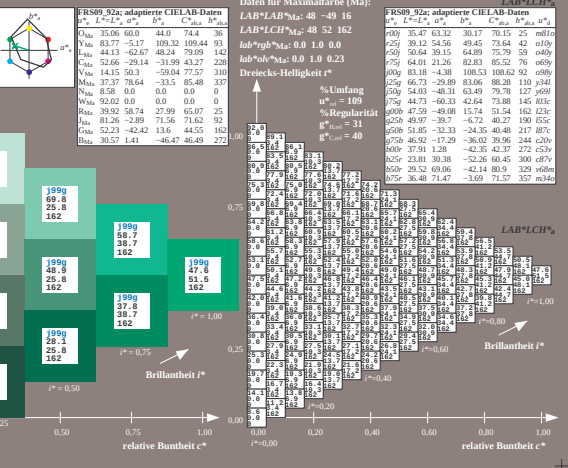

Ein und Ausgabe: Farbmetrisches Drucker-Reflektiv-System FRS09_92, L*=09_92 für relativen CIELAB-Buntton $h^* = lab^*h^* = R_{ab}/360 = 0.527$ $u^*_e = g25b$

Daten für jede Farbe: *lab*c*h* und lab*icu**
Buntton: $u^*_e = g25b$ $u^*_d = l55c$
Kontrastreduzierungsfaktor: $c_R = 1.0$
Dreieck-Helligkeit t^*

Daten für Maximalfarbe (Ma): $LAB^*LAB^*_{Ma}$: 50 −40 −7 $LAB^*LCH^*_{Ma}$: 50 40 189 $lab^*rgb^*_{Ma}$: 0.0 1.0 0.5 $lab^*olv^*_{Ma}$: 0.0 1.0 0.55

Dreieck-Helligkeit t^*: %Umfang $u^*_{rel} = 109$; %Regularität $R^*_{Kon} = 31$; $R^*_{C,rel} = 40$

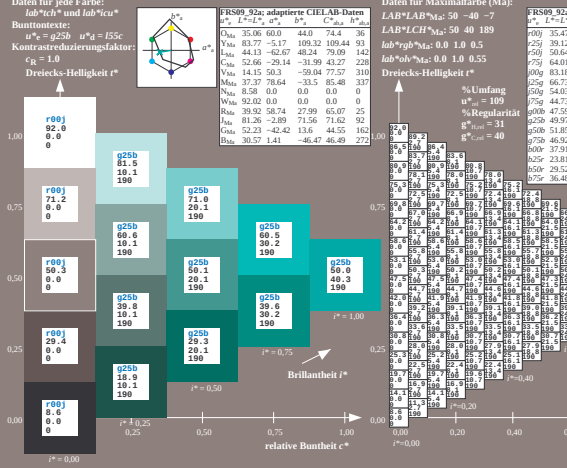

Ein und Ausgabe: Farbmetrisches Drucker-Reflektiv-System FRS09_92, L*=09_92 für relativen CIELAB-Buntton $h^* = lab^*h^* = R_{ab}/360 = 0.603$ $u^*_e = g50b$

Daten für jede Farbe: *lab*c*h* und lab*icu**
Buntton: $u^*_e = g50b$ $u^*_d = l87c$
Kontrastreduzierungsfaktor: $c_R = 1.0$
Dreieck-Helligkeit t^*

Daten für Maximalfarbe (Ma): $LAB^*LAB^*_{Ma}$: 52 −32 −24 $LAB^*LCH^*_{Ma}$: 52 40 216 $lab^*rgb^*_{Ma}$: 0.0 1.0 1.0 $lab^*olv^*_{Ma}$: 0.0 1.0 0.87

Dreieck-Helligkeit t^*: %Umfang $u^*_{rel} = 109$; %Regularität $R^*_{Kon} = 31$; $R^*_{C,rel} = 40$

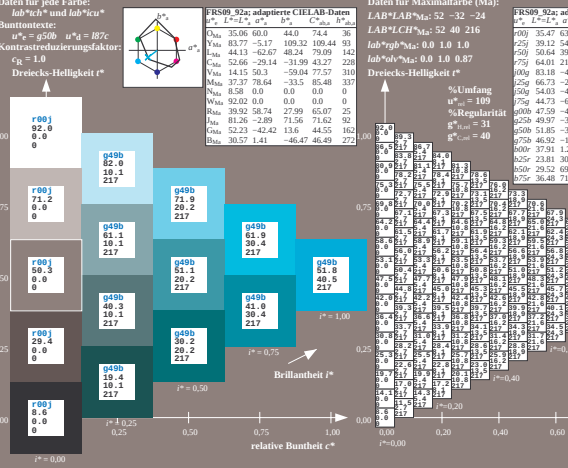

Ein und Ausgabe: Farbmetrisches Drucker-Reflektiv-System FRS09_92, L*=09_92 für relativen CIELAB-Buntton $h^* = lab^*h^* = R_{ab}/360 = 0.679$ $u^*_e = g75b$

Daten für jede Farbe: *lab*c*h* und lab*icu**
Buntton: $u^*_e = g75b$ $u^*_d = c20v$
Kontrastreduzierungsfaktor: $c_R = 1.0$
Dreieck-Helligkeit t^*

Daten für Maximalfarbe (Ma): $LAB^*LAB^*_{Ma}$: 47 −17 −36 $LAB^*LCH^*_{Ma}$: 47 40 244 $lab^*rgb^*_{Ma}$: 0.0 0.5 1.0 $lab^*olv^*_{Ma}$: 0.0 0.8 1.0

Dreieck-Helligkeit t^*: %Umfang $u^*_{rel} = 109$; %Regularität $R^*_{Kon} = 31$; $R^*_{C,rel} = 40$

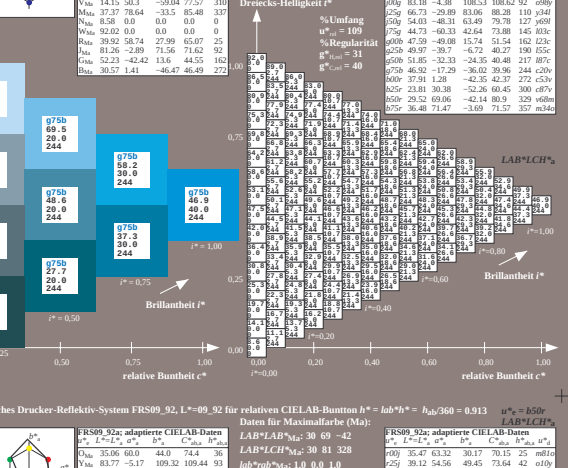

Ein und Ausgabe: Farbmetrisches Drucker-Reflektiv-System FRS09_92, L*=09_92 für relativen CIELAB-Buntton $h^* = lab^*h^* = R_{ab}/360 = 0.755$ $u^*_e = b00r$

Daten für jede Farbe: *lab*c*h* und lab*icu**
Buntton: $u^*_e = b00r$ $u^*_d = c53v$
Kontrastreduzierungsfaktor: $c_R = 1.0$
Dreieck-Helligkeit t^*

Daten für Maximalfarbe (Ma): $LAB^*LAB^*_{Ma}$: 38 1 −42 $LAB^*LCH^*_{Ma}$: 38 42 271 $lab^*rgb^*_{Ma}$: 0.0 0.0 1.0 $lab^*olv^*_{Ma}$: 0.0 0.47 1.0

Dreieck-Helligkeit t^*: %Umfang $u^*_{rel} = 109$; %Regularität $R^*_{Kon} = 31$; $R^*_{C,rel} = 40$

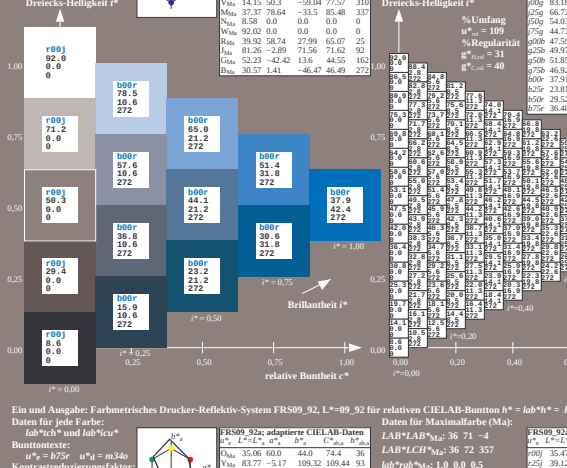

Ein und Ausgabe: Farbmetrisches Drucker-Reflektiv-System FRS09_92, L*=09_92 für relativen CIELAB-Buntton $h^* = lab^*h^* = R_{ab}/360 = 0.834$ $u^*_e = b25r$

Daten für jede Farbe: *lab*c*h* und lab*icu**
Buntton: $u^*_e = b25r$ $u^*_d = c87v$
Kontrastreduzierungsfaktor: $c_R = 1.0$
Dreieck-Helligkeit t^*

Daten für Maximalfarbe (Ma): $LAB^*LAB^*_{Ma}$: 24 30 −52 $LAB^*LCH^*_{Ma}$: 24 60 300 $lab^*rgb^*_{Ma}$: 0.5 0.0 1.0 $lab^*olv^*_{Ma}$: 0.0 0.12 1.0

Dreieck-Helligkeit t^*: %Umfang $u^*_{rel} = 109$; %Regularität $R^*_{Kon} = 31$; $R^*_{C,rel} = 40$

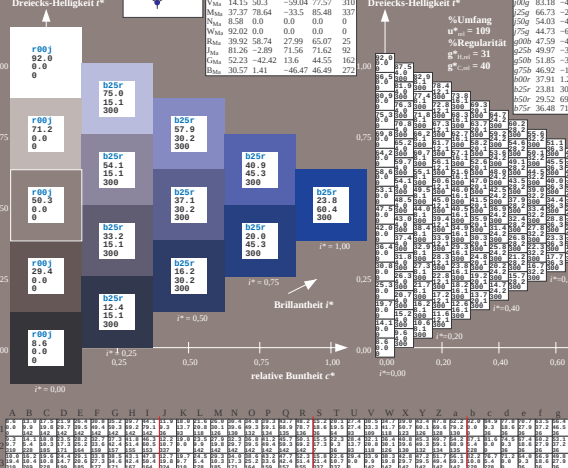

Ein und Ausgabe: Farbmetrisches Drucker-Reflektiv-System FRS09_92, L*=09_92 für relativen CIELAB-Buntton $h^* = lab^*h^* = R_{ab}/360 = 0.913$ $u^*_e = b50r$

Daten für jede Farbe: *lab*c*h* und lab*icu**
Buntton: $u^*_e = b50r$ $u^*_d = v68m$
Kontrastreduzierungsfaktor: $c_R = 1.0$
Dreieck-Helligkeit t^*

Daten für Maximalfarbe (Ma): $LAB^*LAB^*_{Ma}$: 30 69 −42 $LAB^*LCH^*_{Ma}$: 30 81 328 $lab^*rgb^*_{Ma}$: 1.0 0.0 1.0 $lab^*olv^*_{Ma}$: 0.69 0.0 1.0

Dreieck-Helligkeit t^*: %Umfang $u^*_{rel} = 109$; %Regularität $R^*_{Kon} = 31$; $R^*_{C,rel} = 40$

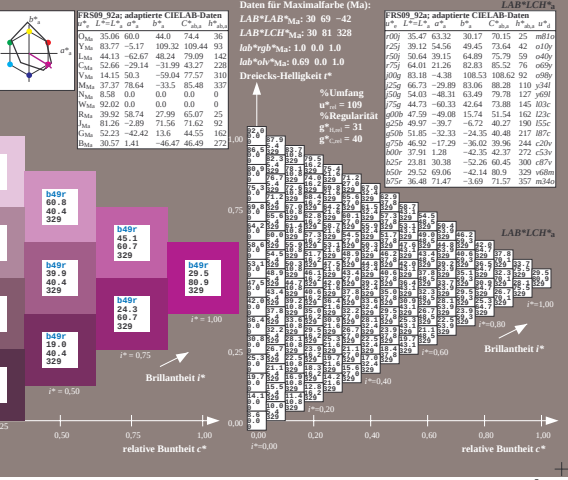

Ein und Ausgabe: Farbmetrisches Drucker-Reflektiv-System FRS09_92, L*=09_92 für relativen CIELAB-Buntton $h^* = lab^*h^* = R_{ab}/360 = 0.992$ $u^*_e = b75r$

Daten für jede Farbe: *lab*c*h* und lab*icu**
Buntton: $u^*_e = b75r$ $u^*_d = m34o$
Kontrastreduzierungsfaktor: $c_R = 1.0$
Dreieck-Helligkeit t^*

Daten für Maximalfarbe (Ma): $LAB^*LAB^*_{Ma}$: 36 71 −4 $LAB^*LCH^*_{Ma}$: 36 72 357 $lab^*rgb^*_{Ma}$: 1.0 0.0 0.5 $lab^*olv^*_{Ma}$: 1.0 0.0 0.66

Dreieck-Helligkeit t^*: %Umfang $u^*_{rel} = 109$; %Regularität $R^*_{Kon} = 31$; $R^*_{C,rel} = 40$

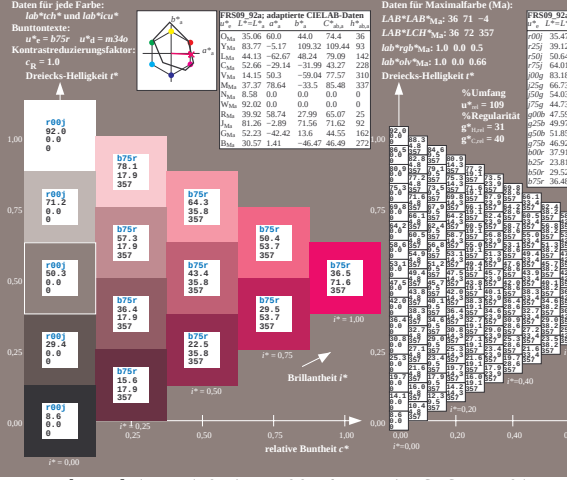

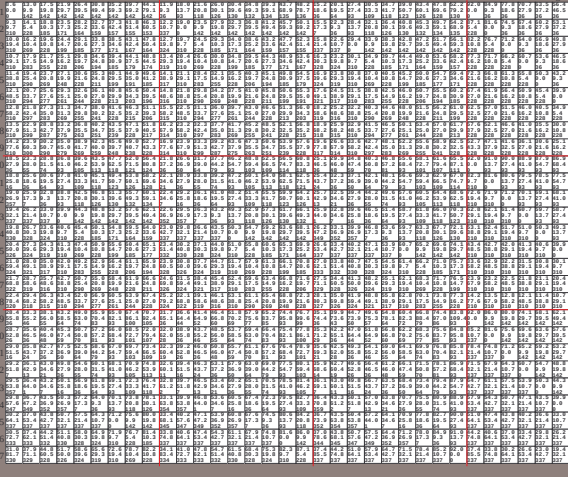

Ein und Ausgabe: Farbmetrisches Drucker-Reflektiv-System FRS09_92, L*=09_92 für relativen CIELAB-Buntton $h^* = lab^*h^* = R_{ab}/360 = 0.451$ $u^*_e = g00b$ lab^*ch^*

Daten für jede Farbe: *lab*ch* und lab*icu**
Buntontexte: $u^*_e = g00b$ $u^*_d = l23c$
Kontrastreduzierungsfaktor: $c_R = 1.0$
Dreiecks-Helligkeit t^*

Daten für Maximalfarbe (Ma):
$LAB^*LAB^*_{Ma}$: 48 −49 16
$LAB^*LCH^*_{Ma}$: 48 52 162
$lab^*rgb^*_{Ma}$: 0.0 1.0 0.0
$lab^*olv^*_{Ma}$: 0.0 1.0 0.23

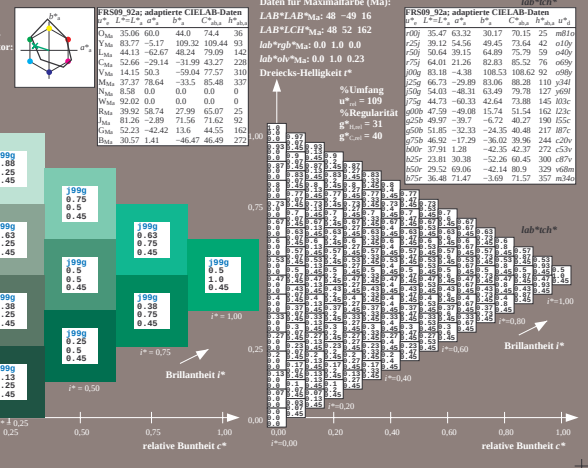

Ein und Ausgabe: Farbmetrisches Drucker-Reflektiv-System FRS09_92, L*=09_92 für relativen CIELAB-Buntton $h^* = lab^*h^* = R_{ab}/360 = 0.527$ $u^*_e = g25b$ lab^*ch^*

Daten für jede Farbe: *lab*ch* und lab*icu**
Buntontexte: $u^*_e = g25b$ $u^*_d = l55c$
Kontrastreduzierungsfaktor: $c_R = 1.0$
Dreiecks-Helligkeit t^*

Daten für Maximalfarbe (Ma):
$LAB^*LAB^*_{Ma}$: 50 −40 −7
$LAB^*LCH^*_{Ma}$: 50 40 189
$lab^*rgb^*_{Ma}$: 0.0 1.0 0.5
$lab^*olv^*_{Ma}$: 0.0 1.0 0.55

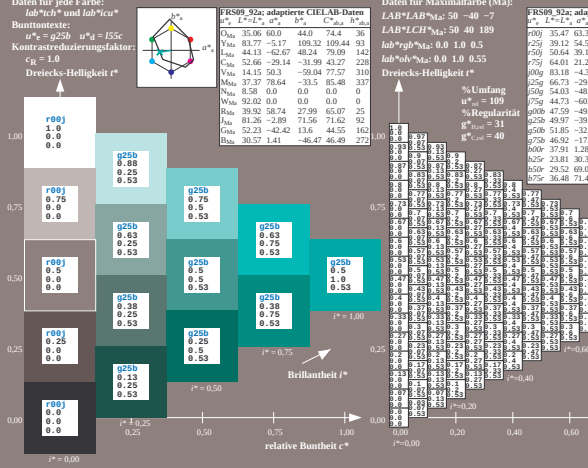

Ein und Ausgabe: Farbmetrisches Drucker-Reflektiv-System FRS09_92, L*=09_92 für relativen CIELAB-Buntton $h^* = lab^*h^* = R_{ab}/360 = 0.603$ $u^*_e = g50b$ lab^*ch^*

Daten für jede Farbe: *lab*ch* und lab*icu**
Buntontexte: $u^*_e = g50b$ $u^*_d = l87c$
Kontrastreduzierungsfaktor: $c_R = 1.0$
Dreiecks-Helligkeit t^*

Daten für Maximalfarbe (Ma):
$LAB^*LAB^*_{Ma}$: 52 −32 −24
$LAB^*LCH^*_{Ma}$: 52 40 216
$lab^*rgb^*_{Ma}$: 0.0 1.0 1.0
$lab^*olv^*_{Ma}$: 0.0 1.0 0.87

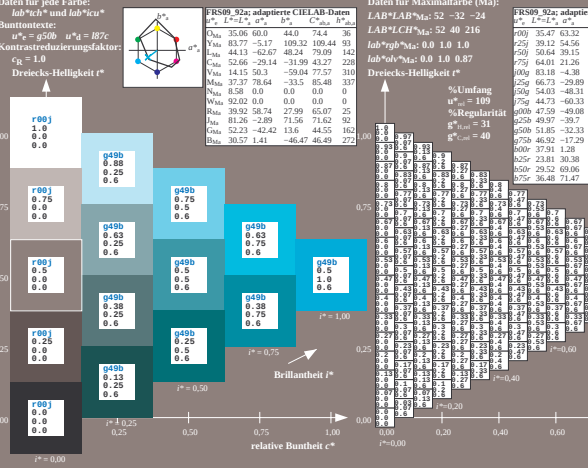

Ein und Ausgabe: Farbmetrisches Drucker-Reflektiv-System FRS09_92, L*=09_92 für relativen CIELAB-Buntton $h^* = lab^*h^* = R_{ab}/360 = 0.679$ $u^*_e = g75b$ lab^*ch^*

Daten für jede Farbe: *lab*ch* und lab*icu**
Buntontexte: $u^*_e = g75b$ $u^*_d = c20v$
Kontrastreduzierungsfaktor: $c_R = 1.0$
Dreiecks-Helligkeit t^*

Daten für Maximalfarbe (Ma):
$LAB^*LAB^*_{Ma}$: 47 −17 −36
$LAB^*LCH^*_{Ma}$: 47 40 244
$lab^*rgb^*_{Ma}$: 0.0 0.5 1.0
$lab^*olv^*_{Ma}$: 0.0 0.8 1.0

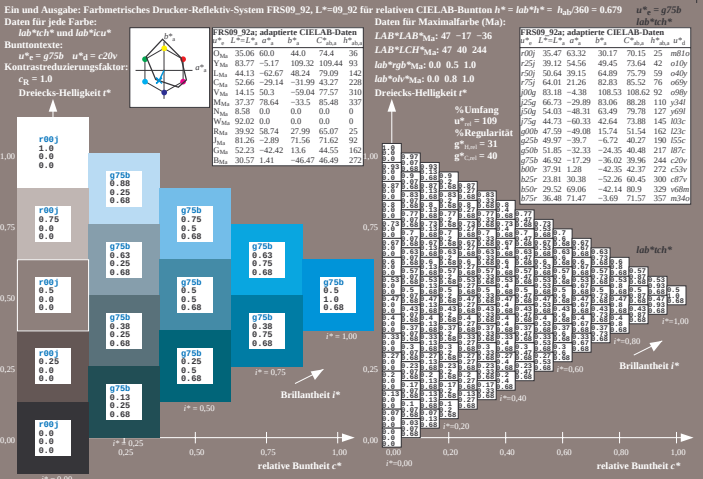

Ein und Ausgabe: Farbmetrisches Drucker-Reflektiv-System FRS09_92, L*=09_92 für relativen CIELAB-Buntton $h^* = lab^*h^* = R_{ab}/360 = 0.755$ $u^*_e = b00r$ lab^*ch^*

Daten für jede Farbe: *lab*ch* und lab*icu**
Buntontexte: $u^*_e = b00r$ $u^*_d = c53v$
Kontrastreduzierungsfaktor: $c_R = 1.0$
Dreiecks-Helligkeit t^*

Daten für Maximalfarbe (Ma):
$LAB^*LAB^*_{Ma}$: 38 1 −42
$LAB^*LCH^*_{Ma}$: 38 42 271
$lab^*rgb^*_{Ma}$: 0.0 0.0 1.0
$lab^*olv^*_{Ma}$: 0.0 0.47 1.0

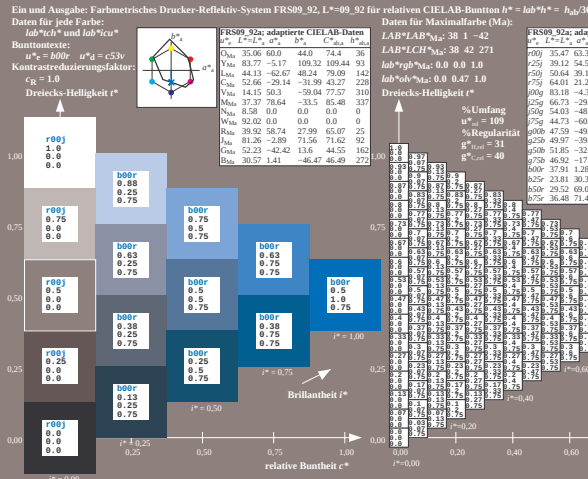

Ein und Ausgabe: Farbmetrisches Drucker-Reflektiv-System FRS09_92, L*=09_92 für relativen CIELAB-Buntton $h^* = lab^*h^* = R_{ab}/360 = 0.834$ $u^*_e = b25r$ lab^*ch^*

Daten für jede Farbe: *lab*ch* und lab*icu**
Buntontexte: $u^*_e = b25r$ $u^*_d = c87v$
Kontrastreduzierungsfaktor: $c_R = 1.0$
Dreiecks-Helligkeit t^*

Daten für Maximalfarbe (Ma):
$LAB^*LAB^*_{Ma}$: 24 30 −52
$LAB^*LCH^*_{Ma}$: 24 60 300
$lab^*rgb^*_{Ma}$: 0.5 0.0 1.0
$lab^*olv^*_{Ma}$: 0.0 0.12 1.0

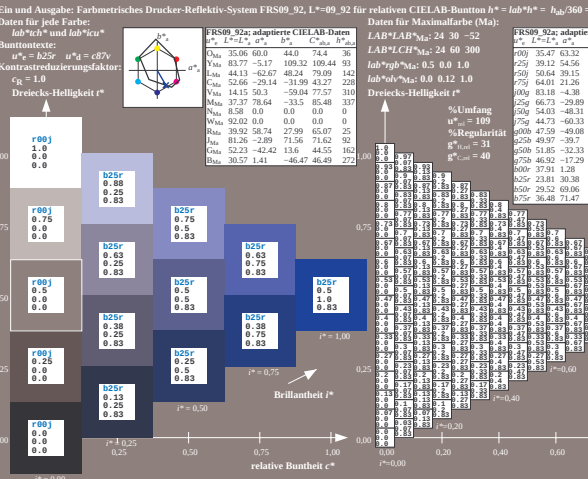

Ein und Ausgabe: Farbmetrisches Drucker-Reflektiv-System FRS09_92, L*=09_92 für relativen CIELAB-Buntton $h^* = lab^*h^* = R_{ab}/360 = 0.913$ $u^*_e = b50r$ lab^*ch^*

Daten für jede Farbe: *lab*ch* und lab*icu**
Buntontexte: $u^*_e = b50r$ $u^*_d = v68m$
Kontrastreduzierungsfaktor: $c_R = 1.0$
Dreiecks-Helligkeit t^*

Daten für Maximalfarbe (Ma):
$LAB^*LAB^*_{Ma}$: 30 69 −42
$LAB^*LCH^*_{Ma}$: 30 81 328
$lab^*rgb^*_{Ma}$: 1.0 0.0 1.0
$lab^*olv^*_{Ma}$: 0.69 0.0 1.0

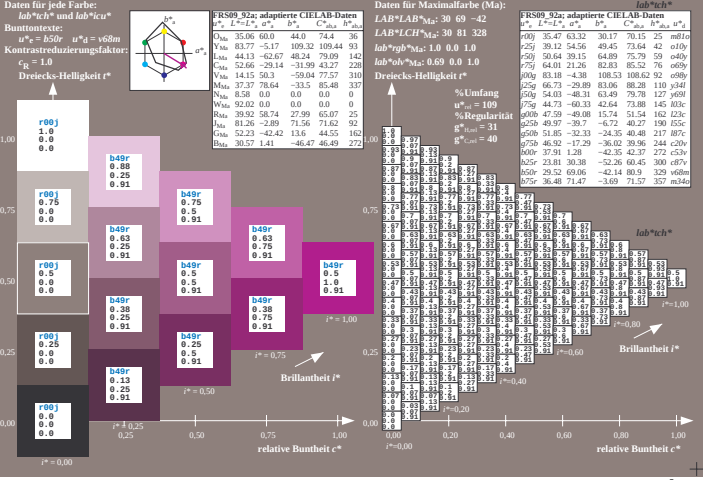

Ein und Ausgabe: Farbmetrisches Drucker-Reflektiv-System FRS09_92, L*=09_92 für relativen CIELAB-Buntton $h^* = lab^*h^* = R_{ab}/360 = 0.992$ $u^*_e = b75r$ lab^*ch^*

Daten für jede Farbe: *lab*ch* und lab*icu**
Buntontexte: $u^*_e = b75r$ $u^*_d = m34o$
Kontrastreduzierungsfaktor: $c_R = 1.0$
Dreiecks-Helligkeit t^*

Daten für Maximalfarbe (Ma):
$LAB^*LAB^*_{Ma}$: 36 71 −4
$LAB^*LCH^*_{Ma}$: 36 72 357
$lab^*rgb^*_{Ma}$: 1.0 0.0 0.5
$lab^*olv^*_{Ma}$: 1.0 0.0 0.66

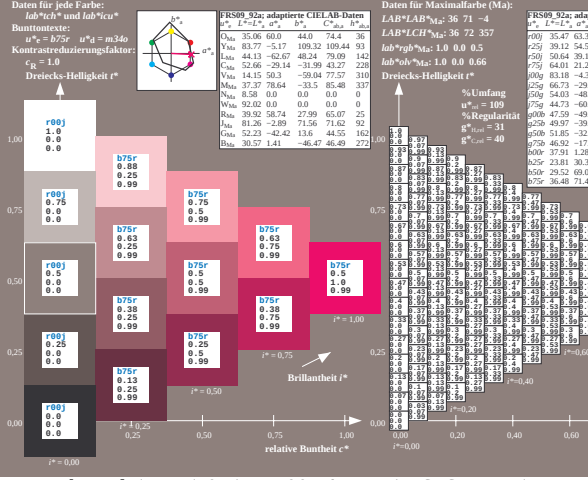

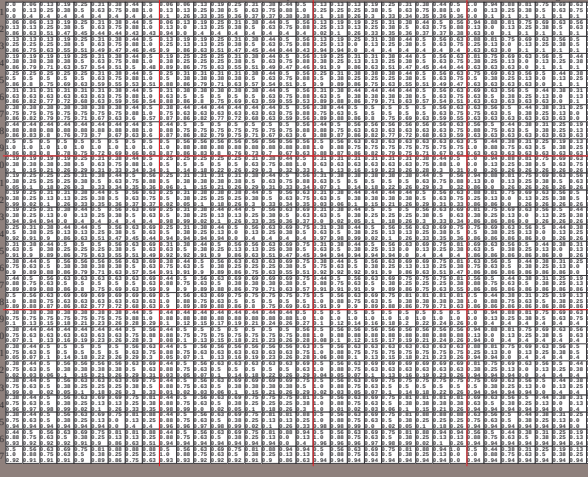

Ein und Ausgabe: Farbmetrisches Drucker-Reflektiv-System FRS09_92, L*=09_92 für relativen CIELAB-Buntton $h^* = lab^*h^* = h_{ab}/360 = 0.451$ — $u^*_e = g00b$, $lab^*icu^*_d$

Daten für jede Farbe: *lab*tch** und *lab*icu**
Bunttexte: $u^*_e = g00b$ $u^*_d = l23c$
Kontrastreduzierungsfaktor: $c_R = 1.0$
Dreiecks-Helligkeit t^*

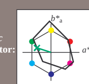

FRS09_92a; adaptierte CIELAB-Daten

u^*_e	$L^*=L^*_a$	a^*_a	b^*_a	$C^*_{ab,a}$	$h^*_{ab,a}$
O_{Ma}	35.06	60.0	44.0	74.4	36
Y_{Ma}	83.77	−5.17	109.32	109.44	93
L_{Ma}	44.13	−62.67	48.24	79.09	142
C_{Ma}	52.66	−29.14	−31.99	43.27	228
V_{Ma}	14.15	50.3	−59.04	77.57	310
M_{Ma}	37.37	78.64	−33.5	85.48	337
N_{Ma}	8.58	0.0	0.0	0.0	0
W_{Ma}	92.02	0.0	0.0	0.0	0
R_{Ma}	39.92	58.74	27.99	65.07	25
J_{Ma}	81.26	−2.89	71.56	71.62	92
G_{Ma}	52.23	−42.42	13.6	44.55	162
B_{Ma}	30.57	1.41	−46.47	46.49	272

Daten für Maximalfarbe (Ma):
*LAB*LAB**$_{Ma}$: 48 −49 16
*LAB*LCH**$_{Ma}$: 48 52 162
*lab*rgb**$_{Ma}$: 0.0 1.0 0.0
*lab*olv**$_{Ma}$: 0.0 1.0 0.23
Dreiecks-Helligkeit t^*

FRS09_92a; adaptierte CIELAB-Daten

u^*_e	$L^*=L^*_a$	a^*_a	b^*_a	$C^*_{ab,a}$	$h^*_{ab,a}$	u^*_d
r00j	35.47	63.32	30.17	70.15	25	m81o
r25j	39.12	54.56	49.45	73.64	42	o10y
r50j	50.64	39.15	64.89	75.79	59	o40y
r75j	64.01	21.26	82.83	85.52	76	o69y
j00g	83.18	−4.38	108.53	108.62	92	o98y
j25g	66.73	−29.89	83.06	88.28	110	y34l
j50g	54.03	−48.31	63.49	79.78	127	y69l
j75g	44.73	−60.33	42.64	73.88	145	l03c
g00b	47.59	−49.08	15.74	51.54	162	l23c
g25b	49.97	−39.7	−6.72	40.27	190	l55c
g50b	51.85	−32.33	−24.35	40.48	217	l87c
g75b	46.92	−17.29	−36.02	39.96	244	c20v
b00r	37.91	1.28	−42.35	42.37	272	c53v
b25r	23.81	30.38	−52.26	60.45	300	c87v
b50r	29.52	69.06	−42.14	80.9	329	v68m
b75r	36.48	71.47	−3.69	71.57	357	m34o

%Umfang $u^*_{rel} = 109$
%Regularität $g^*_{H,rel} = 31$ $g^*_{C,rel} = 40$

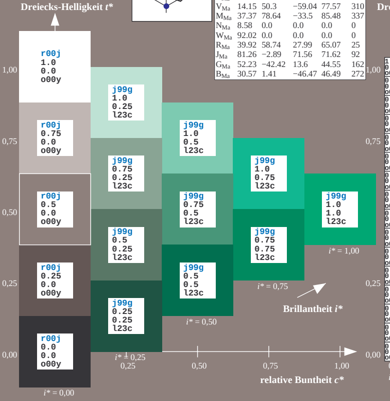

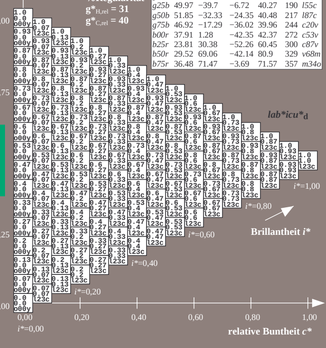

Ein und Ausgabe: Farbmetrisches Drucker-Reflektiv-System FRS09_92, L*=09_92 für relativen CIELAB-Buntton $h^* = lab^*h^* = h_{ab}/360 = 0.527$ — $u^*_e = g25b$, $lab^*icu^*_d$

Daten für jede Farbe: *lab*tch** und *lab*icu**
Bunttexte: $u^*_e = g25b$ $u^*_d = l55c$
Kontrastreduzierungsfaktor: $c_R = 1.0$
Dreiecks-Helligkeit t^*

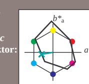

FRS09_92a; adaptierte CIELAB-Daten

u^*_e	$L^*=L^*_a$	a^*_a	b^*_a	$C^*_{ab,a}$	$h^*_{ab,a}$
O_{Ma}	35.06	60.0	44.0	74.4	36
Y_{Ma}	83.77	−5.17	109.32	109.44	93
L_{Ma}	44.13	−62.67	48.24	79.09	142
C_{Ma}	52.66	−29.14	−31.99	43.27	228
V_{Ma}	14.15	50.3	−59.04	77.57	310
M_{Ma}	37.37	78.64	−33.5	85.48	337
N_{Ma}	8.58	0.0	0.0	0.0	0
W_{Ma}	92.02	0.0	0.0	0.0	0
R_{Ma}	39.92	58.74	27.99	65.07	25
J_{Ma}	81.26	−2.89	71.56	71.62	92
G_{Ma}	52.23	−42.42	13.6	44.55	162
B_{Ma}	30.57	1.41	−46.47	46.49	272

Daten für Maximalfarbe (Ma):
*LAB*LAB**$_{Ma}$: 50 −40 −7
*LAB*LCH**$_{Ma}$: 50 40 189
*lab*rgb**$_{Ma}$: 0.0 1.0 0.5
*lab*olv**$_{Ma}$: 0.0 1.0 0.55
Dreiecks-Helligkeit t^*

FRS09_92a; adaptierte CIELAB-Daten

u^*_e	$L^*=L^*_a$	a^*_a	b^*_a	$C^*_{ab,a}$	$h^*_{ab,a}$	u^*_d
r00j	35.47	63.32	30.17	70.15	25	m81o
r25j	39.12	54.56	49.45	73.64	42	o10y
r50j	50.64	39.15	64.89	75.79	59	o40y
r75j	64.01	21.26	82.83	85.52	76	o69y
j00g	83.18	−4.38	108.53	108.62	92	o98y
j25g	66.73	−29.89	83.06	88.28	110	y34l
j50g	54.03	−48.31	63.49	79.78	127	y69l
j75g	44.73	−60.33	42.64	73.88	145	l03c
g00b	47.59	−49.08	15.74	51.54	162	l23c
g25b	49.97	−39.7	−6.72	40.27	190	l55c
g50b	51.85	−32.33	−24.35	40.48	217	l87c
g75b	46.92	−17.29	−36.02	39.96	244	c20v
b00r	37.91	1.28	−42.35	42.37	272	c53v
b25r	23.81	30.38	−52.26	60.45	300	c87v
b50r	29.52	69.06	−42.14	80.9	329	v68m
b75r	36.48	71.47	−3.69	71.57	357	m34o

%Umfang $u^*_{rel} = 109$
%Regularität $g^*_{H,rel} = 31$ $g^*_{C,rel} = 40$

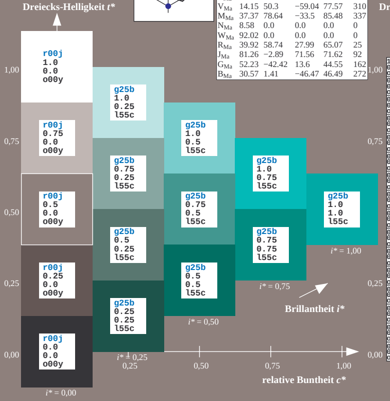

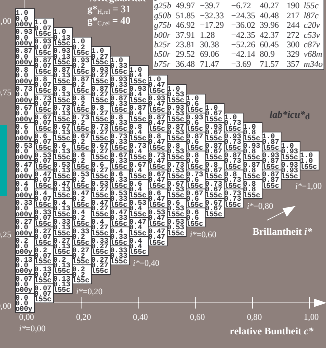

Ein und Ausgabe: Farbmetrisches Drucker-Reflektiv-System FRS09_92, L*=09_92 für relativen CIELAB-Buntton $h^* = lab^*h^* = h_{ab}/360 = 0.603$ — $u^*_e = g50b$, $lab^*icu^*_d$

Daten für jede Farbe: *lab*tch** und *lab*icu**
Bunttexte: $u^*_e = g50b$ $u^*_d = l87c$
Kontrastreduzierungsfaktor: $c_R = 1.0$
Dreiecks-Helligkeit t^*

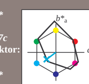

FRS09_92a; adaptierte CIELAB-Daten

u^*_e	$L^*=L^*_a$	a^*_a	b^*_a	$C^*_{ab,a}$	$h^*_{ab,a}$
O_{Ma}	35.06	60.0	44.0	74.4	36
Y_{Ma}	83.77	−5.17	109.32	109.44	93
L_{Ma}	44.13	−62.67	48.24	79.09	142
C_{Ma}	52.66	−29.14	−31.99	43.27	228
V_{Ma}	14.15	50.3	−59.04	77.57	310
M_{Ma}	37.37	78.64	−33.5	85.48	337
N_{Ma}	8.58	0.0	0.0	0.0	0
W_{Ma}	92.02	0.0	0.0	0.0	0
R_{Ma}	39.92	58.74	27.99	65.07	25
J_{Ma}	81.26	−2.89	71.56	71.62	92
G_{Ma}	52.23	−42.42	13.6	44.55	162
B_{Ma}	30.57	1.41	−46.47	46.49	272

Daten für Maximalfarbe (Ma):
*LAB*LAB**$_{Ma}$: 52 −32 −24
*LAB*LCH**$_{Ma}$: 52 40 216
*lab*rgb**$_{Ma}$: 0.0 1.0 1.0
*lab*olv**$_{Ma}$: 0.0 1.0 0.87
Dreiecks-Helligkeit t^*

FRS09_92a; adaptierte CIELAB-Daten

u^*_e	$L^*=L^*_a$	a^*_a	b^*_a	$C^*_{ab,a}$	$h^*_{ab,a}$	u^*_d
r00j	35.47	63.32	30.17	70.15	25	m81o
r25j	39.12	54.56	49.45	73.64	42	o10y
r50j	50.64	39.15	64.89	75.79	59	o40y
r75j	64.01	21.26	82.83	85.52	76	o69y
j00g	83.18	−4.38	108.53	108.62	92	o98y
j25g	66.73	−29.89	83.06	88.28	110	y34l
j50g	54.03	−48.31	63.49	79.78	127	y69l
j75g	44.73	−60.33	42.64	73.88	145	l03c
g00b	47.59	−49.08	15.74	51.54	162	l23c
g25b	49.97	−39.7	−6.72	40.27	190	l55c
g50b	51.85	−32.33	−24.35	40.48	217	l87c
g75b	46.92	−17.29	−36.02	39.96	244	c20v
b00r	37.91	1.28	−42.35	42.37	272	c53v
b25r	23.81	30.38	−52.26	60.45	300	c87v
b50r	29.52	69.06	−42.14	80.9	329	v68m
b75r	36.48	71.47	−3.69	71.57	357	m34o

%Umfang $u^*_{rel} = 109$
%Regularität $g^*_{H,rel} = 31$ $g^*_{C,rel} = 40$

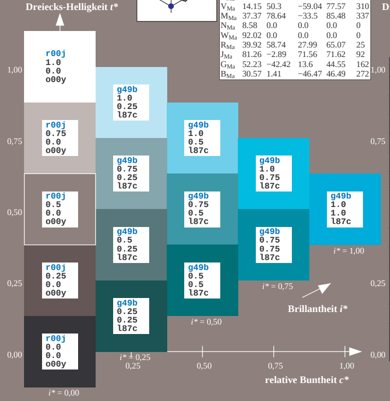

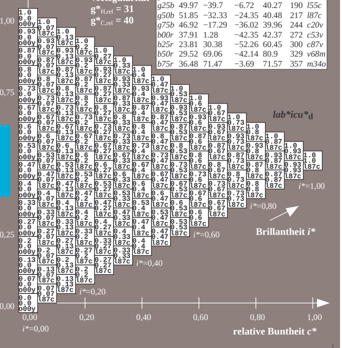

Ein und Ausgabe: Farbmetrisches Drucker-Reflektiv-System FRS09_92, L*=09_92 für relativen CIELAB-Buntton $h^* = lab^*h^* = h_{ab}/360 = 0.679$ — $u^*_e = g75b$, $lab^*icu^*_d$

Daten für jede Farbe: *lab*tch** und *lab*icu**
Bunttexte: $u^*_e = g75b$ $u^*_d = c20v$
Kontrastreduzierungsfaktor: $c_R = 1.0$
Dreiecks-Helligkeit t^*

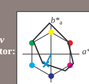

FRS09_92a; adaptierte CIELAB-Daten

u^*_e	$L^*=L^*_a$	a^*_a	b^*_a	$C^*_{ab,a}$	$h^*_{ab,a}$
O_{Ma}	35.06	60.0	44.0	74.4	36
Y_{Ma}	83.77	−5.17	109.32	109.44	93
L_{Ma}	44.13	−62.67	48.24	79.09	142
C_{Ma}	52.66	−29.14	−31.99	43.27	228
V_{Ma}	14.15	50.3	−59.04	77.57	310
M_{Ma}	37.37	78.64	−33.5	85.48	337
N_{Ma}	8.58	0.0	0.0	0.0	0
W_{Ma}	92.02	0.0	0.0	0.0	0
R_{Ma}	39.92	58.74	27.99	65.07	25
J_{Ma}	81.26	−2.89	71.56	71.62	92
G_{Ma}	52.23	−42.42	13.6	44.55	162
B_{Ma}	30.57	1.41	−46.47	46.49	272

Daten für Maximalfarbe (Ma):
*LAB*LAB**$_{Ma}$: 47 −17 −36
*LAB*LCH**$_{Ma}$: 47 40 244
*lab*rgb**$_{Ma}$: 0.0 0.5 1.0
*lab*olv**$_{Ma}$: 0.0 0.8 1.0
Dreiecks-Helligkeit t^*

FRS09_92a; adaptierte CIELAB-Daten

u^*_e	$L^*=L^*_a$	a^*_a	b^*_a	$C^*_{ab,a}$	$h^*_{ab,a}$	u^*_d
r00j	35.47	63.32	30.17	70.15	25	m81o
r25j	39.12	54.56	49.45	73.64	42	o10y
r50j	50.64	39.15	64.89	75.79	59	o40y
r75j	64.01	21.26	82.83	85.52	76	o69y
j00g	83.18	−4.38	108.53	108.62	92	o98y
j25g	66.73	−29.89	83.06	88.28	110	y34l
j50g	54.03	−48.31	63.49	79.78	127	y69l
j75g	44.73	−60.33	42.64	73.88	145	l03c
g00b	47.59	−49.08	15.74	51.54	162	l23c
g25b	49.97	−39.7	−6.72	40.27	190	l55c
g50b	51.85	−32.33	−24.35	40.48	217	l87c
g75b	46.92	−17.29	−36.02	39.96	244	c20v
b00r	37.91	1.28	−42.35	42.37	272	c53v
b25r	23.81	30.38	−52.26	60.45	300	c87v
b50r	29.52	69.06	−42.14	80.9	329	v68m
b75r	36.48	71.47	−3.69	71.57	357	m34o

%Umfang $u^*_{rel} = 109$
%Regularität $g^*_{H,rel} = 31$ $g^*_{C,rel} = 40$

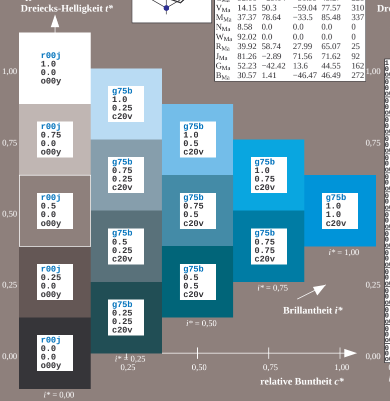

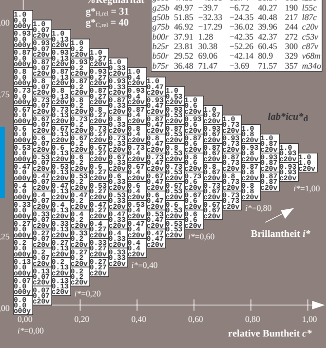

Ein und Ausgabe: Farbmetrisches Drucker-Reflektiv-System FRS09_92, L*=09_92 für relativen CIELAB-Buntton $h^* = lab^*h^* = h_{ab}/360 = 0.755$ — $u^*_e = b00r$, $lab^*icu^*_d$

Daten für jede Farbe: *lab*tch** und *lab*icu**
Bunttexte: $u^*_e = b00r$ $u^*_d = c53v$
Kontrastreduzierungsfaktor: $c_R = 1.0$
Dreiecks-Helligkeit t^*

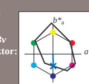

FRS09_92a; adaptierte CIELAB-Daten

u^*_e	$L^*=L^*_a$	a^*_a	b^*_a	$C^*_{ab,a}$	$h^*_{ab,a}$
O_{Ma}	35.06	60.0	44.0	74.4	36
Y_{Ma}	83.77	−5.17	109.32	109.44	93
L_{Ma}	44.13	−62.67	48.24	79.09	142
C_{Ma}	52.66	−29.14	−31.99	43.27	228
V_{Ma}	14.15	50.3	−59.04	77.57	310
M_{Ma}	37.37	78.64	−33.5	85.48	337
N_{Ma}	8.58	0.0	0.0	0.0	0
W_{Ma}	92.02	0.0	0.0	0.0	0
R_{Ma}	39.92	58.74	27.99	65.07	25
J_{Ma}	81.26	−2.89	71.56	71.62	92
G_{Ma}	52.23	−42.42	13.6	44.55	162
B_{Ma}	30.57	1.41	−46.47	46.49	272

Daten für Maximalfarbe (Ma):
*LAB*LAB**$_{Ma}$: 38 1 −42
*LAB*LCH**$_{Ma}$: 38 42 271
*lab*rgb**$_{Ma}$: 0.0 0.0 1.0
*lab*olv**$_{Ma}$: 0.0 0.47 1.0
Dreiecks-Helligkeit t^*

FRS09_92a; adaptierte CIELAB-Daten

u^*_e	$L^*=L^*_a$	a^*_a	b^*_a	$C^*_{ab,a}$	$h^*_{ab,a}$	u^*_d
r00j	35.47	63.32	30.17	70.15	25	m81o
r25j	39.12	54.56	49.45	73.64	42	o10y
r50j	50.64	39.15	64.89	75.79	59	o40y
r75j	64.01	21.26	82.83	85.52	76	o69y
j00g	83.18	−4.38	108.53	108.62	92	o98y
j25g	66.73	−29.89	83.06	88.28	110	y34l
j50g	54.03	−48.31	63.49	79.78	127	y69l
j75g	44.73	−60.33	42.64	73.88	145	l03c
g00b	47.59	−49.08	15.74	51.54	162	l23c
g25b	49.97	−39.7	−6.72	40.27	190	l55c
g50b	51.85	−32.33	−24.35	40.48	217	l87c
g75b	46.92	−17.29	−36.02	39.96	244	c20v
b00r	37.91	1.28	−42.35	42.37	272	c53v
b25r	23.81	30.38	−52.26	60.45	300	c87v
b50r	29.52	69.06	−42.14	80.9	329	v68m
b75r	36.48	71.47	−3.69	71.57	357	m34o

%Umfang $u^*_{rel} = 109$
%Regularität $g^*_{H,rel} = 31$ $g^*_{C,rel} = 40$

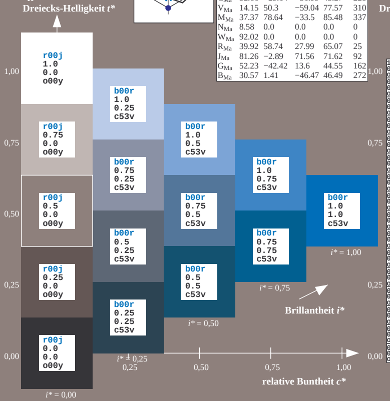

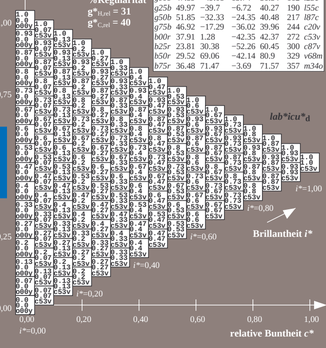

Ein und Ausgabe: Farbmetrisches Drucker-Reflektiv-System FRS09_92, L*=09_92 für relativen CIELAB-Buntton $h^* = lab^*h^* = h_{ab}/360 = 0.834$ — $u^*_e = b25r$, $lab^*icu^*_d$

Daten für jede Farbe: *lab*tch** und *lab*icu**
Bunttexte: $u^*_e = b25r$ $u^*_d = c87v$
Kontrastreduzierungsfaktor: $c_R = 1.0$
Dreiecks-Helligkeit t^*

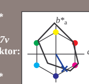

FRS09_92a; adaptierte CIELAB-Daten

u^*_e	$L^*=L^*_a$	a^*_a	b^*_a	$C^*_{ab,a}$	$h^*_{ab,a}$
O_{Ma}	35.06	60.0	44.0	74.4	36
Y_{Ma}	83.77	−5.17	109.32	109.44	93
L_{Ma}	44.13	−62.67	48.24	79.09	142
C_{Ma}	52.66	−29.14	−31.99	43.27	228
V_{Ma}	14.15	50.3	−59.04	77.57	310
M_{Ma}	37.37	78.64	−33.5	85.48	337
N_{Ma}	8.58	0.0	0.0	0.0	0
W_{Ma}	92.02	0.0	0.0	0.0	0
R_{Ma}	39.92	58.74	27.99	65.07	25
J_{Ma}	81.26	−2.89	71.56	71.62	92
G_{Ma}	52.23	−42.42	13.6	44.55	162
B_{Ma}	30.57	1.41	−46.47	46.49	272

Daten für Maximalfarbe (Ma):
*LAB*LAB**$_{Ma}$: 24 30 −52
*LAB*LCH**$_{Ma}$: 24 60 300
*lab*rgb**$_{Ma}$: 0.5 0.0 1.0
*lab*olv**$_{Ma}$: 0.0 0.12 1.0
Dreiecks-Helligkeit t^*

FRS09_92a; adaptierte CIELAB-Daten

u^*_e	$L^*=L^*_a$	a^*_a	b^*_a	$C^*_{ab,a}$	$h^*_{ab,a}$	u^*_d
r00j	35.47	63.32	30.17	70.15	25	m81o
r25j	39.12	54.56	49.45	73.64	42	o10y
r50j	50.64	39.15	64.89	75.79	59	o40y
r75j	64.01	21.26	82.83	85.52	76	o69y
j00g	83.18	−4.38	108.53	108.62	92	o98y
j25g	66.73	−29.89	83.06	88.28	110	y34l
j50g	54.03	−48.31	63.49	79.78	127	y69l
j75g	44.73	−60.33	42.64	73.88	145	l03c
g00b	47.59	−49.08	15.74	51.54	162	l23c
g25b	49.97	−39.7	−6.72	40.27	190	l55c
g50b	51.85	−32.33	−24.35	40.48	217	l87c
g75b	46.92	−17.29	−36.02	39.96	244	c20v
b00r	37.91	1.28	−42.35	42.37	272	c53v
b25r	23.81	30.38	−52.26	60.45	300	c87v
b50r	29.52	69.06	−42.14	80.9	329	v68m
b75r	36.48	71.47	−3.69	71.57	357	m34o

%Umfang $u^*_{rel} = 109$
%Regularität $g^*_{H,rel} = 31$ $g^*_{C,rel} = 40$

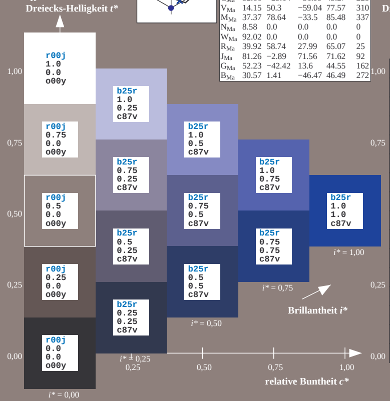

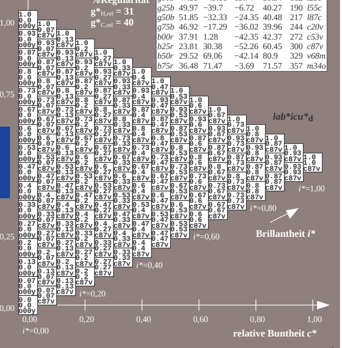

Ein und Ausgabe: Farbmetrisches Drucker-Reflektiv-System FRS09_92, L*=09_92 für relativen CIELAB-Buntton $h^* = lab^*h^* = h_{ab}/360 = 0.913$ — $u^*_e = b50r$, $lab^*icu^*_d$

Daten für jede Farbe: *lab*tch** und *lab*icu**
Bunttexte: $u^*_e = b50r$ $u^*_d = v68m$
Kontrastreduzierungsfaktor: $c_R = 1.0$
Dreiecks-Helligkeit t^*

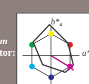

FRS09_92a; adaptierte CIELAB-Daten

u^*_e	$L^*=L^*_a$	a^*_a	b^*_a	$C^*_{ab,a}$	$h^*_{ab,a}$
O_{Ma}	35.06	60.0	44.0	74.4	36
Y_{Ma}	83.77	−5.17	109.32	109.44	93
L_{Ma}	44.13	−62.67	48.24	79.09	142
C_{Ma}	52.66	−29.14	−31.99	43.27	228
V_{Ma}	14.15	50.3	−59.04	77.57	310
M_{Ma}	37.37	78.64	−33.5	85.48	337
N_{Ma}	8.58	0.0	0.0	0.0	0
W_{Ma}	92.02	0.0	0.0	0.0	0
R_{Ma}	39.92	58.74	27.99	65.07	25
J_{Ma}	81.26	−2.89	71.56	71.62	92
G_{Ma}	52.23	−42.42	13.6	44.55	162
B_{Ma}	30.57	1.41	−46.47	46.49	272

Daten für Maximalfarbe (Ma):
*LAB*LAB**$_{Ma}$: 30 69 −42
*LAB*LCH**$_{Ma}$: 30 81 328
*lab*rgb**$_{Ma}$: 1.0 0.0 1.0
*lab*olv**$_{Ma}$: 0.69 0.0 1.0
Dreiecks-Helligkeit t^*

FRS09_92a; adaptierte CIELAB-Daten

u^*_e	$L^*=L^*_a$	a^*_a	b^*_a	$C^*_{ab,a}$	$h^*_{ab,a}$	u^*_d
r00j	35.47	63.32	30.17	70.15	25	m81o
r25j	39.12	54.56	49.45	73.64	42	o10y
r50j	50.64	39.15	64.89	75.79	59	o40y
r75j	64.01	21.26	82.83	85.52	76	o69y
j00g	83.18	−4.38	108.53	108.62	92	o98y
j25g	66.73	−29.89	83.06	88.28	110	y34l
j50g	54.03	−48.31	63.49	79.78	127	y69l
j75g	44.73	−60.33	42.64	73.88	145	l03c
g00b	47.59	−49.08	15.74	51.54	162	l23c
g25b	49.97	−39.7	−6.72	40.27	190	l55c
g50b	51.85	−32.33	−24.35	40.48	217	l87c
g75b	46.92	−17.29	−36.02	39.96	244	c20v
b00r	37.91	1.28	−42.35	42.37	272	c53v
b25r	23.81	30.38	−52.26	60.45	300	c87v
b50r	29.52	69.06	−42.14	80.9	329	v68m
b75r	36.48	71.47	−3.69	71.57	357	m34o

%Umfang $u^*_{rel} = 109$
%Regularität $g^*_{H,rel} = 31$ $g^*_{C,rel} = 40$

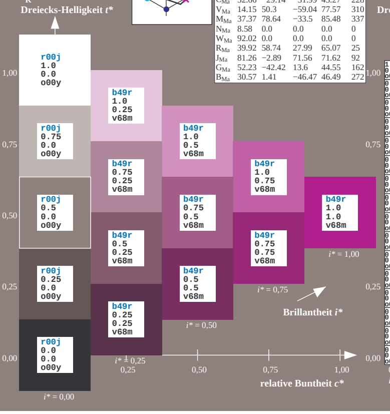

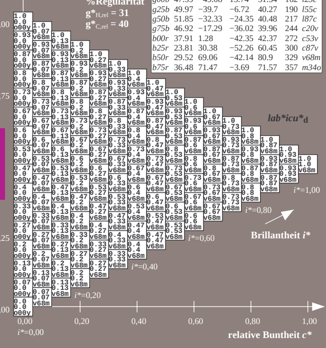

Ein und Ausgabe: Farbmetrisches Drucker-Reflektiv-System FRS09_92, L*=09_92 für relativen CIELAB-Buntton $h^* = lab^*h^* = h_{ab}/360 = 0.992$ — $u^*_e = b75r$, $lab^*icu^*_d$

Daten für jede Farbe: *lab*tch** und *lab*icu**
Bunttexte: $u^*_e = b75r$ $u^*_d = m34o$
Kontrastreduzierungsfaktor: $c_R = 1.0$
Dreiecks-Helligkeit t^*

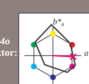

FRS09_92a; adaptierte CIELAB-Daten

u^*_e	$L^*=L^*_a$	a^*_a	b^*_a	$C^*_{ab,a}$	$h^*_{ab,a}$
O_{Ma}	35.06	60.0	44.0	74.4	36
Y_{Ma}	83.77	−5.17	109.32	109.44	93
L_{Ma}	44.13	−62.67	48.24	79.09	142
C_{Ma}	52.66	−29.14	−31.99	43.27	228
V_{Ma}	14.15	50.3	−59.04	77.57	310
M_{Ma}	37.37	78.64	−33.5	85.48	337
N_{Ma}	8.58	0.0	0.0	0.0	0
W_{Ma}	92.02	0.0	0.0	0.0	0
R_{Ma}	39.92	58.74	27.99	65.07	25
J_{Ma}	81.26	−2.89	71.56	71.62	92
G_{Ma}	52.23	−42.42	13.6	44.55	162
B_{Ma}	30.57	1.41	−46.47	46.49	272

Daten für Maximalfarbe (Ma):
*LAB*LAB**$_{Ma}$: 36 71 −4
*LAB*LCH**$_{Ma}$: 36 72 357
*lab*rgb**$_{Ma}$: 1.0 0.0 0.5
*lab*olv**$_{Ma}$: 1.0 0.0 0.66
Dreiecks-Helligkeit t^*

FRS09_92a; adaptierte CIELAB-Daten

u^*_e	$L^*=L^*_a$	a^*_a	b^*_a	$C^*_{ab,a}$	$h^*_{ab,a}$	u^*_d
r00j	35.47	63.32	30.17	70.15	25	m81o
r25j	39.12	54.56	49.45	73.64	42	o10y
r50j	50.64	39.15	64.89	75.79	59	o40y
r75j	64.01	21.26	82.83	85.52	76	o69y
j00g	83.18	−4.38	108.53	108.62	92	o98y
j25g	66.73	−29.89	83.06	88.28	110	y34l
j50g	54.03	−48.31	63.49	79.78	127	y69l
j75g	44.73	−60.33	42.64	73.88	145	l03c
g00b	47.59	−49.08	15.74	51.54	162	l23c
g25b	49.97	−39.7	−6.72	40.27	190	l55c
g50b	51.85	−32.33	−24.35	40.48	217	l87c
g75b	46.92	−17.29	−36.02	39.96	244	c20v
b00r	37.91	1.28	−42.35	42.37	272	c53v
b25r	23.81	30.38	−52.26	60.45	300	c87v
b50r	29.52	69.06	−42.14	80.9	329	v68m
b75r	36.48	71.47	−3.69	71.57	357	m34o

%Umfang $u^*_{rel} = 109$
%Regularität $g^*_{H,rel} = 31$ $g^*_{C,rel} = 40$

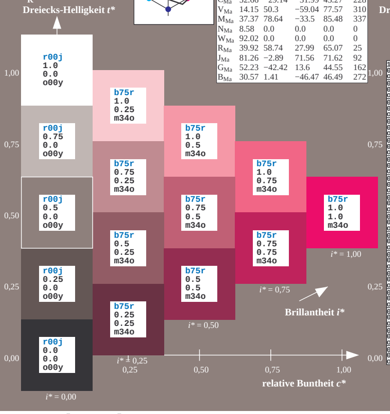

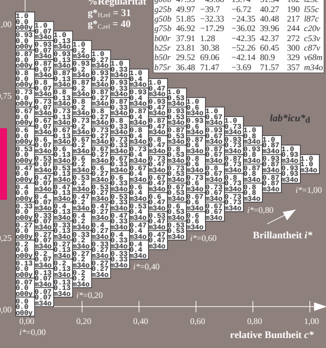

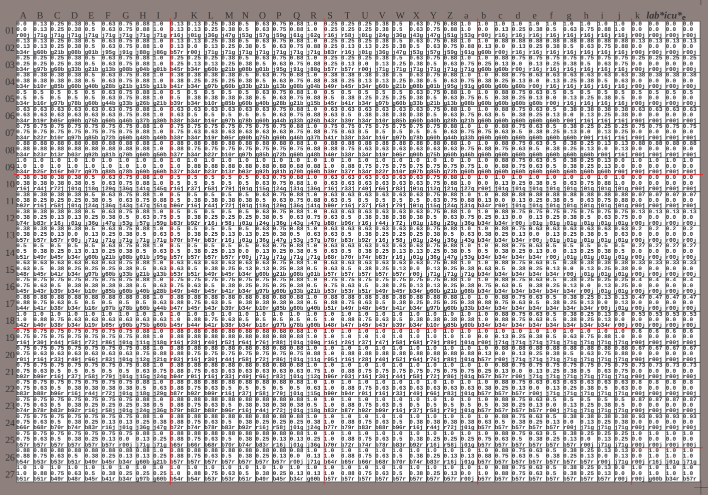

Ein und Ausgabe: Farbmetrisches Drucker-Reflektiv-System FRS09_92, L*=09_92 für relativen CIELAB-Buntton $h^* = lab^*h^* = R_{ab}/360 = 0.451$ $u^*_e = g00b$ LAB^*LAB^*

Daten für jede Farbe: $lab^*c^*h^*$ und $lab^*c^*u^*$

Buntton: $u^*_e = g00b$ $u^*_d = l23c$

Kontrastreduzierungsfaktor: $c_R = 1.0$

Daten für Maximalfarbe (Ma): $LAB^*LAB^*_{Ma}$: 48 -49 16; $LAB^*LCH^*_{Ma}$: 48 52 162; $lab^*rgb^*_{Ma}$: 0.0 1.0 0.0; $lab^*olv^*_{Ma}$: 0.0 1.0 0.23

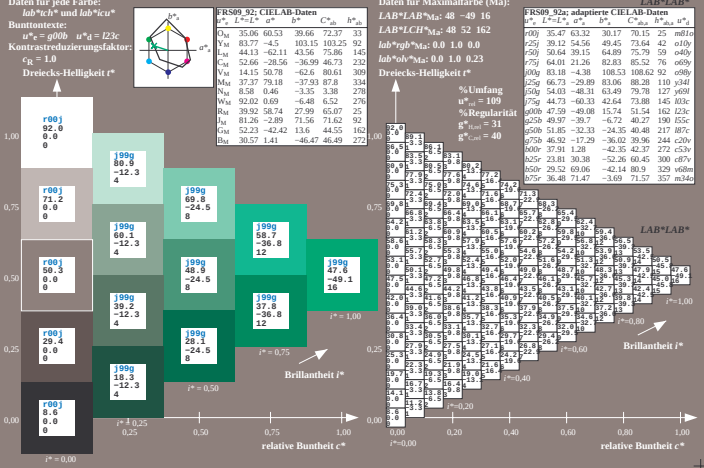

Ein und Ausgabe: Farbmetrisches Drucker-Reflektiv-System FRS09_92, L*=09_92 für relativen CIELAB-Buntton $h^* = lab^*h^* = R_{ab}/360 = 0.527$ $u^*_e = g25b$ LAB^*LAB^*

Daten für jede Farbe: $lab^*c^*h^*$ und $lab^*c^*u^*$

Buntton: $u^*_e = g25b$ $u^*_d = l55c$

Kontrastreduzierungsfaktor: $c_R = 1.0$

Daten für Maximalfarbe (Ma): $LAB^*LAB^*_{Ma}$: 50 -40 -7; $LAB^*LCH^*_{Ma}$: 50 40 189; $lab^*rgb^*_{Ma}$: 0.0 1.0 0.5; $lab^*olv^*_{Ma}$: 0.0 1.0 0.55

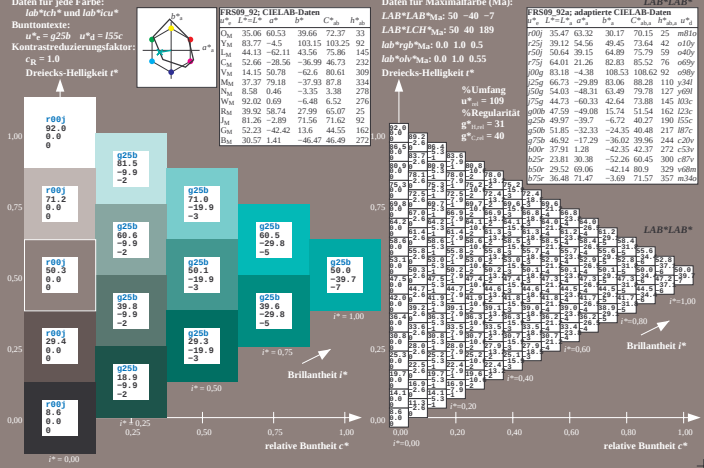

Ein und Ausgabe: Farbmetrisches Drucker-Reflektiv-System FRS09_92, L*=09_92 für relativen CIELAB-Buntton $h^* = lab^*h^* = R_{ab}/360 = 0.603$ $u^*_e = g50b$ LAB^*LAB^*

Daten für jede Farbe: $lab^*c^*h^*$ und $lab^*c^*u^*$

Buntton: $u^*_e = g50b$ $u^*_d = l87c$

Kontrastreduzierungsfaktor: $c_R = 1.0$

Daten für Maximalfarbe (Ma): $LAB^*LAB^*_{Ma}$: 52 -32 -24; $LAB^*LCH^*_{Ma}$: 52 40 216; $lab^*rgb^*_{Ma}$: 0.0 1.0 1.0; $lab^*olv^*_{Ma}$: 0.0 1.0 0.87

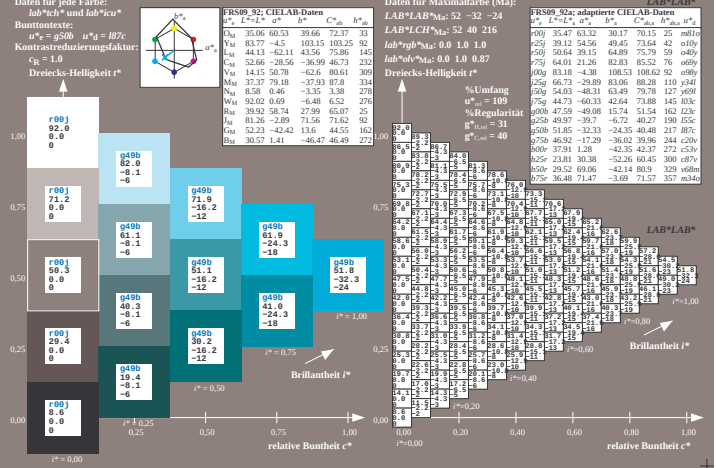

Ein und Ausgabe: Farbmetrisches Drucker-Reflektiv-System FRS09_92, L*=09_92 für relativen CIELAB-Buntton $h^* = lab^*h^* = R_{ab}/360 = 0.679$ $u^*_e = g75b$ LAB^*LAB^*

Daten für jede Farbe: $lab^*c^*h^*$ und $lab^*c^*u^*$

Buntton: $u^*_e = g75b$ $u^*_d = c20v$

Kontrastreduzierungsfaktor: $c_R = 1.0$

Daten für Maximalfarbe (Ma): $LAB^*LAB^*_{Ma}$: 47 -17 -36; $LAB^*LCH^*_{Ma}$: 47 40 244; $lab^*rgb^*_{Ma}$: 0.0 0.5 1.0; $lab^*olv^*_{Ma}$: 0.0 0.8 1.0

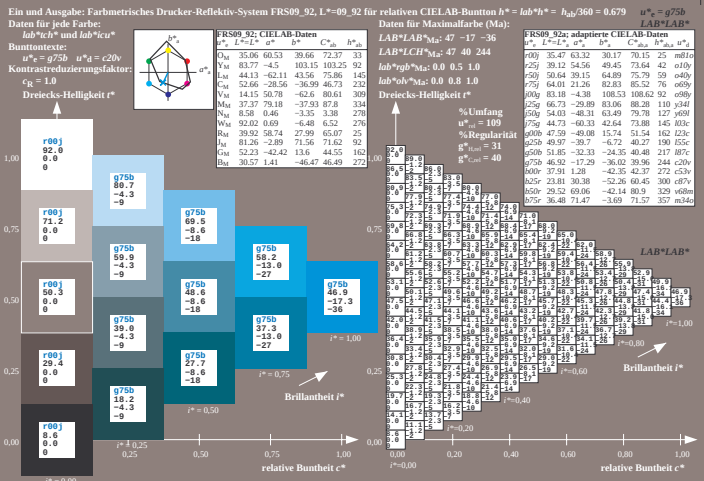

Ein und Ausgabe: Farbmetrisches Drucker-Reflektiv-System FRS09_92, L*=09_92 für relativen CIELAB-Buntton $h^* = lab^*h^* = R_{ab}/360 = 0.755$ $u^*_e = b00r$ LAB^*LAB^*

Daten für jede Farbe: $lab^*c^*h^*$ und $lab^*c^*u^*$

Buntton: $u^*_e = b00r$ $u^*_d = c53v$

Kontrastreduzierungsfaktor: $c_R = 1.0$

Daten für Maximalfarbe (Ma): $LAB^*LAB^*_{Ma}$: 38 1 -42; $LAB^*LCH^*_{Ma}$: 38 42 271; $lab^*rgb^*_{Ma}$: 0.0 0.0 1.0; $lab^*olv^*_{Ma}$: 0.0 0.47 1.0

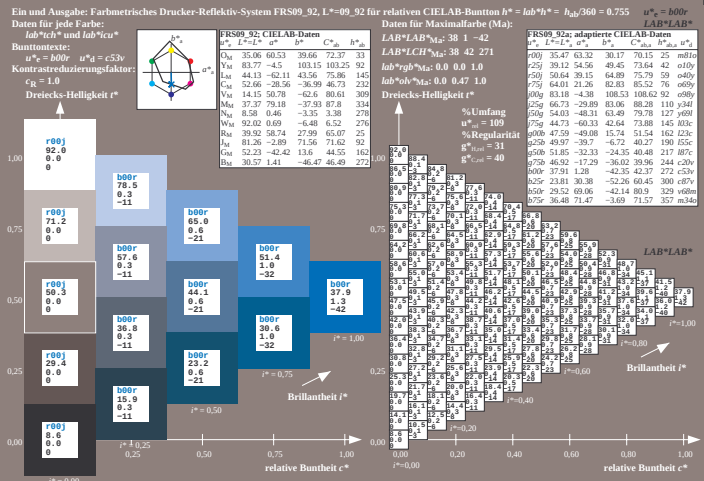

Ein und Ausgabe: Farbmetrisches Drucker-Reflektiv-System FRS09_92, L*=09_92 für relativen CIELAB-Buntton $h^* = lab^*h^* = R_{ab}/360 = 0.834$ $u^*_e = b25r$ LAB^*LAB^*

Daten für jede Farbe: $lab^*c^*h^*$ und $lab^*c^*u^*$

Buntton: $u^*_e = b25r$ $u^*_d = c87v$

Kontrastreduzierungsfaktor: $c_R = 1.0$

Daten für Maximalfarbe (Ma): $LAB^*LAB^*_{Ma}$: 24 30 -52; $LAB^*LCH^*_{Ma}$: 24 60 300; $lab^*rgb^*_{Ma}$: 0.5 0.0 1.0; $lab^*olv^*_{Ma}$: 0.0 0.12 1.0

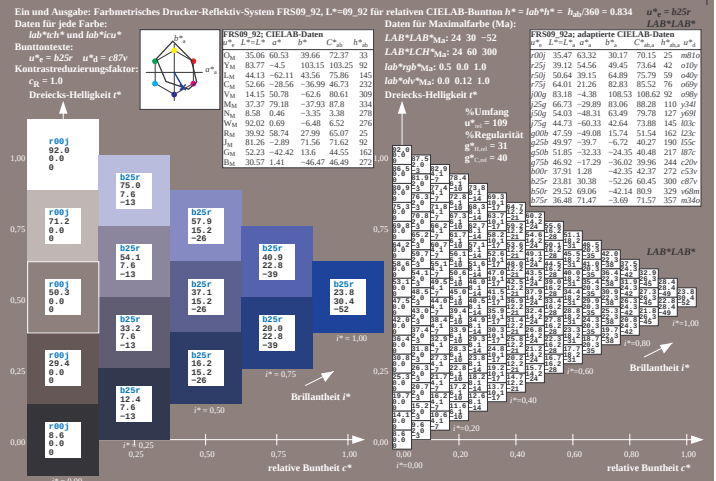

Ein und Ausgabe: Farbmetrisches Drucker-Reflektiv-System FRS09_92, L*=09_92 für relativen CIELAB-Buntton $h^* = lab^*h^* = R_{ab}/360 = 0.913$ $u^*_e = b50r$ LAB^*LAB^*

Daten für jede Farbe: $lab^*c^*h^*$ und $lab^*c^*u^*$

Buntton: $u^*_e = b50r$ $u^*_d = v68m$

Kontrastreduzierungsfaktor: $c_R = 1.0$

Daten für Maximalfarbe (Ma): $LAB^*LAB^*_{Ma}$: 30 69 -42; $LAB^*LCH^*_{Ma}$: 30 81 328; $lab^*rgb^*_{Ma}$: 1.0 0.0 1.0; $lab^*olv^*_{Ma}$: 0.69 0.0 1.0

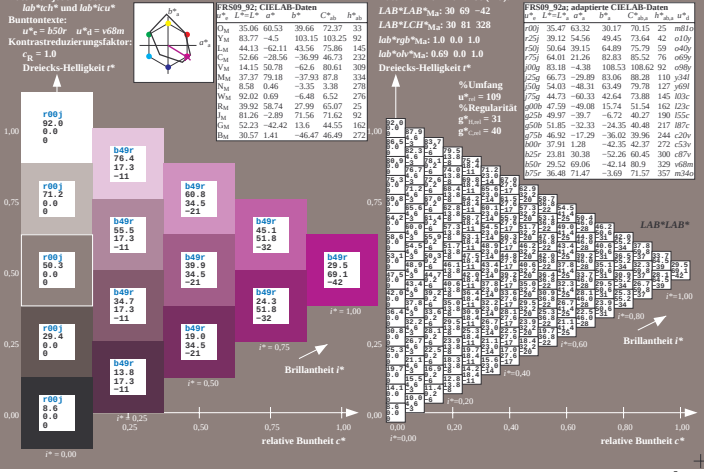

Ein und Ausgabe: Farbmetrisches Drucker-Reflektiv-System FRS09_92, L*=09_92 für relativen CIELAB-Buntton $h^* = lab^*h^* = R_{ab}/360 = 0.992$ $u^*_e = b75r$ LAB^*LAB^*

Daten für jede Farbe: $lab^*c^*h^*$ und $lab^*c^*u^*$

Buntton: $u^*_e = b75r$ $u^*_d = m34o$

Kontrastreduzierungsfaktor: $c_R = 1.0$

Daten für Maximalfarbe (Ma): $LAB^*LAB^*_{Ma}$: 36 71 -4; $LAB^*LCH^*_{Ma}$: 36 72 357; $lab^*rgb^*_{Ma}$: 1.0 0.0 0.5; $lab^*olv^*_{Ma}$: 1.0 0.0 0.66

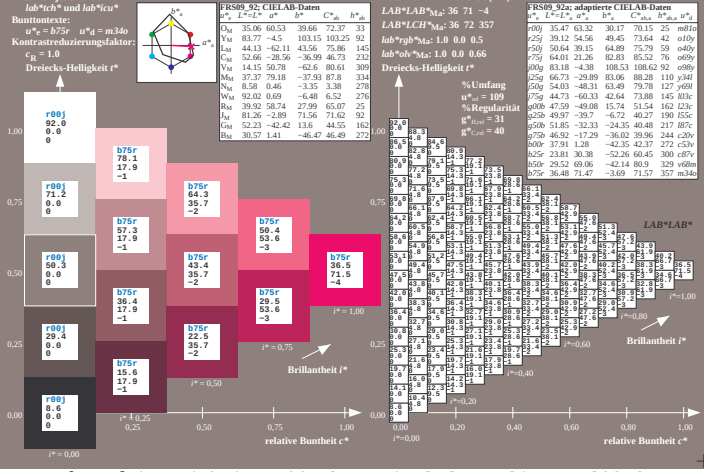

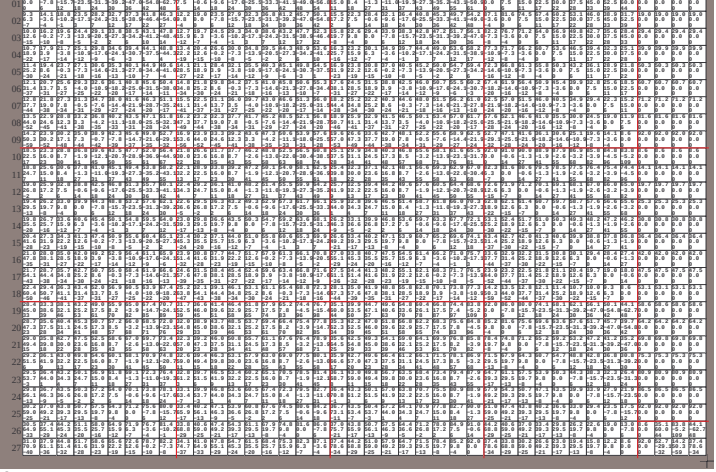

Ein und Ausgabe: Farbmetrisches Drucker-Reflektiv-System FRS09_92, L*=09_92 für relativen CIELAB-Buntton $h^* = lab^*h^* = R_{ab}/360 = 0.451$ $u^*_e = g00b$ lab^*ch^*

Daten für jede Farbe: lab^*ch^* und lab^*icu^*

Buntton: $u^*_e = g00b$ $u^*_d = l23c$

Kontrastreduzierungsfaktor: $c_R = 1.0$

Daten für Maximalfarbe (Ma): $LAB^*LAB^*_{Ma}$: 48 −49 16; $LAB^*LCH^*_{Ma}$: 48 52 162; $lab^*rgb^*_{Ma}$: 0.0 1.0 0.0; $lab^*olv^*_{Ma}$: 0.0 1.0 0.23

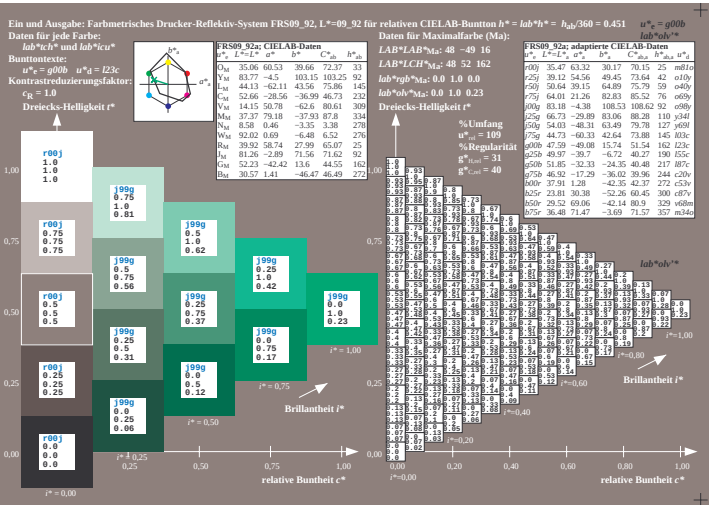

Ein und Ausgabe: Farbmetrisches Drucker-Reflektiv-System FRS09_92, L*=09_92 für relativen CIELAB-Buntton $h^* = lab^*h^* = R_{ab}/360 = 0.527$ $u^*_e = g25b$ lab^*ch^*

Daten für jede Farbe: lab^*ch^* und lab^*icu^*

Buntton: $u^*_e = g25b$ $u^*_d = l55c$

Kontrastreduzierungsfaktor: $c_R = 1.0$

Daten für Maximalfarbe (Ma): $LAB^*LAB^*_{Ma}$: 50 −40 −7; $LAB^*LCH^*_{Ma}$: 50 40 189; $lab^*rgb^*_{Ma}$: 0.0 1.0 0.5; $lab^*olv^*_{Ma}$: 0.0 1.0 0.55

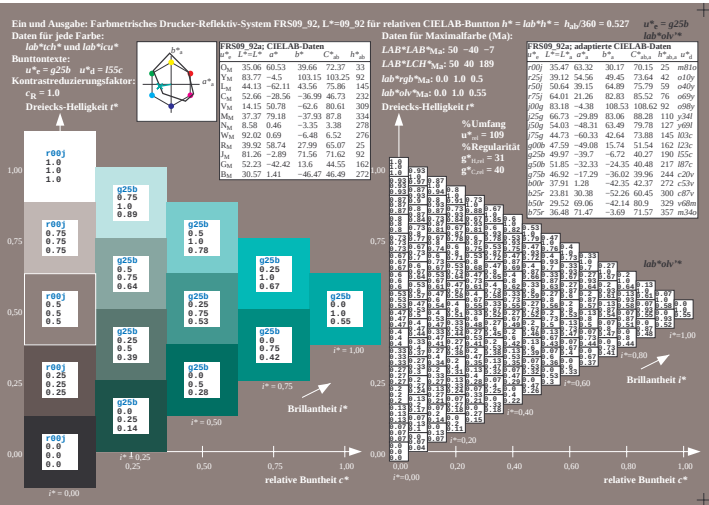

Ein und Ausgabe: Farbmetrisches Drucker-Reflektiv-System FRS09_92, L*=09_92 für relativen CIELAB-Buntton $h^* = lab^*h^* = R_{ab}/360 = 0.603$ $u^*_e = g50b$ lab^*ch^*

Daten für jede Farbe: lab^*ch^* und lab^*icu^*

Buntton: $u^*_e = g50b$ $u^*_d = l87c$

Kontrastreduzierungsfaktor: $c_R = 1.0$

Daten für Maximalfarbe (Ma): $LAB^*LAB^*_{Ma}$: 52 −32 −24; $LAB^*LCH^*_{Ma}$: 52 40 216; $lab^*rgb^*_{Ma}$: 0.0 1.0 1.0; $lab^*olv^*_{Ma}$: 0.0 1.0 0.87

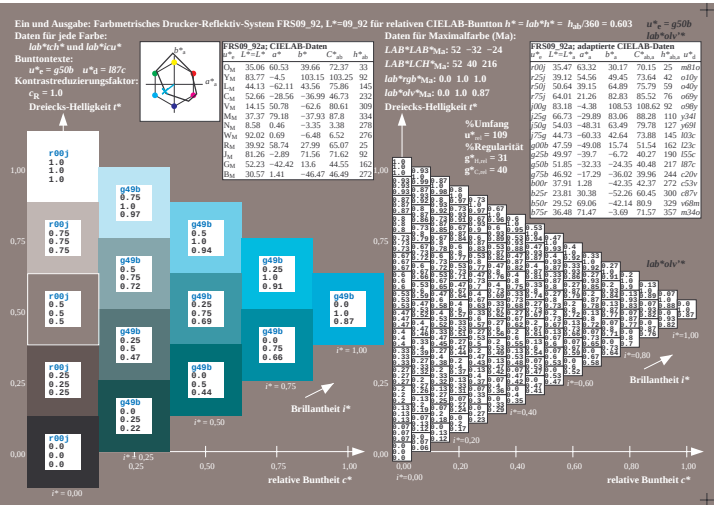

Ein und Ausgabe: Farbmetrisches Drucker-Reflektiv-System FRS09_92, L*=09_92 für relativen CIELAB-Buntton $h^* = lab^*h^* = R_{ab}/360 = 0.679$ $u^*_e = g75b$ lab^*ch^*

Daten für jede Farbe: lab^*ch^* und lab^*icu^*

Buntton: $u^*_e = g75b$ $u^*_d = c20v$

Kontrastreduzierungsfaktor: $c_R = 1.0$

Daten für Maximalfarbe (Ma): $LAB^*LAB^*_{Ma}$: 47 −17 −36; $LAB^*LCH^*_{Ma}$: 47 40 244; $lab^*rgb^*_{Ma}$: 0.0 0.5 1.0; $lab^*olv^*_{Ma}$: 0.0 0.8 1.0

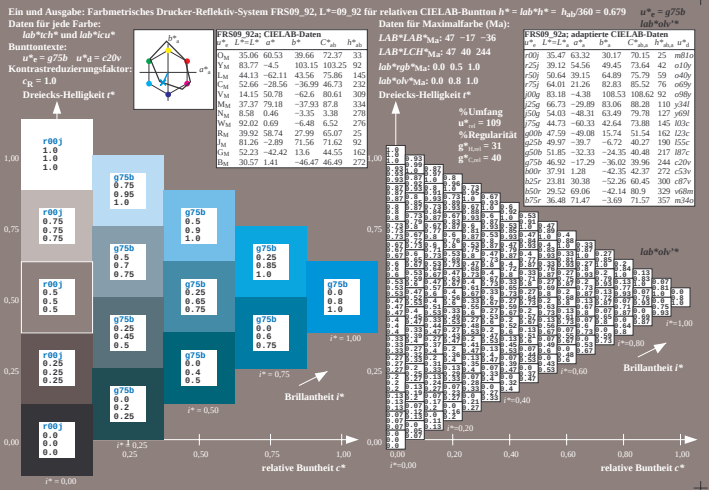

Ein und Ausgabe: Farbmetrisches Drucker-Reflektiv-System FRS09_92, L*=09_92 für relativen CIELAB-Buntton $h^* = lab^*h^* = R_{ab}/360 = 0.755$ $u^*_e = b00r$ lab^*ch^*

Daten für jede Farbe: lab^*ch^* und lab^*icu^*

Buntton: $u^*_e = b00r$ $u^*_d = c53v$

Kontrastreduzierungsfaktor: $c_R = 1.0$

Daten für Maximalfarbe (Ma): $LAB^*LAB^*_{Ma}$: 38 1 −42; $LAB^*LCH^*_{Ma}$: 38 42 271; $lab^*rgb^*_{Ma}$: 0.0 0.0 1.0; $lab^*olv^*_{Ma}$: 0.0 0.47 1.0

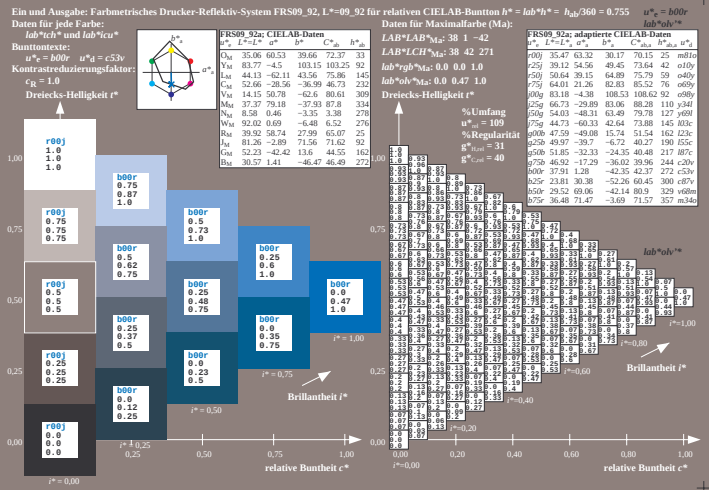

Ein und Ausgabe: Farbmetrisches Drucker-Reflektiv-System FRS09_92, L*=09_92 für relativen CIELAB-Buntton $h^* = lab^*h^* = R_{ab}/360 = 0.834$ $u^*_e = b25r$ lab^*ch^*

Daten für jede Farbe: lab^*ch^* und lab^*icu^*

Buntton: $u^*_e = b25r$ $u^*_d = c87v$

Kontrastreduzierungsfaktor: $c_R = 1.0$

Daten für Maximalfarbe (Ma): $LAB^*LAB^*_{Ma}$: 24 30 −52; $LAB^*LCH^*_{Ma}$: 24 60 300; $lab^*rgb^*_{Ma}$: 0.5 0.0 1.0; $lab^*olv^*_{Ma}$: 0.0 0.12 1.0

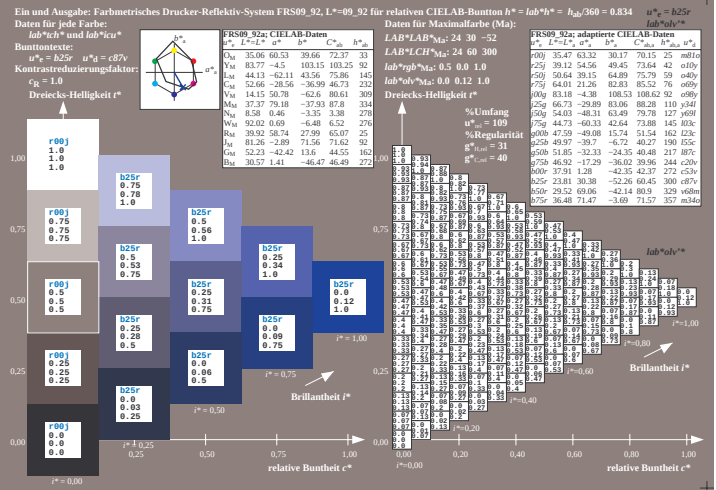

Ein und Ausgabe: Farbmetrisches Drucker-Reflektiv-System FRS09_92, L*=09_92 für relativen CIELAB-Buntton $h^* = lab^*h^* = R_{ab}/360 = 0.913$ $u^*_e = b50r$ lab^*ch^*

Daten für jede Farbe: lab^*ch^* und lab^*icu^*

Buntton: $u^*_e = b50r$ $u^*_d = v68m$

Kontrastreduzierungsfaktor: $c_R = 1.0$

Daten für Maximalfarbe (Ma): $LAB^*LAB^*_{Ma}$: 30 69 −42; $LAB^*LCH^*_{Ma}$: 30 81 328; $lab^*rgb^*_{Ma}$: 1.0 0.0 1.0; $lab^*olv^*_{Ma}$: 0.69 0.0 1.0

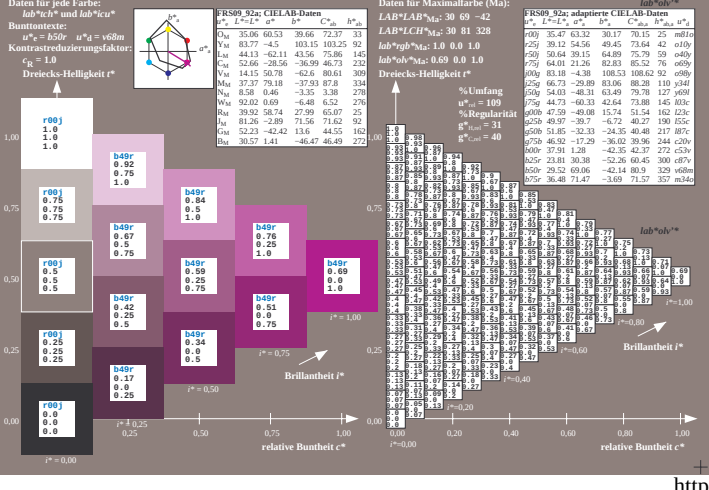

Ein und Ausgabe: Farbmetrisches Drucker-Reflektiv-System FRS09_92, L*=09_92 für relativen CIELAB-Buntton $h^* = lab^*h^* = R_{ab}/360 = 0.992$ $u^*_e = b75r$ lab^*ch^*

Daten für jede Farbe: lab^*ch^* und lab^*icu^*

Buntton: $u^*_e = b75r$ $u^*_d = m34o$

Kontrastreduzierungsfaktor: $c_R = 1.0$

Daten für Maximalfarbe (Ma): $LAB^*LAB^*_{Ma}$: 36 71 −4; $LAB^*LCH^*_{Ma}$: 36 72 357; $lab^*rgb^*_{Ma}$: 1.0 0.0 0.5; $lab^*olv^*_{Ma}$: 1.0 0.0 0.66

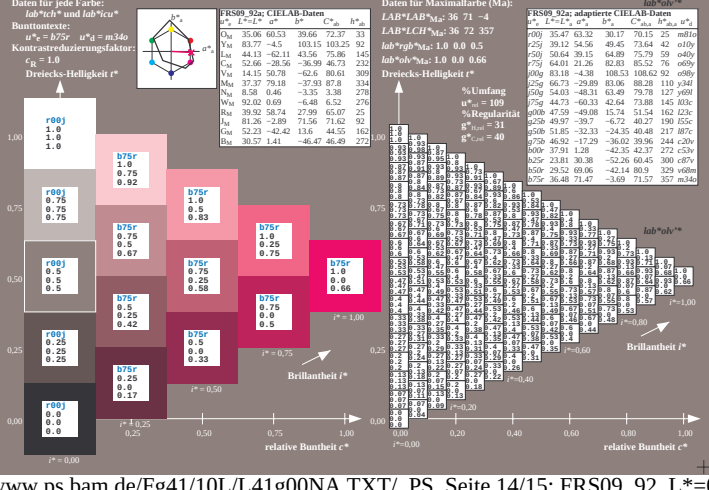

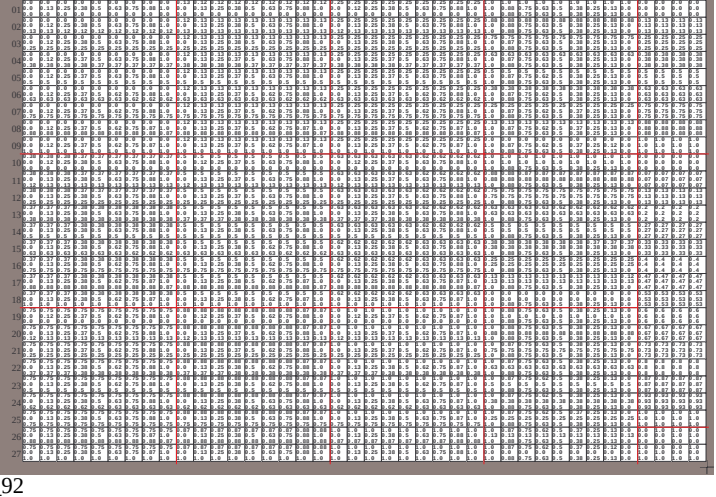

Ein und Ausgabe: Farbmetrisches Drucker-Reflektiv-System FRS09_92, L*=09_92 für relativen CIELAB-Buntton $h^* = lab^*h^* = R_{ab}/360 = 0.451$ $u^*_e = g00b$ LAB^*cmyn^*

Daten für jede Farbe: *lab*c*h** und *lab*icu**
Buntontexte: $u^*_e = g00b$ $u^*_d = I23c$
Kontrastreduzierungsfaktor: $c_R = 1.0$
Dreiecks-Helligkeit t^*

Daten für Maximalfarbe (Ma):
$LAB^*LAB^*_{Ma}$: 48 −49 16
$LAB^*LCH^*_{Ma}$: 48 52 162
$lab^*rgb^*_{Ma}$: 0.0 1.0 0.0
$lab^*olv^*_{Ma}$: 0.0 1.0 0.23

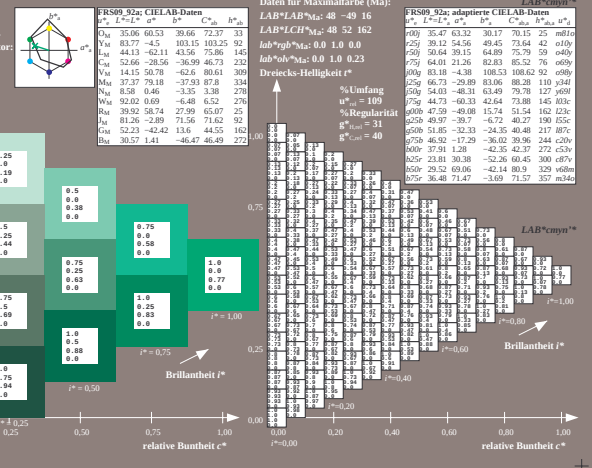

FRS09_92a; CIELAB-Daten	$L^*=L^*$	a^*	b^*	C^*_{ab}	h^*_{ab}
O_{Ma}	35.06	60.53	39.66	72.37	33
Y_{Ma}	83.77	−4.5	103.15	103.25	92
L_{Ig}	44.13	−62.11	43.56	75.86	145
C_{Ig}	52.66	−28.56	−36.99	46.73	232
V_{Ig}	14.15	50.78	−62.6	80.61	309
M_{Ig}	37.37	79.18	−37.93	87.8	334
N_{Ig}	8.58	0.46	−3.35	3.38	278
W_{Id}	92.02	0.69	−6.48	6.52	276
R_{Id}	39.92	58.74	27.99	65.07	25
J_{Id}	81.26	−2.89	71.56	71.62	92
G_{Id}	52.23	−42.42	13.6	44.55	162
B_{Id}	30.57	1.41	−46.47	46.49	272

FRS09_92a; adaptierte CIELAB-Daten	$L^*=L^*_a$	a^*_a	b^*_a	$C^*_{ab,a}$	$h^*_{ab,a}$	u^*_d
r00j	35.47	63.32	30.17	70.15	25	m81o
r25j	39.12	54.56	49.45	73.64	42	o10y
r50j	50.64	39.15	64.89	75.79	59	o40y
r75j	64.01	21.26	82.83	85.52	76	o69y
y00g	83.18	−4.38	108.53	108.62	92	o98y
y25g	66.73	−29.89	83.06	88.28	110	y34f
y50g	54.03	−48.31	63.49	79.78	127	y69f
y75g	44.73	−60.33	42.64	73.88	145	l03c
g00b	47.59	−49.08	15.74	51.54	162	l23c
g25b	49.97	−39.7	−6.72	40.27	190	l55c
g50b	51.85	−32.33	−24.35	40.48	217	l87c
g75b	46.92	−17.29	−36.02	39.96	244	c20c
b00r	37.91	1.28	−42.35	42.37	272	c53v
b25r	23.81	30.38	−52.26	60.45	300	c87v
b50r	29.52	69.06	−42.14	80.9	329	v68m
b75r	36.48	71.47	−3.69	71.57	357	m34o

Ein und Ausgabe: Farbmetrisches Drucker-Reflektiv-System FRS09_92, L*=09_92 für relativen CIELAB-Buntton $h^* = lab^*h^* = R_{ab}/360 = 0.527$ $u^*_e = g25b$ LAB^*cmyn^*

Daten für jede Farbe: *lab*c*h** und *lab*icu**
Buntontexte: $u^*_e = g25b$ $u^*_d = I55c$
Kontrastreduzierungsfaktor: $c_R = 1.0$
Dreiecks-Helligkeit t^*

Daten für Maximalfarbe (Ma):
$LAB^*LAB^*_{Ma}$: 50 −40 −7
$LAB^*LCH^*_{Ma}$: 50 40 189
$lab^*rgb^*_{Ma}$: 0.0 1.0 0.5
$lab^*olv^*_{Ma}$: 0.0 1.0 0.55

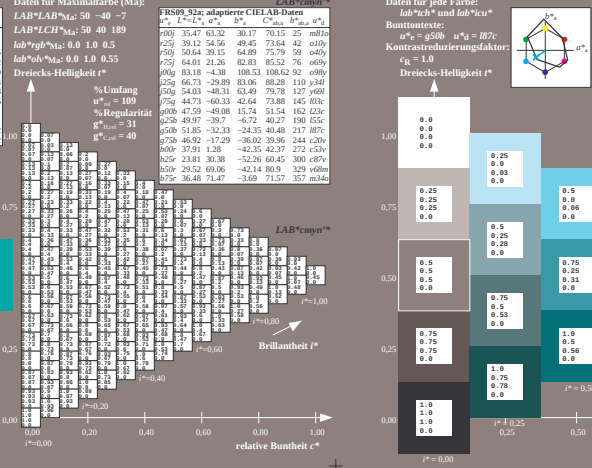

FRS09_92a; CIELAB-Daten	$L^*=L^*$	a^*	b^*	C^*_{ab}	h^*_{ab}
O_{Ma}	35.06	60.53	39.66	72.37	33
Y_{Ma}	83.77	−4.5	103.15	103.25	92
L_{Ig}	44.13	−62.11	43.56	75.86	145
C_{Ig}	52.66	−28.56	−36.99	46.73	232
V_{Ig}	14.15	50.78	−62.6	80.61	309
M_{Ig}	37.37	79.18	−37.93	87.8	334
N_{Ig}	8.58	0.46	−3.35	3.38	278
W_{Id}	92.02	0.69	−6.48	6.52	276
R_{Id}	39.92	58.74	27.99	65.07	25
J_{Id}	81.26	−2.89	71.56	71.62	92
G_{Id}	52.23	−42.42	13.6	44.55	162
B_{Id}	30.57	1.41	−46.47	46.49	272

FRS09_92a; adaptierte CIELAB-Daten	$L^*=L^*_a$	a^*_a	b^*_a	$C^*_{ab,a}$	$h^*_{ab,a}$	u^*_d
r00j	35.47	63.32	30.17	70.15	25	m81o
r25j	39.12	54.56	49.45	73.64	42	o10y
r50j	50.64	39.15	64.89	75.79	59	o40y
r75j	64.01	21.26	82.83	85.52	76	o69y
y00g	83.18	−4.38	108.53	108.62	92	o98y
y25g	66.73	−29.89	83.06	88.28	110	y34f
y50g	54.03	−48.31	63.49	79.78	127	y69f
y75g	44.73	−60.33	42.64	73.88	145	l03c
g00b	47.59	−49.08	15.74	51.54	162	l23c
g25b	49.97	−39.7	−6.72	40.27	190	l55c
g50b	51.85	−32.33	−24.35	40.48	217	l87c
g75b	46.92	−17.29	−36.02	39.96	244	c20c
b00r	37.91	1.28	−42.35	42.37	272	c53v
b25r	23.81	30.38	−52.26	60.45	300	c87v
b50r	29.52	69.06	−42.14	80.9	329	v68m
b75r	36.48	71.47	−3.69	71.57	357	m34o

Ein und Ausgabe: Farbmetrisches Drucker-Reflektiv-System FRS09_92, L*=09_92 für relativen CIELAB-Buntton $h^* = lab^*h^* = R_{ab}/360 = 0.603$ $u^*_e = g50b$ LAB^*cmyn^*

Daten für jede Farbe: *lab*c*h** und *lab*icu**
Buntontexte: $u^*_e = g50b$ $u^*_d = I87c$
Kontrastreduzierungsfaktor: $c_R = 1.0$
Dreiecks-Helligkeit t^*

Daten für Maximalfarbe (Ma):
$LAB^*LAB^*_{Ma}$: 52 −32 −24
$LAB^*LCH^*_{Ma}$: 52 40 216
$lab^*rgb^*_{Ma}$: 0.0 1.0 1.0
$lab^*olv^*_{Ma}$: 0.0 1.0 0.87

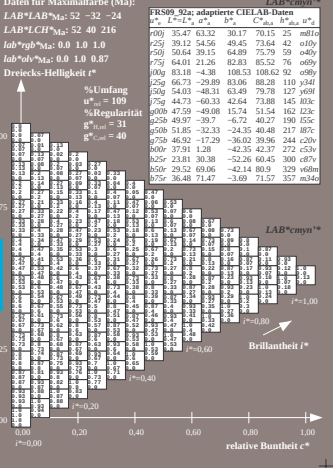

FRS09_92a; CIELAB-Daten	$L^*=L^*$	a^*	b^*	C^*_{ab}	h^*_{ab}
O_{Ma}	35.06	60.53	39.66	72.37	33
Y_{Ma}	83.77	−4.5	103.15	103.25	92
L_{Ig}	44.13	−62.11	43.56	75.86	145
C_{Ig}	52.66	−28.56	−36.99	46.73	232
V_{Ig}	14.15	50.78	−62.6	80.61	309
M_{Ig}	37.37	79.18	−37.93	87.8	334
N_{Ig}	8.58	0.46	−3.35	3.38	278
W_{Id}	92.02	0.69	−6.48	6.52	276
R_{Id}	39.92	58.74	27.99	65.07	25
J_{Id}	81.26	−2.89	71.56	71.62	92
G_{Id}	52.23	−42.42	13.6	44.55	162
B_{Id}	30.57	1.41	−46.47	46.49	272

FRS09_92a; adaptierte CIELAB-Daten	$L^*=L^*_a$	a^*_a	b^*_a	$C^*_{ab,a}$	$h^*_{ab,a}$	u^*_d
r00j	35.47	63.32	30.17	70.15	25	m81o
r25j	39.12	54.56	49.45	73.64	42	o10y
r50j	50.64	39.15	64.89	75.79	59	o40y
r75j	64.01	21.26	82.83	85.52	76	o69y
y00g	83.18	−4.38	108.53	108.62	92	o98y
y25g	66.73	−29.89	83.06	88.28	110	y34f
y50g	54.03	−48.31	63.49	79.78	127	y69f
y75g	44.73	−60.33	42.64	73.88	145	l03c
g00b	47.59	−49.08	15.74	51.54	162	l23c
g25b	49.97	−39.7	−6.72	40.27	190	l55c
g50b	51.85	−32.33	−24.35	40.48	217	l87c
g75b	46.92	−17.29	−36.02	39.96	244	c20c
b00r	37.91	1.28	−42.35	42.37	272	c53v
b25r	23.81	30.38	−52.26	60.45	300	c87v
b50r	29.52	69.06	−42.14	80.9	329	v68m
b75r	36.48	71.47	−3.69	71.57	357	m34o

Ein und Ausgabe: Farbmetrisches Drucker-Reflektiv-System FRS09_92, L*=09_92 für relativen CIELAB-Buntton $h^* = lab^*h^* = R_{ab}/360 = 0.679$ $u^*_e = g75b$ LAB^*cmyn^*

Daten für jede Farbe: *lab*c*h** und *lab*icu**
Buntontexte: $u^*_e = g75b$ $u^*_d = c20v$
Kontrastreduzierungsfaktor: $c_R = 1.0$
Dreiecks-Helligkeit t^*

Daten für Maximalfarbe (Ma):
$LAB^*LAB^*_{Ma}$: 47 −17 −36
$LAB^*LCH^*_{Ma}$: 47 40 244
$lab^*rgb^*_{Ma}$: 0.0 0.5 1.0
$lab^*olv^*_{Ma}$: 0.0 0.8 1.0

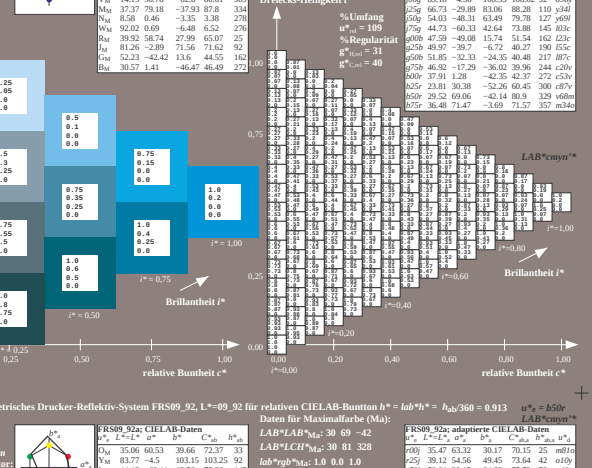

FRS09_92a; CIELAB-Daten	$L^*=L^*$	a^*	b^*	C^*_{ab}	h^*_{ab}
O_{Ma}	35.06	60.53	39.66	72.37	33
Y_{Ma}	83.77	−4.5	103.15	103.25	92
L_{Ig}	44.13	−62.11	43.56	75.86	145
C_{Ig}	52.66	−28.56	−36.99	46.73	232
V_{Ig}	14.15	50.78	−62.6	80.61	309
M_{Ig}	37.37	79.18	−37.93	87.8	334
N_{Ig}	8.58	0.46	−3.35	3.38	278
W_{Id}	92.02	0.69	−6.48	6.52	276
R_{Id}	39.92	58.74	27.99	65.07	25
J_{Id}	81.26	−2.89	71.56	71.62	92
G_{Id}	52.23	−42.42	13.6	44.55	162
B_{Id}	30.57	1.41	−46.47	46.49	272

FRS09_92a; adaptierte CIELAB-Daten	$L^*=L^*_a$	a^*_a	b^*_a	$C^*_{ab,a}$	$h^*_{ab,a}$	u^*_d
r00j	35.47	63.32	30.17	70.15	25	m81o
r25j	39.12	54.56	49.45	73.64	42	o10y
r50j	50.64	39.15	64.89	75.79	59	o40y
r75j	64.01	21.26	82.83	85.52	76	o69y
y00g	83.18	−4.38	108.53	108.62	92	o98y
y25g	66.73	−29.89	83.06	88.28	110	y34f
y50g	54.03	−48.31	63.49	79.78	127	y69f
y75g	44.73	−60.33	42.64	73.88	145	l03c
g00b	47.59	−49.08	15.74	51.54	162	l23c
g25b	49.97	−39.7	−6.72	40.27	190	l55c
g50b	51.85	−32.33	−24.35	40.48	217	l87c
g75b	46.92	−17.29	−36.02	39.96	244	c20c
b00r	37.91	1.28	−42.35	42.37	272	c53v
b25r	23.81	30.38	−52.26	60.45	300	c87v
b50r	29.52	69.06	−42.14	80.9	329	v68m
b75r	36.48	71.47	−3.69	71.57	357	m34o

Ein und Ausgabe: Farbmetrisches Drucker-Reflektiv-System FRS09_92, L*=09_92 für relativen CIELAB-Buntton $h^* = lab^*h^* = R_{ab}/360 = 0.755$ $u^*_e = b00r$ LAB^*cmyn^*

Daten für jede Farbe: *lab*c*h** und *lab*icu**
Buntontexte: $u^*_e = b00r$ $u^*_d = c53v$
Kontrastreduzierungsfaktor: $c_R = 1.0$
Dreiecks-Helligkeit t^*

Daten für Maximalfarbe (Ma):
$LAB^*LAB^*_{Ma}$: 38 1 −42
$LAB^*LCH^*_{Ma}$: 38 42 271
$lab^*rgb^*_{Ma}$: 0.0 0.0 1.0
$lab^*olv^*_{Ma}$: 0.0 0.47 1.0

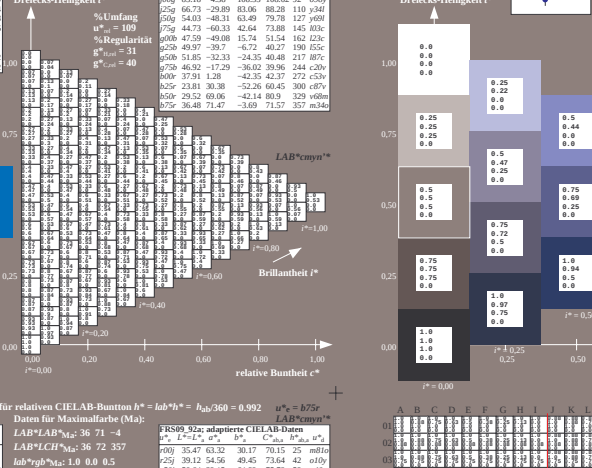

FRS09_92a; CIELAB-Daten	$L^*=L^*$	a^*	b^*	C^*_{ab}	h^*_{ab}
O_{Ma}	35.06	60.53	39.66	72.37	33
Y_{Ma}	83.77	−4.5	103.15	103.25	92
L_{Ig}	44.13	−62.11	43.56	75.86	145
C_{Ig}	52.66	−28.56	−36.99	46.73	232
V_{Ig}	14.15	50.78	−62.6	80.61	309
M_{Ig}	37.37	79.18	−37.93	87.8	334
N_{Ig}	8.58	0.46	−3.35	3.38	278
W_{Id}	92.02	0.69	−6.48	6.52	276
R_{Id}	39.92	58.74	27.99	65.07	25
J_{Id}	81.26	−2.89	71.56	71.62	92
G_{Id}	52.23	−42.42	13.6	44.55	162
B_{Id}	30.57	1.41	−46.47	46.49	272

FRS09_92a; adaptierte CIELAB-Daten	$L^*=L^*_a$	a^*_a	b^*_a	$C^*_{ab,a}$	$h^*_{ab,a}$	u^*_d
r00j	35.47	63.32	30.17	70.15	25	m81o
r25j	39.12	54.56	49.45	73.64	42	o10y
r50j	50.64	39.15	64.89	75.79	59	o40y
r75j	64.01	21.26	82.83	85.52	76	o69y
y00g	83.18	−4.38	108.53	108.62	92	o98y
y25g	66.73	−29.89	83.06	88.28	110	y34f
y50g	54.03	−48.31	63.49	79.78	127	y69f
y75g	44.73	−60.33	42.64	73.88	145	l03c
g00b	47.59	−49.08	15.74	51.54	162	l23c
g25b	49.97	−39.7	−6.72	40.27	190	l55c
g50b	51.85	−32.33	−24.35	40.48	217	l87c
g75b	46.92	−17.29	−36.02	39.96	244	c20c
b00r	37.91	1.28	−42.35	42.37	272	c53v
b25r	23.81	30.38	−52.26	60.45	300	c87v
b50r	29.52	69.06	−42.14	80.9	329	v68m
b75r	36.48	71.47	−3.69	71.57	357	m34o

Ein und Ausgabe: Farbmetrisches Drucker-Reflektiv-System FRS09_92, L*=09_92 für relativen CIELAB-Buntton $h^* = lab^*h^* = R_{ab}/360 = 0.834$ $u^*_e = b25r$ LAB^*cmyn^*

Daten für jede Farbe: *lab*c*h** und *lab*icu**
Buntontexte: $u^*_e = b25r$ $u^*_d = c87v$
Kontrastreduzierungsfaktor: $c_R = 1.0$
Dreiecks-Helligkeit t^*

Daten für Maximalfarbe (Ma):
$LAB^*LAB^*_{Ma}$: 24 30 −52
$LAB^*LCH^*_{Ma}$: 24 60 300
$lab^*rgb^*_{Ma}$: 0.5 0.0 1.0
$lab^*olv^*_{Ma}$: 0.0 0.12 1.0

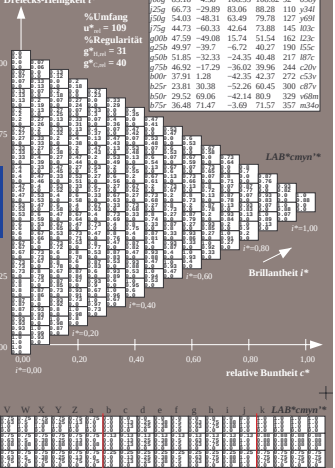

FRS09_92a; CIELAB-Daten	$L^*=L^*$	a^*	b^*	C^*_{ab}	h^*_{ab}
O_{Ma}	35.06	60.53	39.66	72.37	33
Y_{Ma}	83.77	−4.5	103.15	103.25	92
L_{Ig}	44.13	−62.11	43.56	75.86	145
C_{Ig}	52.66	−28.56	−36.99	46.73	232
V_{Ig}	14.15	50.78	−62.6	80.61	309
M_{Ig}	37.37	79.18	−37.93	87.8	334
N_{Ig}	8.58	0.46	−3.35	3.38	278
W_{Id}	92.02	0.69	−6.48	6.52	276
R_{Id}	39.92	58.74	27.99	65.07	25
J_{Id}	81.26	−2.89	71.56	71.62	92
G_{Id}	52.23	−42.42	13.6	44.55	162
B_{Id}	30.57	1.41	−46.47	46.49	272

FRS09_92a; adaptierte CIELAB-Daten	$L^*=L^*_a$	a^*_a	b^*_a	$C^*_{ab,a}$	$h^*_{ab,a}$	u^*_d
r00j	35.47	63.32	30.17	70.15	25	m81o
r25j	39.12	54.56	49.45	73.64	42	o10y
r50j	50.64	39.15	64.89	75.79	59	o40y
r75j	64.01	21.26	82.83	85.52	76	o69y
y00g	83.18	−4.38	108.53	108.62	92	o98y
y25g	66.73	−29.89	83.06	88.28	110	y34f
y50g	54.03	−48.31	63.49	79.78	127	y69f
y75g	44.73	−60.33	42.64	73.88	145	l03c
g00b	47.59	−49.08	15.74	51.54	162	l23c
g25b	49.97	−39.7	−6.72	40.27	190	l55c
g50b	51.85	−32.33	−24.35	40.48	217	l87c
g75b	46.92	−17.29	−36.02	39.96	244	c20c
b00r	37.91	1.28	−42.35	42.37	272	c53v
b25r	23.81	30.38	−52.26	60.45	300	c87v
b50r	29.52	69.06	−42.14	80.9	329	v68m
b75r	36.48	71.47	−3.69	71.57	357	m34o

Ein und Ausgabe: Farbmetrisches Drucker-Reflektiv-System FRS09_92, L*=09_92 für relativen CIELAB-Buntton $h^* = lab^*h^* = R_{ab}/360 = 0.913$ $u^*_e = b50r$ LAB^*cmyn^*

Daten für jede Farbe: *lab*c*h** und *lab*icu**
Buntontexte: $u^*_e = b50r$ $u^*_d = v68m$
Kontrastreduzierungsfaktor: $c_R = 1.0$
Dreiecks-Helligkeit t^*

Daten für Maximalfarbe (Ma):
$LAB^*LAB^*_{Ma}$: 30 69 −42
$LAB^*LCH^*_{Ma}$: 30 81 328
$lab^*rgb^*_{Ma}$: 1.0 0.0 1.0
$lab^*olv^*_{Ma}$: 0.69 0.0 1.0

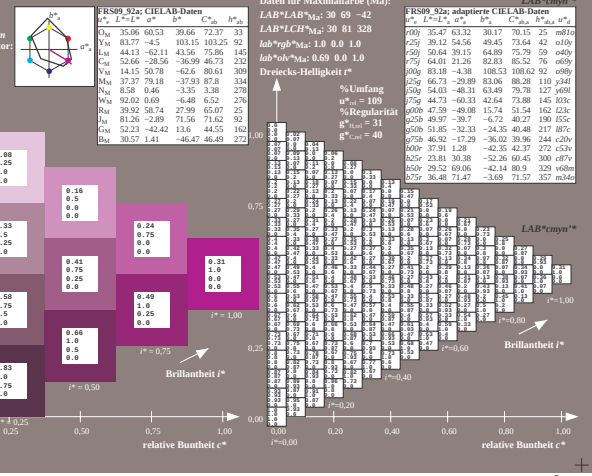

FRS09_92a; CIELAB-Daten	$L^*=L^*$	a^*	b^*	C^*_{ab}	h^*_{ab}
O_{Ma}	35.06	60.53	39.66	72.37	33
Y_{Ma}	83.77	−4.5	103.15	103.25	92
L_{Ig}	44.13	−62.11	43.56	75.86	145
C_{Ig}	52.66	−28.56	−36.99	46.73	232
V_{Ig}	14.15	50.78	−62.6	80.61	309
M_{Ig}	37.37	79.18	−37.93	87.8	334
N_{Ig}	8.58	0.46	−3.35	3.38	278
W_{Id}	92.02	0.69	−6.48	6.52	276
R_{Id}	39.92	58.74	27.99	65.07	25
J_{Id}	81.26	−2.89	71.56	71.62	92
G_{Id}	52.23	−42.42	13.6	44.55	162
B_{Id}	30.57	1.41	−46.47	46.49	272

FRS09_92a; adaptierte CIELAB-Daten	$L^*=L^*_a$	a^*_a	b^*_a	$C^*_{ab,a}$	$h^*_{ab,a}$	u^*_d
r00j	35.47	63.32	30.17	70.15	25	m81o
r25j	39.12	54.56	49.45	73.64	42	o10y
r50j	50.64	39.15	64.89	75.79	59	o40y
r75j	64.01	21.26	82.83	85.52	76	o69y
y00g	83.18	−4.38	108.53	108.62	92	o98y
y25g	66.73	−29.89	83.06	88.28	110	y34f
y50g	54.03	−48.31	63.49	79.78	127	y69f
y75g	44.73	−60.33	42.64	73.88	145	l03c
g00b	47.59	−49.08	15.74	51.54	162	l23c
g25b	49.97	−39.7	−6.72	40.27	190	l55c
g50b	51.85	−32.33	−24.35	40.48	217	l87c
g75b	46.92	−17.29	−36.02	39.96	244	c20c
b00r	37.91	1.28	−42.35	42.37	272	c53v
b25r	23.81	30.38	−52.26	60.45	300	c87v
b50r	29.52	69.06	−42.14	80.9	329	v68m
b75r	36.48	71.47	−3.69	71.57	357	m34o

Ein und Ausgabe: Farbmetrisches Drucker-Reflektiv-System FRS09_92, L*=09_92 für relativen CIELAB-Buntton $h^* = lab^*h^* = R_{ab}/360 = 0.992$ $u^*_e = b75r$ LAB^*cmyn^*

Daten für jede Farbe: *lab*c*h** und *lab*icu**
Buntontexte: $u^*_e = b75r$ $u^*_d = m34o$
Kontrastreduzierungsfaktor: $c_R = 1.0$
Dreiecks-Helligkeit t^*

Daten für Maximalfarbe (Ma):
$LAB^*LAB^*_{Ma}$: 36 71 −4
$LAB^*LCH^*_{Ma}$: 36 72 357
$lab^*rgb^*_{Ma}$: 1.0 0.0 0.5
$lab^*olv^*_{Ma}$: 1.0 0.0 0.66

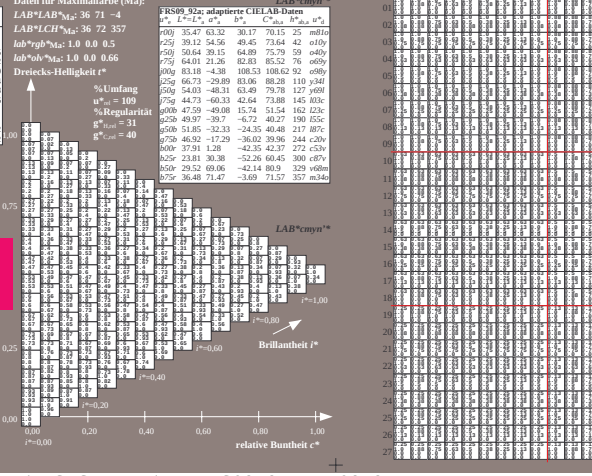

FRS09_92a; CIELAB-Daten	$L^*=L^*$	a^*	b^*	C^*_{ab}	h^*_{ab}
O_{Ma}	35.06	60.53	39.66	72.37	33
Y_{Ma}	83.77	−4.5	103.15	103.25	92
L_{Ig}	44.13	−62.11	43.56	75.86	145
C_{Ig}	52.66	−28.56	−36.99	46.73	232
V_{Ig}	14.15	50.78	−62.6	80.61	309
M_{Ig}	37.37	79.18	−37.93	87.8	334
N_{Ig}	8.58	0.46	−3.35	3.38	278
W_{Id}	92.02	0.69	−6.48	6.52	276
R_{Id}	39.92	58.74	27.99	65.07	25
J_{Id}	81.26	−2.89	71.56	71.62	92
G_{Id}	52.23	−42.42	13.6	44.55	162
B_{Id}	30.57	1.41	−46.47	46.49	272
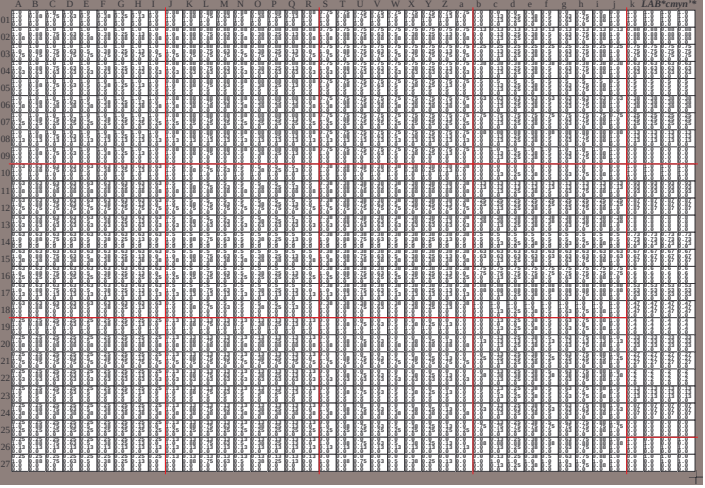
FRS09_92a; adaptierte CIELAB-Daten	$L^*=L^*_a$	a^*_a	b^*_a	$C^*_{ab,a}$	$h^*_{ab,a}$	u^*_d
r00j	35.47	63.32	30.17	70.15	25	m81o
r25j	39.12	54.56	49.45	73.64	42	o10y
r50j	50.64	39.15	64.89	75.79	59	o40y
r75j	64.01	21.26	82.83	85.52	76	o69y
y00g	83.18	−4.38	108.53	108.62	92	o98y
y25g	66.73	−29.89	83.06	88.28	110	y34f
y50g	54.03	−48.31	63.49	79.78	127	y69f
y75g	44.73	−60.33	42.64	73.88	145	l03c
g00b	47.59	−49.08	15.74	51.54	162	l23c
g25b	49.97	−39.7	−6.72	40.27	190	l55c
g50b	51.85	−32.33	−24.35	40.48	217	l87c
g75b	46.92	−17.29	−36.02	39.96	244	c20c
b00r	37.91	1.28	−42.35	42.37	272	c53v
b25r	23.81	30.38	−52.26	60.45	300	c87v
b50r	29.52	69.06	−42.14	80.9	329	v68m
b75r	36.48	71.47	−3.69	71.57	357	m34o